

بِسْمِ اللَّهِ الرَّحْمَنِ الرَّحِيمِ



دانشکده مکانیک

پایان نامه کارشناسی ارشد گرایش تبدیل انرژی

بررسی افزایش کارآیی مشعل‌های زباله‌سوز

نگارش:

رضا عدالت خانی

استادان راهنما:

دکتر محمود فرزانه گرد

دکتر علی جباری مقدم

پایان نامه جهت اخذ درجه کارشناسی ارشد

شهریور ۱۳۹۲

شماره: ۳۰۰۸۶۲/۷۲  
تاریخ: ۹۲/۶/۳۱  
ویرایش:

بسم الله الرحمن الرحيم



مدبرت تحصیلات تکمیلی  
فرم شماره (۶)

### فرم صورتحلیله دفاع از پایان نامه تحصیلی دوره کارشناسی ارشد

با تأییدات خداوند متعال و با استئناف از حضرت ولی عصر (عج) ارزسای جلسه دفاع از پایان نامه کارشناسی ارشد آقای سر رضا عدالت خانی..... رشته .....مکانیک... گروپس... تبدیل اسراری... تحت عنوان بررسی کارایی مشغل های زباله سوز که در تاریخ ۱۳۹۲.۶.۲۲ با حضور هیأت محترم داوران در دانشگاه صنعتی شهرورد برگزار گردید به شرح ذیل اعلام می گردد:

<input type="checkbox"/> قبول (با درجه: جزیی استیاز که ۹۰/۶۰) <input type="checkbox"/> دفاع مجدد <input type="checkbox"/> مردود	۱- عالی (۱۹ - ۲۰) ۲- بسیار خوب (۱۸ - ۱۸/۹۹) ۳- خوب (۱۷/۹۹ - ۱۶) ۴- قابل قبول (۱۵/۹۹ - ۱۴) ۵- نمره کمتر از ۱۴ غیر قابل قبول
---	--

عنوان هیأت داوران	نام و نام خانوادگی	محل زندگی	مرتبه علمی	اعضاء
۱- استادرهایسا	علی چهارماده	هردو زرگر	استاد	استادرهایسا
۲- استاد مناور				
۳- نایابده، سورای تحصیلات تکمیلی	فروزنده ابرزله	فروزنده ابرزله	استاد	فروزنده ابرزله
۴- استاد متخصص	محمد جعفری	محمد جعفری	استاد	محمد جعفری
۵- استاد مختص	عبدالحکیم حسینی	عبدالحکیم حسینی	استاد	عبدالحکیم حسینی

رئیس دانشکده: *[Handwritten Signature]*  
*[Handwritten Signature]*  
دانشکده مکانیک  
دانشگاه شهرورد

تقدیم به

پدر و مادر مهربان

که از نگاهشان صلابت

از رفتارشان محبت

و از صبرشان ایستادگی را آموختم.

## تشکر و قدردانی

به مصدقه «من لم یشکر المخلوق لم یشکر الخالق» بسی شایسته است از استادان فرهیخته و فرزانه جناب آقای دکتر محمود فرزانه گرد و علی جباری مقدم که با کرامتی چون خورشید، سرزمین دل را روشنی بخشیدند و گلشن سرای علم و دانش را با راهنمایی های کار ساز و سازنده بارور ساختند؛ تقدیر و تشکر نمایم.

## تعهد نامه

اینجانب رضا عدالت خانی دانشجوی دوره کارشناسی ارشد رشته مهندسی مکانیک- گرایش تبدیل انرژی دانشکده مهندسی مکانیک دانشگاه صنعتی شاهرود نویسنده پایان نامه با عنوان "بررسی افزایش کارآبی مشعل‌های زباله‌سوز"

تحت راهنمایی دکتر محمود فرزانه گرد و علی جباری مقدم متعهد می‌شوم:

- تحقیقات در این پایان‌نامه توسط اینجانب انجام شده است و از صحت و اصالت برخوردار است.
- در استفاده از نتایج پژوهش‌های محققان دیگر به مرجع مورد استفاده استناد شده است.
- مطالب مندرج در پایان‌نامه تاکنون توسط خود یا فرد دیگری برای دریافت هیچ نوع مدرک یا امتیازی در هیچ جا ارائه نشده است.
- کلیه حقوق معنوی این اثر متعلق به دانشگاه صنعتی شاهرود می‌باشد و مقالات مستخرج با نام «دانشگاه صنعتی شاهرود» و یا «Shahrood University of Technology» به چاپ خواهد رسید.
- حقوق معنوی تمام افرادی که در به دست آمدن نتایج اصلی پایان‌نامه تأثیرگذار بوده‌اند در مقالات مستخرج از پایان‌نامه رعایت می‌گردد.
- در کلیه مراحل انجام این پایان‌نامه، در مواردی که از موجود زنده (یا بافت‌های آنها) استفاده شده‌است، ضوابط و اصول اخلاقی رعایت شده‌است.
- در کلیه مراحل انجام این پایان‌نامه، در مواردی که به حوزه اطلاعات شخصی افراد دسترسی یافته باشد، استفاده شده‌است اصل رازداری، ضوابط و اصول اخلاق انسانی رعایت شده‌است.

### تاریخ

امضای دانشجو

### مالکیت نتایج و حق نشر

- کلیه حقوق معنوی این اثر و محتولات آن (مقالات مستخرج ، کتاب ، برنامه های رایانه ای ، نرم افزار ها و تجهیزات ساخته شده است ) متعلق به دانشگاه صنعتی شاهرود می باشد . این مطلب باید به نحو مقتضی در تولیدات علمی مربوطه ذکر شود
- استفاده از اطلاعات و نتایج موجود در پایان نامه بدون ذکر مرجع مجاز نمی‌باشد.

## چکیده

از روش‌های کاهش اکسیدهای ازت می‌توان به روش SCR که باعث کاهش  $\text{NO}_X$  به وسیله تزریق آمونیاک و کاتالیزور می‌شود و همچنین فرآیند SCR با تزریق آمونیاک و اوره اشاره کرد. با توجه به آنکه روش SCR هزینه بالاتری نسبت به روش SNCR دارد و حمل و نقل و انبارش آمونیاک نسبت به اوره سخت‌تر می‌باشد، روش SNCR با تزریق اوره کاربردی‌تر می‌باشد. با توجه به دلایل فوق به بررسی این روش SNCR با تزریق اوره) و راههای افزایش راندمان آن، که به صورت درصد کاهش  $\text{NO}_X$  به اولیه  $\text{NO}_X$  تعريف می‌شود، پرداخته شده است. در این پایان‌نامه کنترل اکسیدهای ازت خروجی از یک زباله‌سوز، به روش یکی از فرآیندهای کاهش اکسیدهای ازت به نام SNCR با استفاده از تزریق اوره به کمک شبیه‌سازی در نرم افزار انسیس فلوئنت انجام گرفته شده است.

جهت اعتبار سازی نتایج شبیه‌سازی از مقاله آقای یانگ ایل لیم که در سال ۲۰۰۹ منتشر شده است استفاده شده است. آقای یانگ در این مقاله به بررسی میزان خطای بدست آمده در شبیه‌سازی با نتایج تجربی با فرض قطر قطرات تزریق شده یکنواخت باشند یا غیر یکنواخت پرداخته است.

در این مطالعه یک مدل سه بعدی از محفظه احتراق ثانویه یک زباله‌سوز مورد مطالعه قرار گرفته است. در تمامی مطالعات انجام شده، تئوری احتراق استفاده شده، مدل آرنیوس بوده است، که این مدل قادر به بررسی اثرات توربولانسی بر سرعت واکنش‌ها نمی‌باشد. در این تحقیق مدل احتراقی استفاده شده EDC (Eddy Dissipation Concept) می‌باشد. این مدل قادر به پیش‌بینی اثر سینتیک واکنش و توربولانسی بر سرعت انجام واکنش می‌باشد.

هدف از این مطالعه بررسی اثر پارامترهای تزریق اوره مانند دمای تزریق، قطر ذرات، سرعت تزریق و زاویه نازل‌های تزریق بر  $\text{NO}_X$  خروجی در نسبت  $\text{NSR} = 1.8$  می‌باشد. پس از بررسی انجام شده بر پارامترهای فوق به این نتیجه رسیدیم که تغییرات در زاویه مخروطی نازل‌ها تاثیری بر کاهش  $\text{NO}_X$  ندارد. در بررسی به عمل آمده بر روی اثر تغییرات دمای ورودی نازل در کاهش  $\text{NO}_X$  خروجی از زباله‌سوز، شاهد آن بودیم که با افزایش دما، میزان  $\text{NO}_X$  خروجی کاهش پیدا می‌کند. با افزایش سرعت تزریق اوره میزان  $\text{NO}_X$  خروجی از زباله‌سوز کاهش پیدا می‌کند ولی به دلیل کاهش زمان اقامت میزان ایزوسیانوریک اسید ( $\text{HNCO}$ ) و  $\text{N}_2\text{O}$  افزایش پیدا می‌کند. افزایش قطر ذرات، با توجه به شرایط محفظه احتراق، امکان دارد

باعث کاهش یا افزایش  $\text{NO}_X$  خروجی شود. اندازه قطر ذرات بر میزان نفوذ ذرات، دمای انجام واکنش و همچنین زمان انجام واکنش تاثیر گذار می‌باشد.

کلمات کلیدی: زباله‌سوز، آلاینده، اوره، ایزوسیانوریک اسید، زمان اقامت، احتراق

# فهرست مطالب

۱	فصل اول: کلیات	۱
۲	۱-۱ زباله سوز	
۲	۲-۱ تاریخچه زباله سوز و فرایند SNCR	
۳	۳-۱ انواع زباله سوزها	
۴	۱-۳-۱ کوره زباله سوز با بازیابی انرژی	
۵	۲-۳-۱ زباله سوزهای حاوی مواد آلی	
۵	۳-۳-۱ زباله سوزهای بیمارستانی	
۵	۴-۳-۱ زباله سوزهای شهری	
۷	۵-۳-۱ زباله سوزهای صنعتی	
۷	۴-۱ اکسید ازت ( $\text{NO}_X$ ) چیست؟ و چرا مهم است؟	
۷	۱-۴-۱ $\text{NO}_X$ چیست؟	
۸	۲-۴-۱ آثار اکسیدهای ازت ( $\text{NO}_X$ )	
۹	۳-۴-۱ $\text{NO}_X$ تشکیل	
۱۱	۵-۱ کنترل انتشار اکسیدهای ازت ( $\text{NO}_X$ )	
۱۳	۱-۵-۱ روش SCR	
۱۳	۲-۵-۱ روش SNCR	
۱۵	۳-۵-۱ مقایسه روش SCR با SNCR	
۲۱	۲ فصل دوم : مروری بر مطالب گذشته	
۲۲	۱-۲ فرآیند کاهش $\text{NO}_X$ با تزریق آمونیاک (Thermal DeNOX Processes)	
۲۲	۱-۱-۲ مدل سینتیک فرایند De $\text{NO}_X$	

۲۵	تاثیر غلظت اکسیژن	۲-۱-۲
۲۸	تاثیر غلظت منواکسید کربن ( CO )	۳-۱-۲
۳۰	تشکیل $N_2O$ و $N_2O$	۴-۱-۲
۳۱	اثرات فشار	۵-۱-۲
۳۲	اثرات نسبت NSR	۶-۱-۲
۳۳	( NOXOut فرآیند تزریق اوره )	۲-۲
۳۳	تجزیه اوره	۱-۲-۲
۳۴	تاثیر غلظت اکسیژن	۲-۲-۲
۳۷	تاثیرات غلظت منواکسید کربن ( CO )	۳-۲-۲
۳۷	تشکیل $N_2O$ و $NO_2$	۴-۲-۲
۳۹	تاثیر نسبت NSR	۵-۲-۲
۴۰	SNCR کاربرد روش‌های	۳-۲
۴۳	فصل سوم: معادلات حاکم	۳
۴۴	۱-۳ مقدمه	
۴۴	۲-۳ فرضیات حاکم	
۴۵	۳-۳ معادلات حاکم بر فاز گاز	
۴۵	۱-۳-۳ معادله پیوستگی	
۴۶	۲-۳-۳ معادله اندازه حرکت	
۴۶	۳-۳-۳ معادله دیفرانسیلی کلی بقاء	
۴۷	۴-۳-۳ معادلات متوسط زمانی	
۵۰	۴-۳ معادلات حاکم بر فاز مایع	
۵۱	۱-۴-۳ معادلات اندازه حرکت قطره مایع ( فاز گسسته )	

۵۲	معادله بقای انرژی حاکم بر قطره مایع	۲-۴-۳
۵۴	مدلسازی تلاطم	۳-۴-۳
۵۷	۵-۳ مدلسازی احتراق	
۵۸	۱-۵-۳ مدل های احتراق با سرعت محدود	
۵۸	۱-۱-۵-۳ مدل آرنیوس	
۵۹	۲-۱-۵-۳ مدل مگنسن (Eddy dissipation)	
۶۰	۲-۵-۳ مدل های احتراق با شیمی سریع	
۶۰	۱-۲-۵-۳ مدل یک مرحله ای (آمیخته شد، می سوزد)	
۶۰	۲-۲-۵-۳ مدل تعادل شیمیایی	
۶۱	۶-۳ تئوری SNCR	
۶۱	۱-۶-۳ معادله انتقال ذرات	
۶۲	۲-۶-۳ تئوری EDC	
۶۳	۳-۶-۳ شیمی SNCR	
۶۴	۷-۳ راندمان زباله سوز	
۶۵	۴ فصل چهارم: مدل سازی	
۶۶	۱-۴ مقدمه	
۶۶	۲-۴ تعریف مسئله	
۶۸	۳-۴ هندسه و ساختار مش	
۷۱	۴-۴ معتبرسازی نتایج حل عددی	
۷۱	۵-۴ شرایط مرزی	
۷۳	۶-۴ مدل توربولانس	
۷۴	۷-۴ مدل احتراق	

۷۴	۸-۴ مدل تزریق.....
۷۴	۹-۴ شبکه حل معادلات.....
۷۵	۵ فصل پنجم : بررسی نتایج.....
۷۶	۱-۵ مقدمه.....
۷۶	۲-۵ بررسی نتایج شبیه سازی عددی با داده های تجربی.....
۷۷	۳-۵ کانتور سرعت و دما.....
۷۸	۴-۵ بررسی اثر زاویه مخروطی نازل.....
۸۰	۵-۵ بررسی اثر سرعت تزریق.....
۸۲	۶-۵ بررسی اثر قطر قطرات.....
۸۵	۷-۵ بررسی اثر دمای تزریق.....
۸۸	۶ فصل ششم: نتیجه گیری و پیشنهادات.....
۸۹	۱-۶ خلاصه نتایج.....
۸۹	۲-۶ پیشنهادات عملی.....
۹۰	۳-۶ پیشنهاد برای مطالعات آینده.....
۹۱	۷ منابع و مواخذ.....
۹۷	پیوست الف.....

# فهرست اشکال

..... ۸	شکل ۱-۱: اوزون در اتمسفر زمین
..... ۹	شکل ۱-۲: غلظت مه دود فتوشیمیایی در لوس آنجلس
..... ۱۲	شکل ۱-۳: شماتیکی از کارخانه زباله سوز با فرایند SCR [15]
..... ۱۴	شکل ۱-۴: نمودار $\text{NO}_X$ حذف شده در دمای متفاوت [16]
..... ۱۵	شکل ۱-۵: شماتیکی از کارخانه زباله سوز با فرایند SNCR
..... ۱۶	شکل ۱-۶: شماتیکی از پروسه SCR در کارخانه زباله سوز
..... ۱۹	شکل ۱-۷-۱: شماتیکی از یک سیستم ترکیبی برای حذف $\text{NO}_X$ [15]
..... ۲۰	شکل ۱-۷-۲: مقایسه راندمان روشهای مختلف کاهش $\text{NO}_X$ [16]
..... ۲۳	شکل ۱-۲: نمودار مسیر واکنش برای فرایند حرارتی $\text{DeNO}_X$ [10]
..... ۲۴	شکل ۲-۲: نمودار مسیر واکنش برای فرایند حرارتی $\text{DeNO}_X$ ). فلشهای پرنگ نشان دهنده مسیرهای غالب است [18] (
..... ۲۶	شکل ۳-۲: اثر غلظت اکسیژن بر کاهش $\text{NO}_X$ [11]
..... ۲۶	شکل ۴-۲: درصد NO حذف شده در دما و غلظت اکسیژن متفاوت [11]
..... ۲۷	شکل ۵-۲: مقدار $\text{N}_2\text{O}$ اندازه گیری شده در دمای متفاوت [12]
..... ۲۸	شکل ۲-۶: نمودار NO حذف شده برحسب دما با غلظت اکسیژن متفاوت در فشار جزئی بالا با شرایط:....
..... ۲۹	شکل ۷-۲: اثر غلظت CO ورودی، سطح اکسیژن و دما بر روی غلظت NO و $\text{NH}_3$ خروجی در فشار بالا [12] (10Bar)
..... ۲۹	شکل ۸-۲: نمودار NO حذف شده برحسب دما، در غلظت CO متفاوت [11]
..... ۳۰	شکل ۹-۲: غلظت $\text{N}_2\text{O}$ اندازه گیری شده برحسب دما [11]
..... ۳۱	شکل ۱۰-۲: اثرات فشار و دما بر روی غلظت NO و $\text{NH}_3$ خروجی [5]
..... ۳۲	شکل ۱۱-۲: تاثیر فشار جزئی بر کاهش $\text{NO}_X$ (خطوط، نتایج نظری و علائم، نتایج تجربی هستند). [13]

شکل ۱۲-۲: نمودار نتایج تجربی غلظت NO و $N_2O$ بر حسب دما برای غلظتهای متفاوت اکسیژن ( دایره توپر، ۵ درصد اکسیژن، مثلث، ۱ درصد اکسیژن، لوزی، ۴ درصد اکسیژن و دایره توخالی ۰ درصد اکسیژن ۳۵ ) [26]
شکل ۱۳-۲: نمودار NO حذف شده بر دمای واکنش برای ۷ مقدار متفاوت اکسیژن در ۱۰۰ ppm کربن ۳۶ منواکسید و زمان اقامت ۲.۱۱ ثانیه [27]
شکل ۱۴-۲: نمودار حذف $NO_x$ بر حسب غلظت اکسیژن با غلظتهای متفاوت منواکسید کربن [27] ۳۶
شکل ۱۵-۲: اثر نسبت CO به NO در حذف $NO_x$ [30]
شکل ۱۶-۲: نتایج تجربی و نظری غلظت NO و $N_2O$ در نسبت اوره به NO اولیه متفاوت [26] ۳۹
شکل ۱۷-۲: نتایج تجربی و نظری اثر NSR بر کاهش NO [26] ۴۰
شکل ۱۸-۲: نمودار حذف NO با استفاده از سیانوریک اسید بر حسب دمای واکنش برای غلظت اکسیژن ۴۱ درصد و NO اولیه ۳۰۰ PPM [23]
شکل ۱۹-۲: نمودار درصد NO حذف شده بر اثر تزریق اوره بر حسب دما ۴۱
شکل ۱-۴: شماتیکی از واحد زباله سوز شهری [36] ۶۷
شکل ۲-۴: هندسه محفظه احتراق ثانویه زباله سوز ۶۹
شکل ۳-۴: تراکم مش در زباله سوز ( به ترتیب از چپ به راست صفحات X-Z و Y-Z ) ۷۰
شکل ۴-۴: تراکم مش در اطراف نازل ها ۷۱
شکل ۱-۵: کانتور سرعت در صفحه X-Z و Y-Z ۷۷
شکل ۲-۵: کانتور دما در صفحه X-Z و Y-Z ۷۸
شکل ۳-۵: شماتیکی از زاویه مخروطی نازل ۷۸
شکل ۴-۵: نمودار درصد کاهش $NO_x$ در زوایای تزریق متفاوت ۷۹
شکل ۵-۵: نمودار غلظت HNCO خروجی در زوایای تزریق متفاوت ۷۹
شکل ۶-۵: نمودار غلظت $N_2O$ در خروجی در زوایای تزریق مختلف ۸۰
شکل ۷-۵: نمودار درصد کاهش $NO_x$ در خروجی زباله سوز در سرعت های تزریق متفاوت ۸۱
شکل ۸-۵: نمودار غلظت HNCO خروجی در سرعت تزریق متفاوت ۸۱
شکل ۹-۵: نمودار غلظت HNCO خروجی در زوایای تزریق متفاوت ۸۲
شکل ۱۰-۵: مسیر حرکت ذرات در اندازه های ۹۰، ۱۳۵ و ۴۵ میکرومتر ۸۳
شکل ۱۱-۵: درصد کاهش $NO_x$ در خروجی با قطر ذرات متفاوت ۸۴

شکل ۱۲-۵: کانتور محدوده دمایی کاهش $\text{NO}_X$ (۱۱۴۳.۱۵ - ۱۴۲۳.۱۵ درجه کلوین)	۸۵
شکل ۱۳-۵: نمودار درصد کاهش $\text{NO}_X$ در دمای تزریق متفاوت	۸۶
شکل ۱۴-۵: غلظت ایزوسیانوریک اسید در دمای تزریق متفاوت	۸۶

# فهرست جداول

جدول ۱-۱: آلاینده های زباله سوز شهری و نحوه کنترل آنها [1]	۶
جدول ۱-۲: مقایسه هزینه در روش SCR با SNCR	۱۸
جدول ۱-۳: واکنشهای مکانیزم کاهش NO <sub>X</sub> مدل براور [36]	۶۴
جدول ۱-۴: غلظت گونه ها در زباله های جامد ورودی به زباله سوز [36]	۶۸
جدول ۲-۴: شرایط مرزی گونه ها در ورودی	۷۲
جدول ۳-۴: پارامتر های ثابت مدل $\epsilon - k$ استاندارد	۷۳
جدول ۴-۴: مدل های مورد استفاده برای مدل سازی عددی	۷۴
جدول ۵-۱: مقایسه نتایج مقاله یانگ با نتایج عددی بدست آمده.	۷۷
جدول ۵-۲: جدول نتایج برای زاویه مخروطی متفاوت نازل	۸۰
جدول ۵-۳: جدول نتایج برای سرعت متفاوت تزریق	۸۲
جدول ۵-۴: جدول نتایج برای قطر متفاوت قطرات	۸۴
جدول ۵-۵: جدول نتایج برای دمای متفاوت تزریق	۸۷

# **فصل اول: کلیات**



با پیشرفت تمدن بشری و رشد جمعیت، میزان زباله‌های جامد شهری افزایش یافته است و آلودگی محیط زیست به یک مشکل جدی تری تبدیل شده است و مانعی برای توسعه اقتصاد اجتماعی پایدار و محیط زیست شده است. برای نیاز به زمین کوچکتر، سطح بالاتری از کاهش زباله، ثبات، بی‌ضرری و راندمان بالای استفاده از انرژی، تکنولوژی سوزاندن زباله‌ها به سرعت در حال توسعه است. اکسیدهای نیتروژن یکی از آلینده‌های هوا است که به هنگام سوزاندن زباله‌های جامد شهری به وجود می‌آید. بنابراین با توجه به ویژگی زباله‌های شهری موجود در کشور ما، یک وظیفه پژوهشگران که در زمینه زباله‌سوزهای شهری کار می‌کنند، تحقیق و پژوهش به صورت علمی و عملی در زمینه کاهش  $\text{NO}_x$  خروجی از زباله‌سوزها می‌باشد.

### ۱-۱ زباله سوز

لغت یونانی اینسی نریت (Incinerate) (به معنی سوزاندن و به خاکستر تبدیل کردن، امروزه معانی گستردگری پیدا کرده است. به طور کلی هر فرآیندی که بتواند با سوزاندن مواد زائد، حجم یا وزن آنها را کاهش بدهد و به شکل مواد کم ضرر تبدیل کند، زباله‌سوز نامیده می‌شود. بسیاری از مواد زائد قابل سوراندن بوده و محصول احتراق نیز گازهای بی ضرر است که به راحتی از دودکش‌ها به اتمسفر فرستاده می‌شود. معمولاً در چنین مواردی زباله سوز برای دفع مواد زائد روش بی خطری است.

### ۱-۲ تاریخچه زباله سوز و فرایند SNCR

برای قرن‌ها، خاکستر کردن یک روش برای کاهش زباله‌ها و ضایعات بوده است. خاکستر کردن در اجاق‌ها و بخاری دیواری‌های خانه‌ها صورت می‌گرفته است. بعدها کوره‌های صنعتی برای خاکستر کردن سیستماتیک زباله‌ها طراحی شدند و برای انهدام زباله‌های شهرهای اروپا در قرن نوزدهم مورد استفاده قرار گرفتند. به دلایل بهداشتی سوزاندن زباله‌ها در کوره انجام می‌گرفت. آنها می‌دانستند که سوزاندن زباله‌ها ارگانیسم مضر در زباله‌ها را از بین می‌برد. با این کار حجم زباله‌های جامد کاهش می‌یافت. برای دهه‌ها هدف از خاکستر کردن، کاهش حجم زباله‌ها بود.

اولین کوره‌های صنعتی برای سوزاندن زباله‌ها در ناتینگهام انگلستان در سال ۱۸۷۴ توسط دو مهندس امریکایی به نامهای هرنیک و گریلی ساخته شد. این دستگاه مخرب<sup>۱</sup> نامیده شده بود و از گرمای ایجاد شده

<sup>۱</sup>. Selective Non-Catalytic Reduction



از سوختن زباله‌های آن برای تولید بخار استفاده می‌کردند. این دو مهندس تا سال ۱۹۲۱ موفق به ساختن بیش از ۲۰۰ واحد زباله‌سوز در بریتانیا شدند. نخستین کارخانه زباله‌سوز آلمانی طی سال‌های ۱۸۹۴ تا ۱۹۰۶ و در پی ایجاد اپیدمی وبا تاسیس گردید و بعد از سال ۱۹۵۰ ساخت این کارخانه‌ها در آلمان توسعه یافت. به طوری که در سال ۱۹۶۰ تعداد آن به ۱۴ مورد رسید. در بیشتر شهرهای جهان، تا سال‌های پیش از ۱۹۷۰، سوزاندن زباله که در هوای آزاد تلنبار شده بود به امری معمول تبدیل شده بود. تکنولوژی برتر برای تبدیل مواد زائد به انرژی از اواسط دهه ۱۹۷۰ ابلاغ گردید. اما محدودیت کنترل آلودگی از سال ۱۹۸۴ به بعد موجب رکود این صنعت شد. در اواخر دهه ۹۰ میلادی با کند شدن رشد اقتصادی بازنگری بر روی زباله‌سوزها انجام شد. تخصیص هزینه برای کارخانجات زباله‌سوز مشکل‌تر می‌شد. کارخانجات با یومس هم تحت مقررات مشابه تحت فشار هزینه‌های بالا قرار داشت. به همین دلیل راه حلی برای این سیستم‌ها پیشنهاد شد که در حال حاضر منطبق است با تمام الزامات فنی از مقررات و مقرون به صرفه است. بنابراین از سال ۲۰۰۰ بیشتر زباله‌سوزها به تکنولوژی SNCR مجهز شدند. با توجه به تجربه‌های به دست آمده تکنولوژی SNCR بهترین تکنولوژی کاهش  $\text{NO}_x$  نسبت به سایر تکنولوژی‌ها به دلیل هزینه سرمایه گذاری کم، هزینه راهاندازی کم، تعمیرات آسان و راندمان بالا است. در حدود ۲۰ سال است که از تکنولوژی SNCR در کارخانه‌های سوزاندن زباله استفاده می‌شود. و لیکن در سال‌های اخیر سوزاندن زباله با دستگاه‌های زباله‌سوز که نوعی روش شیمیایی برای کاهش زباله است، انجام می‌شود. مثلاً در کشور سوئد ۵۰ درصد زباله‌ها، سنگاپور و دانمارک ۶۵ درصد زباله‌ها، در ژاپن ۷۵ درصد زباله‌ها و در آمریکا ۲۹ درصد زباله‌های خانگی، ۳.۵ درصد زباله‌های خطروناک و ۶ درصد زباله‌ها بی‌خطرو ۱۲ درصد زباله‌ها درمانی و ۱۲ درصد زباله آلوده به روش زباله‌سوزی دفع می‌شود<sup>[1]</sup>.

### ۱-۳ انواع زباله سوزها

زباله‌های شهری یا صنعتی رادر کوره‌های مخصوص می‌سوزانند. درجه حرارت معمول این زباله‌سوزها بالغ بر ۱۰۰۰ تا ۱۲۰۰ درجه سانتی‌گراد تعیین می‌شود و مکانیسم طراحی به نحوی است که به هنگام سوختن زباله انرژی تولیدی نیز مورد بازیافت قرار گیرد. لذا بر اساس طراحی، زباله‌سوزها به دو دسته‌ی دستگاه‌های

<sup>1</sup>. Destructor



زباله‌سوز با بازیابی انرژی و بدون بازیابی انرژی تقسیم می‌شوند که با توجه به نیاز و امکانات در مناطق مختلف جهان مورد استفاده قرار می‌گیرند.

### ۱-۳-۱ کوره زباله سوز با بازیابی انرژی

برای بازیابی انرژی حاصل از احتراق زباله به طور کلی دو نوع کوره زباله‌سوز با قدرت پایین و بالا وجود دارد.

کوره‌های زباله‌سوز با قدرت بالا کوره‌هایی هستند که زباله‌های شهری یا صنعتی را به صورت کامل سوزانده و از حرارت زیاد تولید شده در تولید انرژی استفاده می‌نماید. اینگونه کوره‌ها در کارخانه‌های زباله‌سوز شهری مورد استفاده قرار می‌گیرند. کوره‌های زباله‌سوز با قدرت پایین در ابعاد کوچک برای گرمایش یا تولید آب گرم خانگی یا مصارف خاص دیگر مورد استفاده قرار می‌گیرد. این کوره‌ها در نقاط مختلف جهان به ویژه مناطق روستایی و جنگلی از اهمیت ویژه‌ای برخوردار هستند.

زباله‌سوزها را بر مبنای روش تغذیه نیز به دو دسته زباله‌سوزهای پیوسته و زباله‌سوزهای ناپیوسته تقسیم-بندی می‌کنند. در زباله‌سوزهای پیوسته نوار نقاله خاص (نرده آتشین) مستقر در کف کوره با سرعت مناسب و قابل تنظیم باعث حرکت توده‌های زباله در مسیر داخلی کوره گردیده و موجبات سوختن آنها را به وجود می‌آورد. این واحداً چندان بزرگ طراحی نشده و قادر نیستند بیش از ۱۵۰ تن زباله را بسوزانند. این کوره‌ها هنگام بارگیری و تخلیه خاکستر افت حرارتی ویژه‌ای دارند که موجب می‌شود برای حفظ حرارت، نیاز به سوخت اضافی و یا استفاده از مشعل‌های اضافی، ایجاد شود. لذا اصول کار این زباله‌سوزها بر اساس حرکت مداوم کف و درجه حرارت مورد نیاز طراحی شده است. زباله‌سوزهای ناپیوسته همچون کوره‌های زغال‌سوز دستی در موقع نیاز توسط کارگران بارگیری بکار گرفته می‌شوند. نام مقطعی یا ناپیوسته از این لحاظ به این نوع کوره‌ها اطلاق می‌گردد که زباله تنها گهگاه جهت سوزاندن به درون آنها فرستاده می‌شوند.

زباله‌سوزها را می‌توان به روش دیگری نیز دسته بندی کرد و آن دسته‌بندی آنها براساس نوع زباله آنها است. بدین منظور زباله‌سوزها را می‌توان به چهار دسته زباله‌سوزهای شهری، زباله‌سوزهای بیمارستانی، زباله‌سوزهای حاوی مواد آلی، زباله‌سوزهای صنعتی تقسیم نمود.



### ۲-۳-۱ زباله سوزهای حاوی مواد آلی

زباله سوزهای حاوی مواد آلی سیستم‌های هاضم زباله می‌باشند. موضوع تولید انرژی از زباله‌های حاوی مواد آلی از موضوعات مورد توجه کشورهای توسعه یافته می‌باشد که اخیراً با توجه به طرح هدفمند کردن یارانه‌ها و اصلاح قیمت‌های حامل‌های انرژی نزد مسئولین کشور اهمیت خاصی یافته است به گونه‌ای که سازمان انرژی‌های نو ایران (سانا) خرید برق تولیدی از روش نو را به صورت خرید تضمینی عهده‌دار شده است. در این سیستم‌ها مواد آلی درون مخازنی به نام هاضم (digester) ریخته می‌شود، پس از فعل و انفعال‌های شیمیایی بدون حضور هوا، گازهای متان و  $CO_2$  از مواد آلی متصاعد می‌شود.

### ۳-۳-۱ زباله سوزهای بیمارستانی

یکی از معضلات اساسی شهرها نحوه امحا زباله‌های بیمارستانی است، اینگونه زباله‌ها ممکن است عفونی یا غیر عفونی باشد. امحا اینگونه زباله‌ها با توجه به ماهیت آن شیوه‌ای جدا از امحا زباله‌های شهری را می‌طلبد که از مهمترین مزایای استفاده از زباله سوزهای بیمارستانی می‌توان به موارد زیر اشاره کرد:

از بین رفتن انگل‌ها و مواد عفونی

بی خطر سازی مواد تیز و برنده بر اثر حرارت

عمدتاً سه نوع زباله سوز مورد استفاده قرار می‌گیرد: زباله سوز با هوای کنترل شده، زباله سوز با هوای مازاد و زباله سوز با کوره‌های دور. بیش از ۹۵ درصد زباله سوز‌های بیمارستانی از نوع زباله سوز با هوای کنترل شده است و تنها درصد کمی از زباله سوزهای از نوع با هوای مازاد و کمتر از یک درصد از زباله سوز‌ها از نوع زباله سوز با کوره‌های دور می‌باشند [2].

### ۴-۳-۱ زباله سوزهای شهری

یکی از معضلات شهرداری‌ها در سراسر دنیا، نحوه امحا زباله تولیدی است، پس از آنکه قسمت‌های قابل بازیافت زباله از آن جدا شد، موادی باقی مانده را می‌توانند به RDF<sup>۱</sup> تبدیل کنند. RDF معمولاً از انرژی حرارتی زیادی برخوردار است. سوزاندن RDF راه حل جدیدی برای تولید برق می‌باشد استفاده از زباله سوز

<sup>۱</sup>. Refuse Drive Fuel

## فصل اول: کلیات



دانشگاه صنعتی شهرورد

در شهرهای ساحلی که سطح آب زیر زمینی بالا می باشد و خطر آلودگی آب در اثر دفن غیر بهداشتی زباله در کمین می باشد از اهمیت خاصی برخوردار است. و خطری که برای بهداشت و آب از بابت دفن زباله وجود دارد نیز از بین می رود و اما مزاها:

- از بین رفتن خطر آلودگی آبهای زیرزمینی
- تولید برق از حرارت تولید شده
- امکان کنترل گازهای خروجی و جلوگیری از آلودگی محیط زیست
- از بین رفتن کلیه انگل ها و مواد عفنی و ...

جدول ۱-۱: انواع آلاینده های زباله سوز شهری و نحوه کنترل آنها [۱].

جدول ۱-۱: آلاینده های زباله سوز شهری و نحوه کنترل آنها [۱]

نوع آلاینده	کنترل آلودگی
زاندات هیدرورکرینی سیک	زنگنه شدن در اثر فساد تدریجی لوله بوجود خواهد آمد).
ترکیبات سولفور (گوگرد)	یک روش تواتری، شستشوی هیدرورکسید سدیم است، این روش معمولاً پیش از فرآیند زباله سوزی انجام می شود.
مخلوط اسید نیتریک و اسید هیدروفلوریک	اختشی سازی با استفاده از سنگ آهک در گل و لجن فلورورید - کلسیم و نیترات کلسیم، روشن تواتری و نتیجه بخش است.
منوکسید کرین	میزان آن در مقایسه با ژغال سنگ، کمتر است.
بوهای ناشی از واکنشهای بیهوایی	کلرزنی به استخر، جانی که ترکیبات بودار، اکسیده شده و باکتریها کنترل می شوند. فیلترهای فابریک می توانند ۹۰ درصد از خروجی های مواد آبی را جابجا نمایند.
کلرید هیدروژن و فلوراید هیدروژن	با استفاده از ترکیبات کلسیم اضافه شده، می توان آنها را کنترل نمود. اسکربرهای پیشرفتہ اسید - گاز می توانند بیش از ۹۰ درصد این ترکیبات را کنترل کنند.
دی اکسید گوگرد	اسکربرهای پیشرفتہ اسید - گاز می توانند بیش از ۶۰ درصد این ترکیب را کنترل کنند.
وجود فلزات در گازهای دودکش	فیلترهای کیسملای می توانند ۹۰ درصد آنها را جذب نمایند.
خاکستر معلق	جداسازی و حذف موادی از زباله که شامل سطوح بالائی از سرب و کادمیوم می باشند، سمیت خاکستر معلق را کاهش خواهد داد.



### ۵-۳-۱ زباله سوزهای صنعتی

چهارمین نوع از زباله‌سوزها براساس مورد استفاده از آنها زباله‌سوزهای صنعتی هستند که در کارخانجات برای سوزاندن ضایعات غیر قابل بازیافت از آنها استفاده می‌نمایند.

### ۱-۴-۱ اکسید ازت (NO<sub>x</sub>) چیست؟ و چرا مهم است؟

متوسط مصرف روزانه هوا توسط انسان ده برابر متوسط مصرف روزانه غذا و ۶ برابر متوسط مصرف روزانه آب است (15 Kg). انسان بدون آب و غذا تا چندین روز می‌تواند زنده بماند ولی بدون هوا تنها چند دقیقه زنده است.

آلودگی هوا عبارت است از وجود یک یا چند ماده آلوده کننده در هوای آزاد به مقدار و مدتی که کیفیت هوا را تغییر داده و برای انسان، حیوان، گیاه و ساخته‌های بشری مضر باشد.

آلینده‌های هوا را می‌توان به دو دسته اولیه و ثانویه تقسیم نمود. آلینده‌های اولیه آلینده‌هایی هستند که مستقیماً وارد اتمسفر شده و به شکلی که انتشار یافته‌اند وجود خواهند داشت مثل اکسیدهای گوگرد، مونوکسید کربن و .... آلینده‌های ثانویه نیز به آلینده‌هایی گفته می‌شود که از ترکیب آلینده‌های اولیه و در اثر برخی شرایط محیطی تشکیل می‌شوند مثل ازن و مه دود فتوشیمیایی. لازم به ذکر می‌باشد که آلینده‌های هوا در سه شکل جامد، مایع و گاز موجودند.

از جمله آلینده‌های هوا می‌توان مونوکسید کربن، اکسیدهای گوگرد، اکسیدهای ازت، ترکیبات آلی فرار، اکسید کننده‌های فتوشیمیایی و ذرات معلق را نام برد. که در این پایان‌نامه هدف اصلی ما آلینده اکسیدهای ازت می‌باشد.

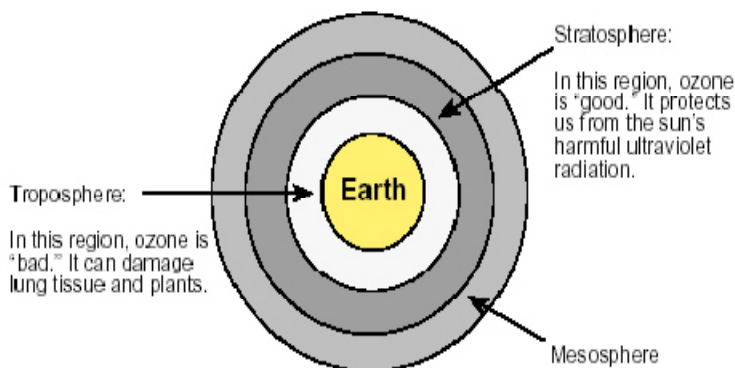
### ۱-۴-۲ NO<sub>x</sub> چیست؟

NO<sub>x</sub> در مورد NO (nitric oxide) و NO<sub>2</sub> (nitrogen dioxide) به کار برده می‌شود. این دو از بیشترین اکسیدهای نیتروژن هستند. بیشتر اکسیدهای نیتروژن بی‌رنگ و بی‌بو هستند. اما NO<sub>2</sub> دارای رنگ قهوه‌ای متمایل به قرمز می‌باشد و بوی تندی نیز دارد. اکسیداکسیون NO<sub>2</sub> به NO همان پروسه ای است که منجر به تشکیل لایه اوزون در اتمسفر می‌شود[3]. درست است که اوزون در بالای اتمسفر اشعه



ماورای بخش خورشید را جذب می‌کند اما اوزون در سطح جو باعث دود و مشکلات تنفسی می‌شود[4].

شکل ۱-۱ اوزون را در جو زمین نشان می‌دهد.



شکل ۱-۱: اوزون در اتمسفر زمین

## ۲-۴-۱ آثار اکسیدهای ازت ( $\text{NO}_x$ )

استفاده از اتومبیل‌ها، کامیون‌ها، نیروگاه‌ها و دیگر دستگاه‌هایی که سوخت می‌سوزانند امروزه متداول شده است. استفاده از این دستگاه‌ها متأسفانه اثرات بدی بر محیط زیست ما گذاشته است. دلیل آن نیز آن است که بسیاری از محصولات نامطلوب مانند  $\text{NO}$ ,  $\text{NO}_2$ ,  $\text{N}_2\text{O}$  و  $\text{CO}$  از فرآیند احتراق این سوخت‌ها تولید می‌شوند[5].

در میان آلاینده‌های تولید شده  $\text{NO}_x$  نقش مهمی را بازی می‌کند زیرا جلوگیری از تشکیل آن در هنگامی که سوخت در یک فرآیند احتراق در دماهای بالا می‌سوزد، اجتناب ناپذیر است. منابع بسیاری برای تولید  $\text{NO}_x$  وجود دارد از قبیل وسایل نقلیه موتوری، نیروگاه‌های برق و دیگر اماکن صنعتی و حتی خانگی که سوخت می‌سوزانند. آلودگی هوا توسط  $\text{NO}_x$  یک مشکل بسیار جدی می‌باشد. این آلاینده می‌تواند باعث باران‌های اسیدی و مهدود فتوشیمیایی شود و به محیط زیست آسیب برساند[6][7][8].

شکل ۲-۱ غلظت مه دود فتوشیمیایی در<sup>۱</sup> LA را نشان می‌دهد. آلاینده‌های ناخواسته و منابع طبیعی محدود لزوم یک کنترل کارآمد بر مصرف سوخت را ایجاب می‌کند[9][8][6].

<sup>۱</sup>. Los Angeles



شکل ۲-۱: غلظت مه دود فتوشیمیایی در لوس آنجلس

تقریباً همه  $\text{NO}_X$  منتشر شده بصورت  $\text{NO}$  می باشد که در اتمسفر به  $\text{NO}_2$  اکسید شده و  $\text{NO}_2$  نیز در حضور نور خورشید با هیدروکربن‌ها ترکیب شده و مه دود فتوشیمیایی را تولید می کند که اثر منفی آن بر سلامتی کاملاً مشخص شده است. در زیر چند نمونه از اثرات مضر  $\text{NO}_X$  ذکر شده است.

۱.  $\text{NO}_2$  می‌تواند با رادیکال هیدروکسیل ترکیب شده و باعث تولید باران‌های اسیدی کند.

۲.  $\text{NO}_2$  در غلظت‌های خیلی بالا باعث بروز مشکلات تنفسی می‌شود.

۳. کنترل انتشار اکسیدهای نیتروژن سخت‌تر از کنترل سایر آلاینده‌ها است.

سرفه‌های شدید، تنفس‌های کوتاه و سریع، سردرد، تنگی نفس، التهاب و سوزش چشم، بینی و حلق از اثرات مه دود فتوشیمیایی بر انسان است. صدمه دیدن برگ درختان و کاهش رشد گیاهان (۹۰٪ خسارات ناشی از آلودگی هوا در بخش کشاورزی ناشی از ازن می‌باشد) از جمله اثرات این آلاینده بر طبیعت است.

### ۳-۴-۱ تشکیل $\text{NO}_X$

$\text{NO}_X$  عمدتاً از سه فرایند اساسی اکسید نیتروژن سوختی، اکسید نیتروژن حرارتی و اکسید نیتروژن آنی تشکیل می‌شود.

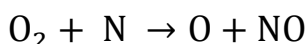
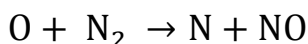
در فرایند اکسید نیتروژن حرارتی، زمانی که اکسیژن اضافی و نیتروژن موجود درهوا در دمای بالاتر از ۱۸۰۰ درجه کلوین در فرآیند احتراق حاضر باشند و انرژی لازم برای شکستن پیوند بین اتم‌های نیتروژن فراهم باشد  $\text{NO}_X$  تشکیل می‌شود[10]. مقدار  $\text{NO}_X$  تشکیل شده به دمای واکنش، زمان اقامت، نسبت

## فصل اول: کلیات

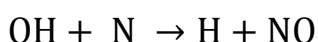


دانشگاه صنعتی شهرورد

استوکیومتری و توربولانسی بستگی دارد. دو واکنش اصلی در فرایند تشکیل  $\text{NO}_x$  حرارتی توسط زلدوفیچ<sup>۱</sup> بیان شد.



در شرایط نزدیک به استوکیومتری و مخلوط سوخت غنی، واکنش زیر نیز الزامی است.

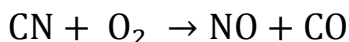
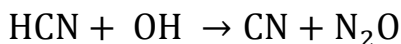
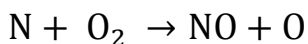
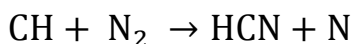


اگرچه نرخ تشکیل  $\text{NO}_x$  حرارتی در مقایسه با روش‌های دیگر پایین است اما بخش زیادی از  $\text{NO}_x$  به همین روش ایجاد می‌شود[11].

اکسیدهای نیتروژن سوختی به هنگام احتراق در اثر اکسید شدن نیتروژن موجود در ساختار شیمیایی سوختهایی از قبیل زغال، کک، روغن‌های سنگین تولید می‌شوند[12]. بین ۲۰ تا ۸۰ درصد نیتروژن محصور شده در این سوخت‌ها به  $\text{NO}_x$  تبدیل می‌شوند. سوختهای مختلف حاوی مقداری متفاوتی از نیتروژن هستند. مانند گاز طبیعی که فاقد نیتروژن است ولی زغال سنگ تا ۳ درصد نیتروژن دارد.

اکسیدهای نیتروژن آنی در اثر شکسته شدن پیوندهای سوختهای هیدروکربنی و آزاد شدن رادیکال‌هایی از قبیل  $\text{C}$ ,  $\text{CH}$  و  $\text{CH}_2$  ترکیب این رادیکال‌ها با نیتروژن هوا به وجود می‌آیند[13][12].

مسیر واکنش‌های در حال حاضر پذیرفته شده برای تشکیل اکسید نیتروژن آنی در زیر آمده است[10].



<sup>1</sup>. Zeldovich



به این دلیل به این فرآیند اکسید نیتروژن آنی می‌گویند، چون در نزدیکی شعله بلافاصله  $\text{NO}_x$  تولید می‌شود.

### ۱-۵ کنترل انتشار اکسیدهای ازت ( $\text{NO}_x$ )

از جمله عوامل افزایش دهنده انتشار  $\text{NO}_x$  حرارتی عبارتند از:

۱. بالا بودن دما در محفظه احتراق

۲. بالا بودن غلظت اکسیژن در محفظه احتراق

۳. زمان ماند بالای گازهای حاصل از احتراق در محفظه [14]

راهکارهای کاهش  $\text{NO}_x$  را می‌توان به دو مرحله تقسیم نمود [14]:

۱. مرحله قبل از احتراق: جلوگیری از تشکیل  $\text{NO}_x$  از طریق اصلاح فرآیند و تجهیزات احتراق

۲. کاهش انتشار  $\text{NO}_x$  پس از احتراق

در مرحله قبل از احتراق، با کاهش دمای محفظه احتراق، کاهش زمان اقامت گازها در محفظه احتراق و کاهش غلظت نیتروژن موجود در سوخت در محفظه احتراق، از تشکیل  $\text{NO}_x$  جلوگیری می‌شود. به عنوان مثال در موتورها برای کاهش  $\text{NO}_x$  مواردی همچون کاهش میزان فشرده‌سازی، به تاخیر انداختن زمان‌بندی، چرخش گاز اگزوژ و غنی‌سازی مخلوط سوخت را انجام می‌دهند. تکنیک کاهش  $\text{NO}_x$  با اصلاح فرایند، قبل از احتراق، اگرچه مقدار زیادی  $\text{NO}_x$  را کاهش می‌دهد، اما به اندازه این که استانداردها و قوانین بین‌الملل تعیین کردن، نیست. در نتیجه برای کاهش  $\text{NO}_x$  بیشتر، عملیاتی بعد از احتراق برای کاهش  $\text{NO}_x$  ضروری است. از جمله این روش‌ها می‌توان به روش‌های<sup>۱</sup> SCR<sup>۲</sup> و تابش پرتوهای الکترون اشاره کرد.

<sup>1</sup> selective catalytic reduction

<sup>2</sup> selective non-catalytic reduction

## فصل اول: کلیات

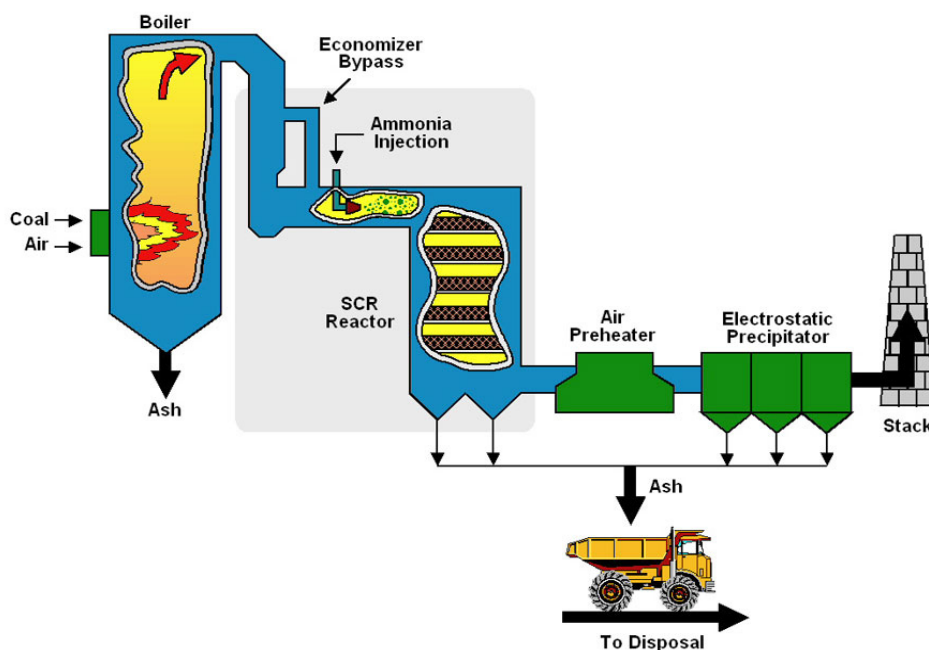


دانشگاه صنعتی شهرورد

جهت کاهش دمای محفظه احتراق می‌توان از مخلوط غنی سوخت جهت کاهش مقدار اکسیژن در دسترس، مخلوطهای غنی از هوا برای محدود کردن دما، تزریق گازهای احتراق سرد و تهی از اکسیژن به داخل محفظه احتراق و تزریق آب یا بخار استفاده کرد. با کاهش محدود شعله در بویلرهای می‌توان زمان ماند را کم کرد.

جهت احیا  $\text{NO}_x$  از آمونیاک در روش SCR و آمونیاک یا اوره در روش SNCR استفاده می‌کنند.

یکی دیگر از راهکارهای کاهش  $\text{NO}_x$  اکسید کردن آن است. به این معنی که ظرفیت نیتروژن را جهت بالا بردن قابلیت جذب آب افزایش دهیم. برای این منظور از کتالیزور استفاده می‌کنند و یا  $\text{H}_2\text{O}_2$  یا اوزن تزریق می‌کنند. احتراق با اکسیژن خالص نیز به دلیل حذف نیتروژن برای کاهش  $\text{NO}_x$  مناسب است.<sup>[14]</sup>

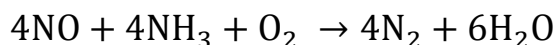


شکل ۱-۳: شماتیکی از کارخانه زباله سوز با فرایند [15] SCR



### ۱-۵-۱ روشن SCR

این روش یکی از معروفترین روش‌های کاهش  $\text{NO}_X$  می‌باشد. در این روش آمونیاک در حضور کاتالیزور به جریان گازی که شامل  $\text{NO}_X$  است تزریق می‌شود. در اثر واکنش این گازها با آمونیاک تزریق شده،  $\text{NO}_X$  به نیتروژن و آب تبدیل می‌شود. واکنش اصلی این فرآیند به شرح زیر است [5]:

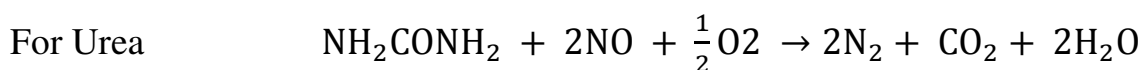


شکل ۱-۳ یک شماتیک ساده از کارخانه زباله‌سوز با پروسه SCR را نشان می‌دهد [14].

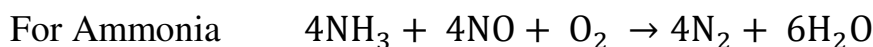
### ۲-۵-۱ روشن SNCR

یکی دیگر از تکنولوژی‌های حذف  $\text{NO}_X$  روش SNCR است. در این روش با تزریق یک ماده احیا کننده به زباله سوز  $\text{NO}_X$  خروجی از زباله‌سوز را کاهش می‌دهند. این روش با توجه به اینکه از چه ماده احیا کننده‌ای استفاده می‌شود به سه دسته تقسیم بندی می‌شود. اگر ماده احیا کننده استفاده شده در این روش آمونیاک باشد Thermal DeNOx می‌نامند و اگر ماده احیا کننده اوره باشد NOxOUT گویند. سومین دسته را RAPRENOx می‌نامند که ماده احیا کننده در آن ایزوسیانوریک اسید است. کاهش  $\text{NO}_X$  در این فرایند با تزریق این مواد احیا کننده در دمای بالا اتفاق می‌افتد. در قسمت‌های بعدی به صورت مفصل به این سه دسته از روش‌های  $\text{NO}_X$  می‌پردازیم.

در یک فرآیند SNCR نیتروژن اکسید، عامل احیا کننده به صورت محلول آبی (آب و آمونیاک، اوره) یا به فرم گازی به داخل جریان داغ گازها تزریق می‌شود. واکنش کلی به صورت زیر است:



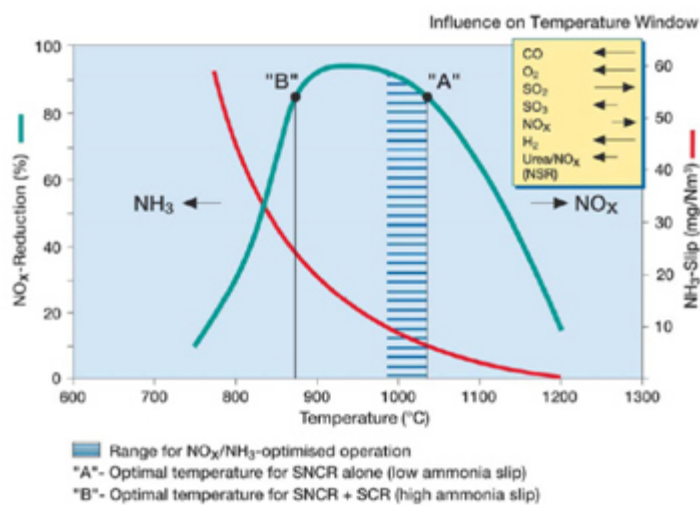
OR



نیتروژن مولکولی، آب و دی اکسید کربن شکل می‌گیرد. بسته به نوع ترکیب گاز دمای بهینه برای کاهش قابل توجه  $\text{NO}_X$  بین ۹۰۰ تا ۱۱۰۰ درجه سانتی‌گراد می‌باشد. بالاتر از این محدوده دمایی آمونیاک از حد



معمول بیشتر اکسید شده و در نتیجه نیتروژن اکساید شکل می‌گیرد. (شکل ۴-۱) در دمای پایین‌تر از این محدوده دمایی نرخ واکنش کمتر می‌شود و در نتیجه آمونیاک در خروج از دودکش بیشتر می‌شود.



شکل ۴-۱: نمودار NO<sub>x</sub> حذف شده در دمای متفاوت [16]

هدف در کلیه فرآیندهای کنترل NO<sub>x</sub>، رسیدن به بیشترین کاهش NO<sub>x</sub> و کمترین آمونیاک در خروجی به طور همزمان می‌باشد. این هدف زمانی محقق می‌شود که فرآیند در محدوده دمایی ذکر شده انجام گیرد.

هر فرآیند SNCR شامل ۴ مرحله زیر می‌باشد [15].

۱. توزیع و اختلاط قطرات مایع با جریان گاز

۲. تبخیر آب که واکنشگر شیمیایی در آن رقیق شده‌اند.

۳. تجزیه واکنشگرها به گونه واکنشی

۴. واکنش بین فاز گازی NH<sub>2</sub> و NO<sub>x</sub>

شکل ۵-۱ یک شماتیک ساده شده از کارخانه زباله‌سوز با پروسه SNCR که محلول اوره به عنوان ماده احیا کننده، منجر به کاهش ۶۰ درصد NO می‌شود را نشان می‌دهد.

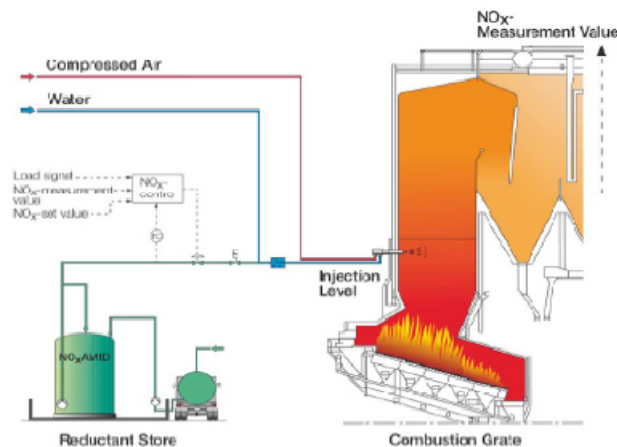


Figure 4: Process Flow Scheme with Urea Solution

شکل ۵-۱: شماتیکی از کارخانه زباله سوز با فرایند SNCR

## ۳-۵-۱ مقایسه روش SCR با SNCR

میانگین سالانه  $\text{NO}_x$  منتشر شده از زباله‌سوزهای مجهز به سیستم SCR که بطور پیوسته کار می‌کنند، کمتر از  $80 \text{ Mg/NM}^3$  است. مقدار  $\text{NO}_x$  منتشر شده از کارخانجات زباله‌سوز که مجهز به تکنولوژی SNCR است معمولاً در حدود  $180 \text{ Mg/NM}^3$  یا حتی می‌تواند در بعضی مواقع به  $150 \text{ Mg/NM}^3$  برسد. این نشان می‌دهد جهت کاهش  $\text{NO}_x$  با تکنولوژی SNCR محدودیت داریم. اما اغلب این واقعیت که زباله‌سوزهای مجهز به سیستم SNCR مطابق قوانین، برای کاهش مقدار  $\text{NO}_x$  در حدود کمتر از  $200 \text{ Mg/NM}^3$  طراحی شده‌اند نادیده گرفته می‌شود.

بر اساس اطلاعات منتشر شده از زباله‌سوزها فقط اینکه  $\text{NO}_x$  منتشر شده مطابق با قوانین باشد و یا حتی SNCR کمتر از حد مجاز باشد کافی نیست و پارامترهای دیگری مانند هزینه نیز مهم می‌باشد. در روش SNCR برای رسیدن به  $\text{NO}_x$  کمتر در خروجی دودکش نیاز به هزینه بیشتر به دلیل افزایش نیاز به ماده احیا کننده است. که به نفع اپراتور نیست و از آن اجتناب می‌شود. بنابراین تنها کاهش  $\text{NO}_x$  مهم نمی‌باشد و باید هزینه را نیز در نظر گرفت.

بدون شک فرآیند SNCR در طول ۲۰ سال گذشته بسیار توسعه یافته است. در اوایل دهه نود در آلمان صحبت در مورد حد  $\text{NO}_x$  تولید شده زیر  $100 \text{ Mg/NM}^3$  شد، این در حالی بود که قبل آن حد  $\text{NO}_x$  تولید شده  $200 \text{ Mg/NM}^3$  بود. سیستم SNCR باعث

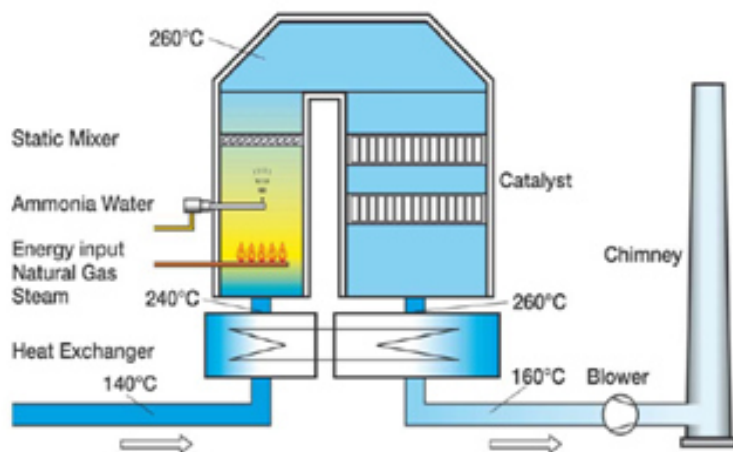


## فصل اول: کلیات

کاهش  $\text{NO}_x$  در مقدار یکسان و روودی زباله به زباله‌سوز می‌شود. هر چند روش SCR این چنین مزیتی به روش SNCR دارد ولی باید توجه کرد معایب مهمی از لحاظ مقررین به صرفه بودن، مصرف انرژی و مسائل زیست محیطی دارد [15].

هزینه سرمایه گذاری در یک کارخانه زباله‌سوز با سیستم SCR برای کاهش مقدار بالا  $\text{NO}_x$  در حدود ۵ برابر هزینه سرمایه گذاری در یک کارخانه زباله‌سوز با سیستم SNCR با مقدار  $\text{NO}_x$  و ویژگی‌های فنی یکسان می‌باشد.

همچنین هزینه راه اندازی این نوع زباله‌سوزها (زباله‌سوز مجهز به سیستم SCR) به دلیل مصرف بیشتر انرژی برای استفاده در دمندها جهت جبران افت فشار به وجود آمده در مبدل‌ها حرارتی و کاتالیزورها و همچنین پیش گرم کردن جریان گاز با بخار آب یا نفت و یا گاز طبیعی، بیشتر است.



شکل ۶-۱: شماتیکی از پروسه SCR در کارخانه زباله سوز

شکل ۶-۱ شماتیکی از پروسه SCR در کارخانه زباله‌سوز را نشان می‌دهد. افت فشار در میان مبدل حرارتی، میکسرها و کاتالیزورها در حدود ۲۵ بار می‌باشد. افت دمای جریان گاز ۲۰ تا ۲۵ درجه کلوین است. انرژی مورد نیاز برای جبران دمای کاهش یافته توسط گاز طبیعی ایجاد می‌شود.

## فصل اول: کلیات



دانشگاه صنعتی شهرورد

بطور مثال یک کارخانه زباله‌سوز با سه روش متفاوت سوزاندن از لحاظ هزینه سرمایه گذاری، اجرا و کاهش مقایسه شده‌اند. این سه روش عبارتند از روش SCR، که برای کاهش  $\text{NO}_x$  کمتر از  $200 \text{ Mg/NM}^3$  با ماده احیا کننده اوره طراحی شده است و روش SNCR، که برای کاهش  $\text{NO}_x$  کمتر از  $100 \text{ Mg/NM}^3$  با ماده احیا کننده آب آمونیاک طراحی شده است، می‌باشد.

هزینه سرمایه‌گذاری یک واحد SCR در حدود  $3500000$  یورو می‌باشد که  $2000000$  یورو بیشتر از هزینه سرمایه‌گذاری در یک واحد SNCR که برای کاهش  $\text{NO}_x$  کمتر از  $100 \text{ Mg/NM}^3$  است، می‌باشد. هزینه سرمایه گذاری در واحد SNCR که ماده احیا کننده آن اوره می‌باشد، برای کاهش  $\text{NO}_x$  به کمتر از  $200 \text{ Mg/NM}^3$  که مطابق با قوانین اروپا می‌باشد در حدود  $200000$  یورو می‌باشد. بنابراین در هر دو سیستم SNCR به طور قابل توجهی هزینه سالانه نسبت به روش SCR کمتر است.

با توجه به راندمان پایین و هزینه ماده احیا کننده، هزینه عملیاتی هر دو روش SNCR بیشتر از SCR است. از سوی دیگر در روش SCR، هزینه بالای انرژی الکتریکی برای راهاندازی دمنده جهت جبران افت فشار به وجود آمده و تامین یک انرژی خارجی مانند گاز طبیعی برای پیش گرم کردن جریان گاز وجود دارد. به این هزینه‌ها باید هزینه تعمیر و جایگزینی کاتالیزورها را نیز اضافه نمود. در نتیجه در حالت کلی هزینه راهاندازی برای هر دو روش SNCR پایین‌تر از SCR می‌باشد. کارخانه GMVA ابرهاؤزن<sup>۱</sup> اعلام کرد که توان اتلافی کارخانجات SCR در حدود  $25 \text{ MT/h}$  می‌باشد در صورتی که در واحدهای SNCR این مقدار  $15 \text{ MT/h}$  می‌باشد. در سال  $2004$  کارخانه GMVA به دلیل هزینه‌های ناشی از خوردگی صفحات مبدل حرارتی، سیستم SNCR خود را به SCR تغییر داد. انتشارات GMVA بیان کرد که هزینه عملیاتی صرفه جویی شده برای  $4$  واحد زباله‌سوز  $2100000 \text{ EU/a}$  می‌باشد. که این نشان می‌دهد برای هر واحد زباله‌سوز  $525000 \text{ EU/a}$  صرفه جویی در هزینه عملیاتی انجام گرفته است.

در فرآیندهای SNCR غالباً غلظت آمونیاک بیش از حد است که این منجر به تشکیل نمک‌های آمونیوم و اسید کلریدریک و  $\text{SO}_3$  می‌شود. که این خود بر عملکرد و راندمان زباله‌سوز تاثیر بسیار جدی می‌گذارد. در حالیکه در روش SCR،  $\text{SO}_3$  بالا و وانادیوم پنتا اکسید به وجود می‌آید. که در واکنش با آمونیاک تزریق

<sup>1</sup>. Oberhausen

## فصل اول: کلیات



دانشگاه صنعتی شهرورد

شده برای کاهش  $\text{NO}_x$ ، کاتالیزورها و نمک‌های آمونیاک تولید رسوبات با گرد و غبار ریز می‌کند. علاوه بر آن وانادیوم پنتا اکسید منجر به افزایش واکنش‌پذیری کاتالیزورها، افزایش سرعت تغییر  $\text{SO}_2$  به  $\text{SO}_3$  و تشکیل اسیدسولفوریک که افزایش خوردگی را همراه دارد، می‌شود [15].

جدول ۲-۱: مقایسه هزینه در روش SCR با SNCR

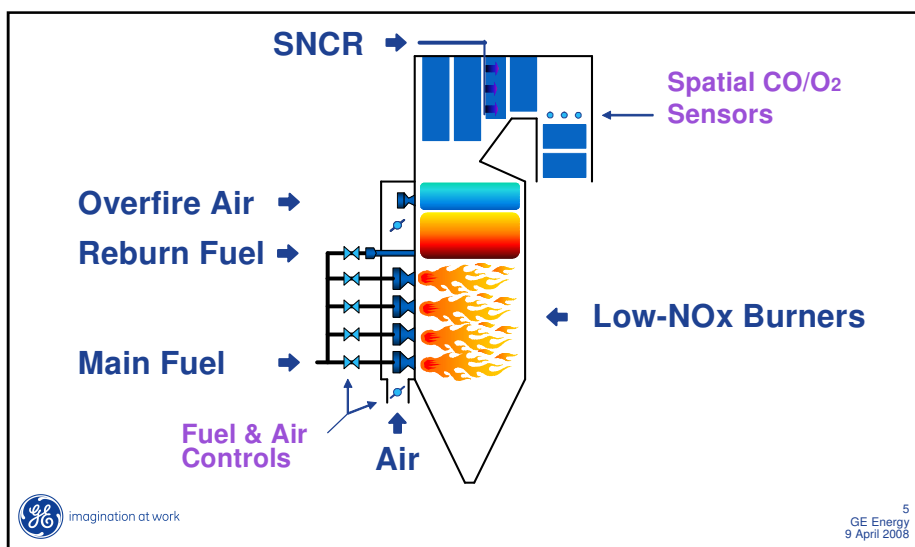
SCR $\text{NH}_4\text{OH}$ (25%)	SNCR $\text{NH}_4\text{OH}$ (25%)	SNCR UREA (45%)	واحد	
	۱۵		MT/h	ظرفیت زباله سوز
	۷.۸		h/Day	زمان عملکرد
	۴۰۰		$\text{Mg}/\text{Nm}^3$	میزان $\text{NO}_x$ درودی
۷۰	۱۰۰	۲۰۰	$\text{Mg}/\text{Nm}^3$	کاهش یافته $\text{NO}_x$
۲۵	---	---	Mbar	افت فشار
۲۰	---	---	°C	افزایش دما
۲۵.....	۵.....	۲۰.....	EUR	هزینه سرمایه‌گذاری
	۱۵		سال	طول عمر طراحی
۲۵.....	۵.....	۲۰....	EUR/Day	هزینه سالیانه
۶	۱۶.۵	---	EUR/h	محلول آمونیاک
---	---	۱۱.۳	EUR/h	محلول اوره
---	---	۰.۵۸	EUR/h	فرآیند آب
۶.۷	۰.۱۵	۰.۱۵	EUR/h	انرژی الکتریکال
۳۸	---	---	EUR/h	گاز طبیعی
---	۲	۲	EUR/h	هوای فشرده
۵۰.۷	۱۸.۶۵	۱۴.۰۳	EUR/h	هزینه عملیاتی در ساعت

برخلاف آنچه تصور می‌شود که نمک آمونیاک از ذرات  $\text{NH}_3$  در فرآیند SNCR در واحد زباله‌سوز شهری تشکیل می‌شود، اگر سیتم صحیح نصب شده باشد، این اتفاق نمی‌افتد. در اسکروبرها تقریباً به طور کامل آمونیاک جذب می‌شود و در دفع محصول از دودکش اثر می‌گذارد. GMVA گزارش کرده تنها



آمونیوم باعث تشکیل هیدروژن سولفات می‌شود، که منجر به گرفتگی و آسیب رساندن به صفحات مبدل حرارتی می‌شود بنابراین قابلیت استفاده کمتر می‌شود. این در حالی است که در روش SNCR این مشکل تاثیری بر قابلیت استفاده از زباله‌سوز نمی‌گذارد [15].

از نقطه نظر زیست محیطی تولید  $\text{NO}_x$  و  $\text{CO}_2$  با انرژی اضافی ورودی قابل چشم‌پوشی نیست. روش SCR فقط در حدود  $30 \text{ Mg/Nm}^3$  بیشتر از روش SNCR که بدون تجهیزات اضافی مانند لایه‌های کاتالیستی کار می‌کند  $\text{NO}_x$  را کاهش می‌دهد. از طرف دیگر  $\text{CO}_2$  تولید شده در روش SCR به محیط وارد می‌شود و انرژی الکتریکی برای کار دمنده‌ها نیاز می‌باشد. و گاز طبیعی برای پیش گرم کردن جریان گاز ورودی. بنابراین برای افزایش کم کاهش  $\text{NO}_x$  انرژی بیشتری باید مصرف کنیم. در شکل ۷-۱ شماتیکی از یک سیستم ترکیبی که از چندین روش جهت کاهش  $\text{NO}_x$  استفاده می‌کند نشان داده شده است.



شکل ۷-۱: شماتیکی از یک سیستم ترکیبی برای حذف  $\text{NO}_x$  [15]

در شکل ۸-۱ چندین روش کاهش  $\text{NO}_x$  از لحاظ راندمان مقایسه شده است.



NOx Control Technologies	LNB	OFA	Reburning	SNCR	SCR
<b>Components Involved</b>					
Replace or Modify burners	X				
Staged Air Injection		X	X		
Staged Fuel Injection			X		
Nitrogen Agent Injection				X	X
Catalyst Reactor					X
<b>Nominal NOx Reduction</b>	30-50%	20-30%	50-60%	15-35%	80-90%
<small>LNB – Low-NOx Burners OFA – Overfire Air SNCR – Selective Non-Catalytic Reduction SCR – Selective Catalytic Reduction</small>					
 imagination at work					
					4 GE Energy 9 April 2008

شکل ۸-۱: مقایسه راندمان روش‌های مختلف کاهش  $\text{NO}_x$  [16]

روش‌های Reburning، OFA و LNB، روش‌های دیگر کاهش  $\text{NO}_x$  هستند که در اینجا فقط به ذکر نام آنها اکتفا می‌کنیم.

# **فصل دوم : مزوری بر مطالب**

**گذشته**



در این قسمت مطالعاتی که قبلا در مورد SNCR انجام شده است ارائه شده است. در فرآیند SNCR پارامترهای دمای بهینه، سطح اکسیژن و زمان اقامت بسیار مهم و تاثیر گذار هستند. میزان اختلاط بین معرف و جریان گاز در روش SNCR بسیار مهم است. همچنین در یک محدوده دمایی مناسب، باید زمان اقامت نیز کافی باشد[16]. این فصل شامل دو بخش کلی کاهش  $\text{NO}_x$  با تزریق آمونیاک (Thermal NO<sub>x</sub> Out Processes) و فرآیند کاهش NO<sub>x</sub> با تزریق اوره (DeNO<sub>x</sub> Processes) می‌باشد.

## ۱-۲ فرآیند کاهش NO<sub>x</sub> با تزریق آمونیاک (Thermal DeNO<sub>x</sub> Processes)

فرآیند حذف موثر NO<sub>x</sub> از گازهای احتراق به وسیله تزریق آمونیاک (NH<sub>3</sub>) توسط آقای لیون<sup>۱</sup> کشف شد که آن را عملیات حرارتی DeNO<sub>x</sub> نامید[7].

### ۱-۱-۲ مدل سینتیک فرآیند DeNO<sub>x</sub>

جزئیات شیمیایی روند تزریق آمونیاک جهت کاهش NO<sub>x</sub> از گازهای حاصل از احتراق در طول سال‌ها توسعه و بهبود یافت. آقای لیون و بن<sup>۲</sup> یک مدل سینتیک شیمیایی ارائه کردند که شامل ۲۴ واکنش جهت کاهش NO<sub>x</sub> بود[8]. آقایان سالیمان<sup>۳</sup> و هانسون<sup>۴</sup> یک مدل شیمیایی با ۴۹ واکنش جهت پیش‌بینی روند کاهش NO<sub>x</sub> ارائه کردند[9].

دو واکنش اساسی کاهش NO با NH<sub>3</sub> تولید رادیکال‌هایی است که از واکنش OH با NH<sub>3</sub> در واکنش ۱-۲، ۲-۲ و ۳-۲ می‌باشد[9].



دو واکنش دیگر، NO را به طور مستقیم کاهش می‌دهد.

<sup>1</sup>. Lyon

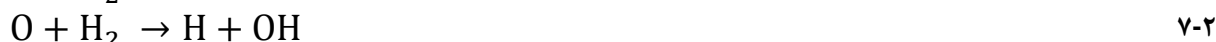
<sup>2</sup>. Benn

<sup>3</sup>. Saliman

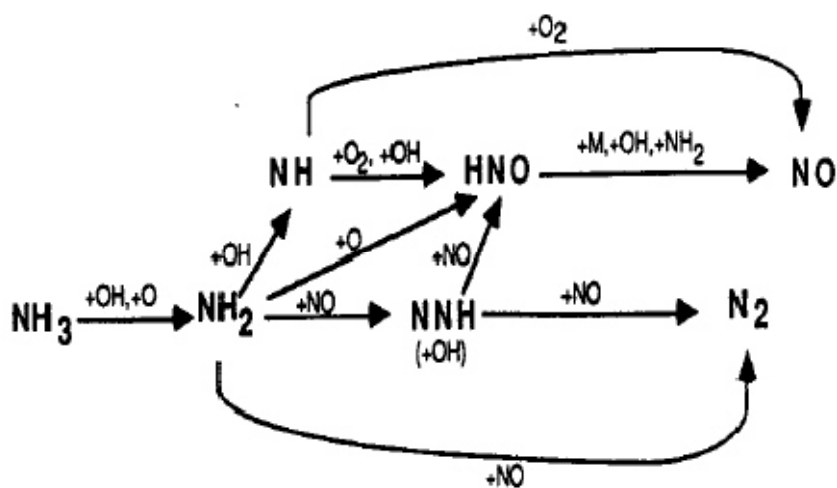
<sup>4</sup>. Hanson



در زنجیره واکنش‌های فرایند DeNOX واکنش ۱-۲ اساسی‌ترین واکنش می‌باشد زیرا که به طور مستقیم و غیر مستقیم بر محصولات تاثیر می‌گذارد [17]. مسیر زنجیره واکنش از واکنش‌های ۲-۲ یا ۳-۲ می-گذرد [3]. محدوده دمایی ناحیه‌ی موثر کاهش  $\text{NO}_x$  با افزایش  $\text{H}_2$  تغییراتی می‌کند [9].



در واکنش بالا  $\text{OH}$  در دمای پایین به اندازه کافی سریع تولید نمی‌شود. شکل ۱-۲: نمودار مسیر واکنش برای فرایند حرارتی DeNOX شماتیکی از ۷۳ واکنش که در مسیر اصلی واکنش به کار برد شده‌اند را نشان می‌دهد [9].



شکل ۲-۱: نمودار مسیر واکنش برای فرایند حرارتی  $\text{DeNO}_x$  [10]

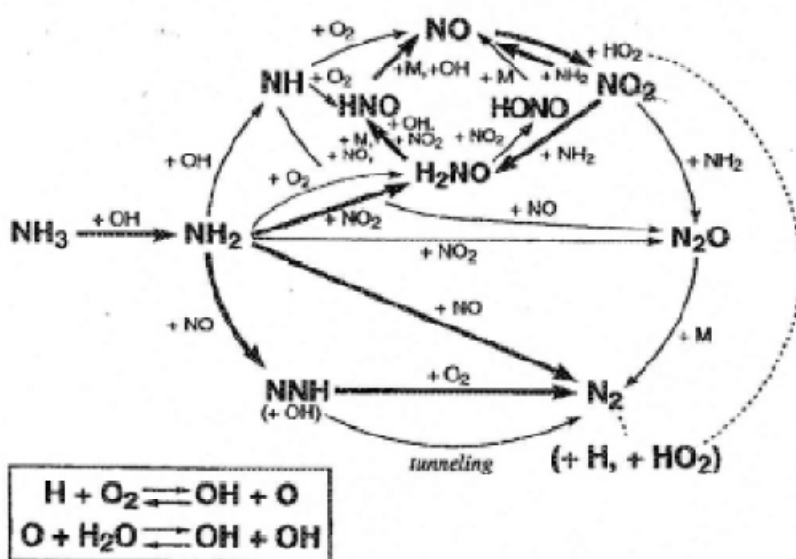
میلر<sup>۱</sup> و بومان<sup>۲</sup> مدلی با ۸۲ واکنش را ارائه کردند. همچنین این بزرگواران چندین پارامتر کلیدی سینتیکی را نیز ارائه کردند [17].

<sup>1</sup>. Miller

<sup>2</sup>. Bowman



$\text{NH}_3 + \text{O} \rightarrow \text{NH}_2 + \text{OH}$	۱۰-۲
$\text{NH}_2 + \text{O} \rightarrow \text{HNO} + \text{H}$	۱۱-۲
$\text{NH}_2 + \text{O} \rightarrow \text{NH} + \text{OH}$	۱۲-۲
$\text{NH} + \text{O}_2 \rightarrow \text{NO} + \text{OH}$	۱۳-۲
$\text{NH}_2 + \text{NO} \rightarrow \text{NNH} + \text{OH}$	۱۴-۲
$\text{NNH} + \text{NO} \rightarrow \text{N}_2 + \text{HNO}$	۱۵-۲
$\text{HNO} + \text{M} \rightarrow \text{H} + \text{NO} + \text{M}$	۱۶-۲
$\text{NH}_2 + \text{NO} \rightarrow \text{N}_2 + \text{H}_2\text{O}$	۱۷-۲



شکل ۲-۲: نمودار مسیر واکنش برای فرآیند حرارتی DeNO<sub>x</sub>. (فلش‌های پررنگ نشان دهنده مسیرهای غالب است[18])

شکل ۲-۲ نمودار مسیر واکنش‌ها را برای فرآیند DeNO<sub>X</sub> نشان می‌دهد [11]. ابتدا NH<sub>3</sub> از طریق واکنش با OH (واکنش ۱-۲) به NH<sub>2</sub> تبدیل می‌شود. اما همچنان در صورت وجود بخار آب، آمونیاک با اتم اکسیژن واکنش می‌دهد (واکنش ۱۰-۲) و NH و HNO با واکنش‌های ۱۱-۲ و ۱۲-۲ به عنوان محصولات واکنش NH<sub>2</sub> با O تولید می‌شوند. رادیکال‌های OH و O باعث ادامه تبدیل NH<sub>3</sub> به NH<sub>2</sub> می‌شوند که بایستی توسط واکنش NO<sub>x</sub> با NH<sub>2</sub> تولید شوند. این تولید مجدد نیازمند واکنش-



های ۱۴-۲، ۱۵-۲ و ۱۶-۲ می‌باشد. در مقایسه نتایج مکانیزم‌های قبلی، نتایج این مکانیزم به داده‌های تجربی نزدیکتر بود [9].

از مقایسه بین این مکانیزم با مکانیزم‌های ارائه شده توسط آقای گلاربورگ<sup>۱</sup> و همکارانش [12] یا کجاگارد<sup>۲</sup> و همکارانش [11] چند تفاوت دیده می‌شود.



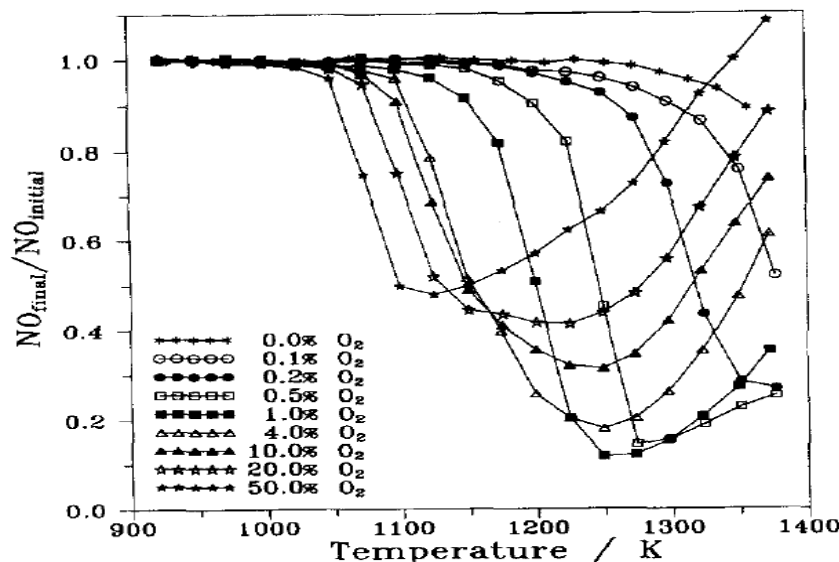
در این مکانیزم  $\text{NO}_2$  به عنوان یک محصول میانی از اهمیت بیشتری در مقایسه با مکانیزم ارائه شده توسط میلر و بومن برخوردار است.  $\text{NO}_2$  این امکان را می‌دهد تا  $\text{NNH}$  یک عمر کوتاهی پیدا کند. که این برای داشتن یک واکنش سریع بین  $\text{NNH}$  و اکسیژن در واکنش ۱-۲ بسیار ضروری است [11][9]. مقدار زیاد  $\text{NNH}$  برای واکنش ۱-۲ منجر به تشکیل سریع  $\text{NO}_2$  توسط واکنش ۲-۲ می‌شود [3].

### ۲-۱-۲ تاثیر غلظت اکسیژن

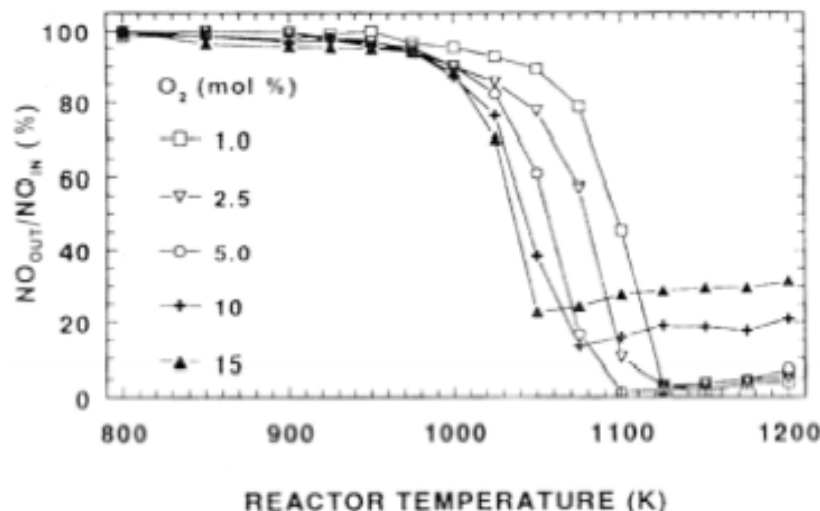
میلر و بومن به ضرورت وجود اکسیژن اضافی در فرآیند  $\text{DeNO}_X$  به منظور اجرای صحیح این فرایند اشاره کردند [9]. جهت کاهش  $\text{NO}_X$  به وسیله  $\text{NH}_3$  حضور اکسیژن الزامی است [4]. زمانی که غلظت اکسیژن افزایش یابد مرز روند کاهش  $\text{NO}_X$  به سمت دمای کمتر پیش می‌رود. گستره دامنه درجه حرارت افزایش می‌یابد ولی پتانسیل کاهش  $\text{NO}$  کم می‌شود [4].

<sup>1</sup>. Glarborg

<sup>2</sup>. Kjaergaard

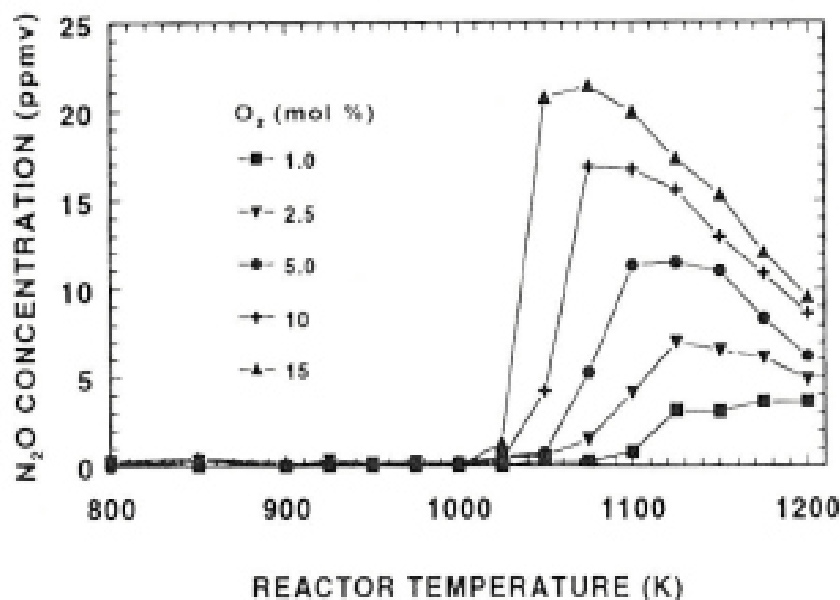
شکل ۳-۲: اثر غلظت اکسیژن بر کاهش NO<sub>x</sub> [11]

شکل ۳-۲ نشان می‌دهد برای غلظت‌های بالای اکسیژن، NO کمتری، اما در دمای پایین‌تر کاهش می‌یابد. همچنین افزایش غلظت اکسیژن، میزان آمونیاک در خروج را به حداقل می‌رساند ولی N<sub>2</sub>O را افزایش می‌دهد [10].



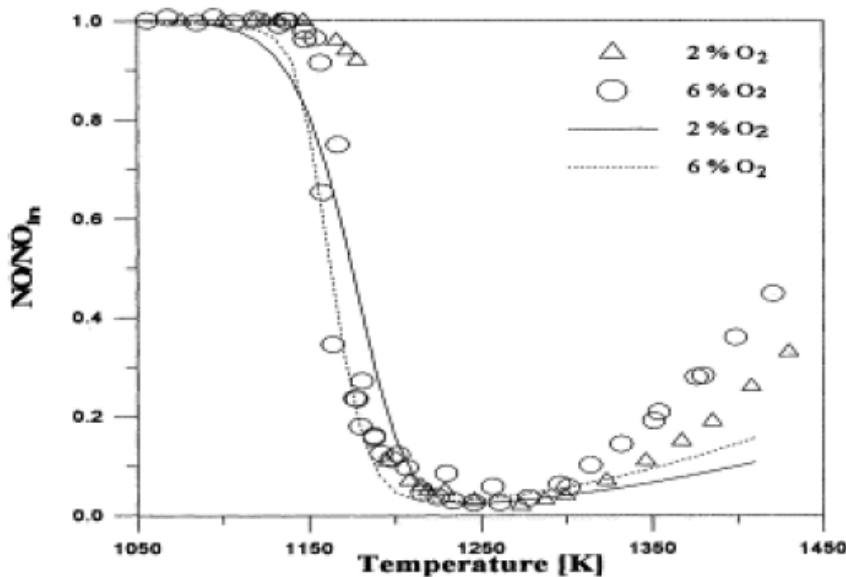
شکل ۴-۲: درصد NO حذف شده در دما و غلظت اکسیژن متفاوت [11]

شکل ۵-۲ نمایشی از وابستگی میزان کاهش  $\text{NO}_x$  به دما در غلظت‌های متفاوت اکسیژن می‌باشد [10]. زمانیکه سطح اکسیژن افزایش می‌یابد محدوده دمایی کاهش NO گسترده‌تر می‌شود اما پتانسیل کاهش NO نیز کم می‌شود. شکل ۵-۲ نمایانگر این مطلب می‌باشد [11]. همچنین با افزایش غلظت اکسیژن، اثر فشار بر دمای شروع کاهش  $\text{NO}_x$  کاهش می‌یابد [11]. اگر غلظت اکسیژن کاهش یابد، محدوده دمایی کاهش  $\text{NO}_x$  به طور قابل ملاحظه‌ای بالاتر می‌رود [18].



شکل ۵-۲: مقدار  $\text{N}_2\text{O}$  اندازه گیری شده در دمای متفاوت [12]

دمایی که در آن کاهش  $\text{NO}_x$  شروع می‌شود به تغییرات غلظت اکسیژن بسیار حساس است (شکل ۶-۲). افزایش غلظت اکسیژن پروفیل دمایی کاهش NO را به سمت دمای کمتر بیش می‌برد اما بر بیشترین دمایی که در آن کاهش  $\text{NO}_x$  اتفاق می‌افتد بی‌تأثیر است [13].



شکل ۶-۲: نمودار NO حذف شده برحسب دما با غلظت اکسیژن متفاوت در فشار جزئی بالا با شرایط:

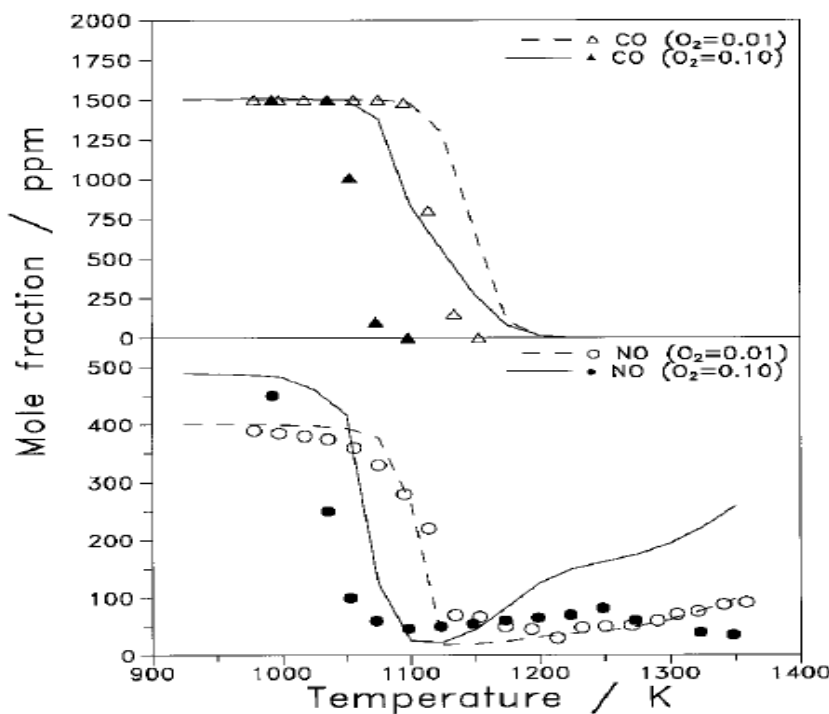
[19] NH<sub>3</sub> = 1800 PPM, NO = 1400 PPM

### ۳-۱-۲ تأثیر غلظت منوآکسید کربن (CO)

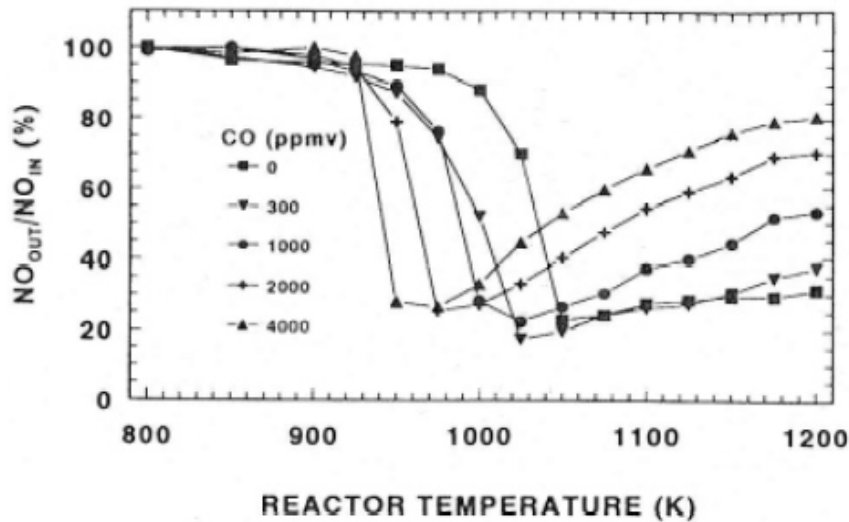
دیل<sup>۱</sup> و سووا<sup>۲</sup> اثبات کردند وقتی غلظت CO اولیه باشد، در دمای بالای 1010°C کاهش NO کمتری صورت می‌گیرد. در حالی که در دماهای پایین می‌تواند باعث کاهش خوب NO و همچنین رساندن میزان NH<sub>3</sub> خروجی کمتر از ۵ PPM شود[19]. بنابراین CO در درجه حرارت‌های پایین بسیار تأثیر گذار است. اما در موارد دیگر میزان کاهش NO اولیه به غلظت CO اولیه وابستگی کمتری دارد.

<sup>1</sup>. Dill

<sup>2</sup>. Sowa



شکل ۷-۲: اثر غلظت CO ورودی، سطح اکسیژن و دما بر روی غلظت NO و NH<sub>3</sub> خروجی در فشار بالا [12] (10Bar)

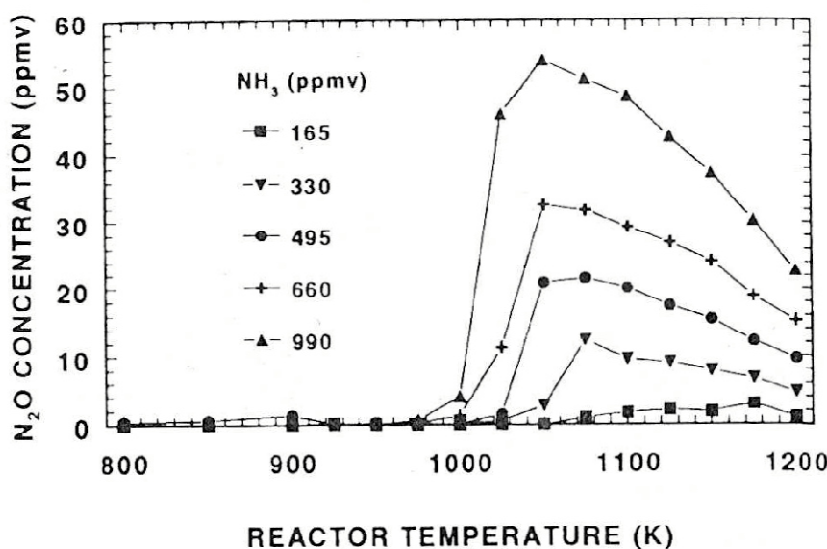


شکل ۸-۲: نمودار NO حذف شده برحسب دما، در غلظت CO متفاوت [11]

به علت ارتباط بین CO و اجزای رادیکال گونه شامل H, OH و O باقیمانده تا حد زیادی متفاوت از نتایج پیش‌بینی شده است [19].



در دماهای بالاتر از بیشترین دمای کاهش CO باعث کاهش کمتر NO می‌شود [10]. غلظت بالاتر NO محدوده دمایی کاهش CO را همانطور که در شکل ۷-۲ نشان داده شده است کاهش CO می‌دهد [11]. شکل ۸-۲ نشان می‌دهد NO حذف شده تابعی از دمای واکنش برای ۵ غلظت متفاوت CO در شرایط ۱۵ درصد اکسیژن می‌باشد [10]. برای غلظت‌های بالای CO، دمای بیشترین حذف NO کاهش می‌یابد. افزایش غلظت اولیه CO نه تنها محدوده دمایی کاهش NO را به زیر ۱۰۰۰ درجه کلوین کاهش می‌دهد بلکه باعث کمتر شدن گستره محدوده دمایی کاهش NO نیز می‌شود [11]. در غلظت‌های بالاتر، منواکسید کربن اثری معکوس بر روی گستره دمایی کاهش NO می‌گذارد [11].



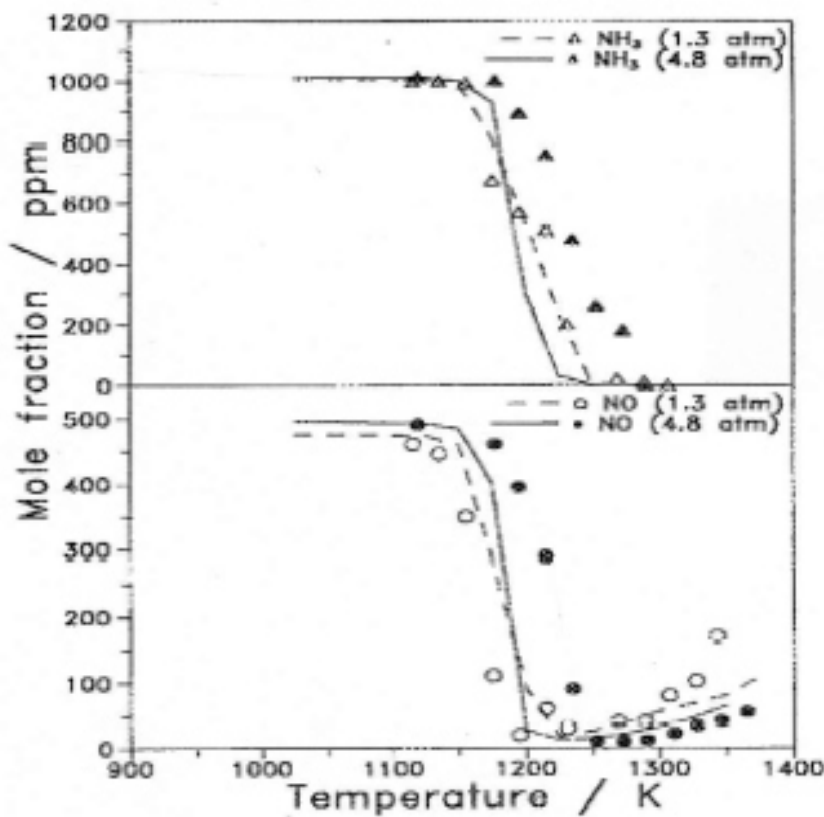
شکل ۹-۲: غلظت N<sub>2</sub>O اندازه گیری شده بر حسب دما [11]

### ۴-۱-۲ تشکیل NO<sub>2</sub> و N<sub>2</sub>O

شکل ۹-۲ نشان می‌دهد که غلظت N<sub>2</sub>O اندازه گیری شده تابعی از دمای واکنش است [10]. زمانی که ورودی افزایش یابد غلظت N<sub>2</sub>O تشکیل شده بیشتر خواهد شد [10]. در دماهای بالا و اکسیژن NH<sub>3</sub> کمتر مقدار NO<sub>2</sub> بیشتری مشاهده خواهد شد. این در حالی است که در دماهای پایین و اکسیژن زیاد NO<sub>2</sub> بسیار زیاد است [4]. فرایند تزریق آمونیاک تاثیر قابل توجهی در تشکیل NO<sub>2</sub> در شرایط ۵۱۵ KPa در شرایط ۱۵ KPa در میزان NO<sub>2</sub> تولید شده در فشارهای بالا تقریباً ۶ بار NO<sub>2</sub> تولید شده در فشارهای پایین دارد [20]. است.

## ۵-۱-۲ اثرات فشار

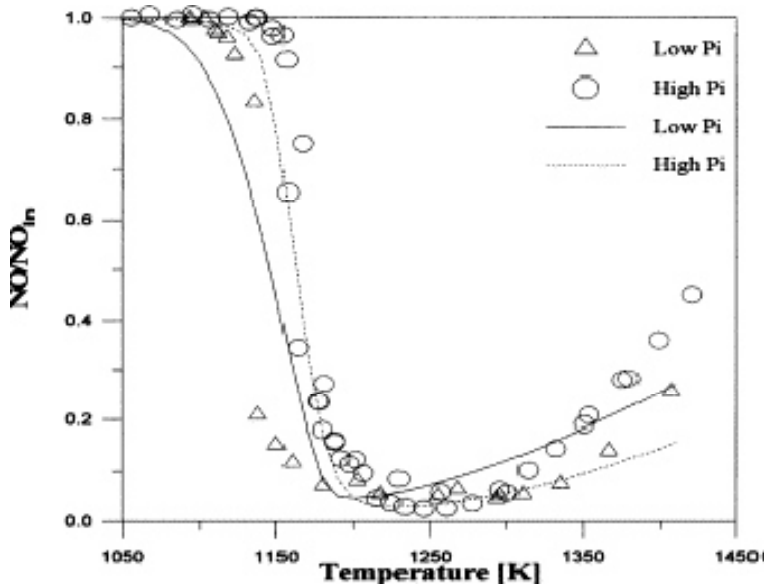
فشارهای جزئی بالا در فرایند حرارتی  $\text{DeNO}_x$  تاثیر قابل توجهی بر عملکرد درست این فرایند دارد. همانطور که در شکل ۱۰-۲ نشان داده شده است، بالا بردن فشار تاثیر معکوس بر روی پتانسیل کاهش  $\text{NO}$  دارد [4].



شکل ۱۰-۲: اثرات فشار و دما بر روی غلظت  $\text{NO}$  و  $\text{NH}_3$  خروجی [5]

در فشارهای پایین،  $\text{NO}$  به طور قابل ملاحظه‌ای در مقایسه با فشارهای بالا بیشتر کاهش می‌یابد [20]. تغییرات فشار از ۱۰ تا ۱۰۰ بار گستره دمایی کاهش  $\text{NO}$  را تا ۱۰۰ درجه کم می‌کند [12]. تاثیرات فشار در غلظت‌های پایین اکسیژن بسیار بارزتر است [12].

افزایش فشار جزئی، باعث کاهش محدوده دمایی کاهش  $\text{NO}$  می‌شود و پروفیل دمایی محدوده کاهش  $\text{NO}$  را به مقدار کمی به سمت درجه حرارت بالاتر سوق می‌دهد [13].



شکل ۱۱-۲: تاثیر فشار جزئی بر کاهش  $\text{NO}_x$  (خطوط، نتایج نظری و علامت، نتایج تجربی هستند). [13]

همانطور که در شکل ۱۱-۲ نشان داده است با افزایش فشار جزئی اکسیژن،  $\text{NO}$  کمتری کاهش یافته است.[13].

## ۶-۱-۲ اثرات نسبت<sup>۱</sup> NSR

$\text{NSR}$  نسبت غلظت ماده احیاکننده به غلظت  $\text{NO}$  اولیه است. این بدین معنی است که  $\text{NSR}$  برای فرایند حرارتی DeNOX به صورت نسبت مولی  $\text{NH}_3$  تزریق شده به  $\text{NO}_x$  ورودی می‌باشد.

این نسبت تاثیر بسیار مهم خود را بر راندمان کاهش  $\text{NO}_x$  می‌گذارد. اگر  $\text{NSR}$  افزایش یابد کاهش  $\text{NO}_x$  در دمای بهینه افزایش می‌یابد ولی میزان  $\text{NH}_3$  در خروجی نیز بالا می‌رود.

<sup>۱</sup>. Normalized Stoichiometric Ratio



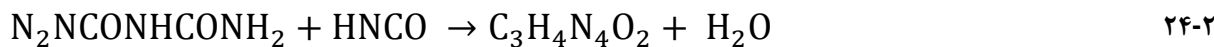
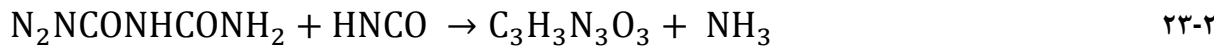
## ( NOXOut ) فرآیند تزریق اوره ۲-۲

### ۱-۲-۲ تجزیه اوره

بر طبق هندبوک‌های مواد نقطه ذوب اوره  $450^{\circ}\text{K}$  می‌باشد. اسکابر<sup>۱</sup> و همکارانش [21] بیان کردند که اوره در  $413^{\circ}\text{K}$  شروع به از دست دادن جرمش می‌کند و ۱۹ واکنش برای تجزیه حرارتی اوره با افزایش دما پیشنهاد کردند. ابتدا پودر اوره می‌تواند بخار شود و سپس HNCO در دمای  $425^{\circ}\text{K}$  در اطراف آن تشکیل می‌شود. بایروت<sup>۲</sup> از واکنش ایزوسیانوریک اسید با اوره مطابق واکنش ۲۲-۲ تشکیل می‌شود:



در  $448^{\circ}\text{K}$ ، سیانوریک اسید ( $\text{C}_3\text{H}_3\text{N}_3\text{O}_3$ ) و آملید ( $\text{C}_3\text{H}_4\text{N}_4\text{O}_2$ ) بر طبق واکنش‌های زیر تشکیل می‌شوند [21]:



با محصولات HNCO و  $\text{H}_2\text{O}$ ، که از واکنش ۲۴-۲ و ۲۵-۲ به دست آمده است. بعد از  $700^{\circ}\text{K}$ ، مطابق واکنش ۲۶-۲ HNCO مصرف شده و  $\text{NH}_3$  و  $\text{CO}_2$  تشکیل می‌شود.



فنگ<sup>۳</sup> و داکوستا<sup>۴</sup> [22] بر روی تجزیه حرارتی اوره مطالعه کردند. مخلوط اوره و بایروت در دمای  $473^{\circ}\text{K}$  پیدا شده بود. در دمای ۵۰۰ تا ۶۰۰ درجه کلوین جزء اصلی سیانوریک اسید است که به رنگ بژ کم رنگ است. اما آملین و آملید که رنگ بژ تیره دارند جزء اصلی در محدوده دمایی ۶۰۰ تا ۷۰۰ درجه کلوین هستند.

<sup>1</sup>. Schber

<sup>2</sup>. Biruet ( $\text{H}_2\text{NCONHCONH}_2$ )

<sup>3</sup>. Fang

<sup>4</sup>. Dacosta



۲۶-۲ HNCO و NH<sub>3</sub> محصولات تجزیه اوره خشک در شرایط خاص هستند [23]. به نظر می‌رسد واکنش در 593 °K اتفاق می‌افتد.



با این حال جودال<sup>۱</sup> و همکارانش برای دماهای بالا واکنش‌های دیگری پیشنهاد داده‌اند: NH<sub>3</sub> به جای می‌تواند حذف شده باشد [24].



بیلبائو<sup>۲</sup> حذف مستقیم رادیکال‌های NH<sub>2</sub> و H از اوره را پیشنهاد کرد. در صورت حضور آب اوره با آب واکنش می‌دهد [25].



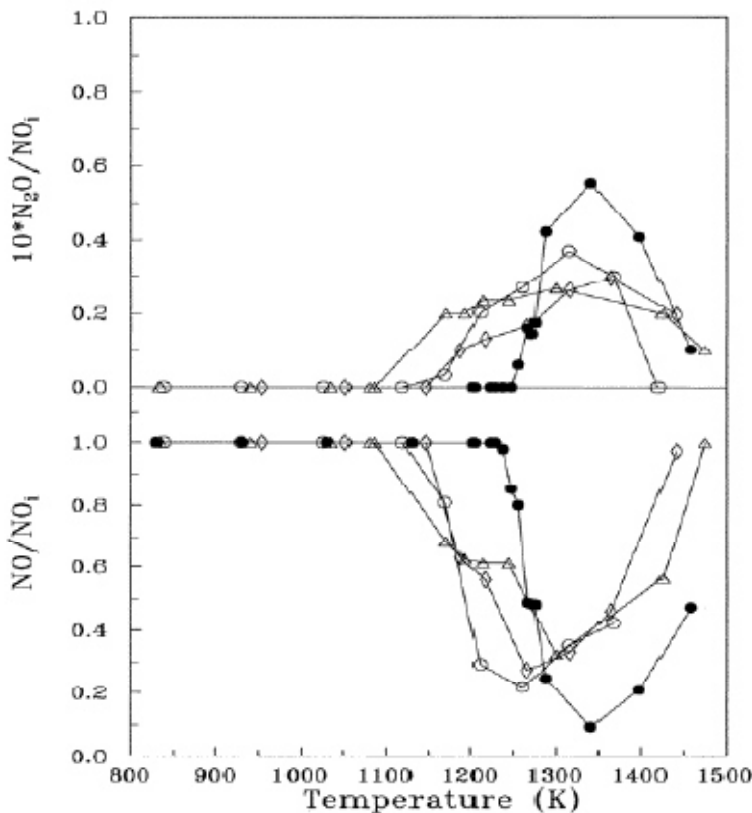
در نتایج آزمایشگاهی هنگامی که تجزیه حرارتی انجام شد، آمونیاک به‌دست آمده از مقدار نظری محاسبه شده کمتر بود [6].

## ۲-۲-۲ تأثیر غلظت اکسیژن

اگر غلظت اکسیژن کاهش یابد، NO بیشتری حذف می‌شود. و در کمترین غلظت اکسیژن همانطور که در شکل ۱۲-۲ مشاهده می‌شود بیشترین N<sub>2</sub>O تولید می‌شود [25].

<sup>1</sup>. Jodal

<sup>2</sup>. Bilbao



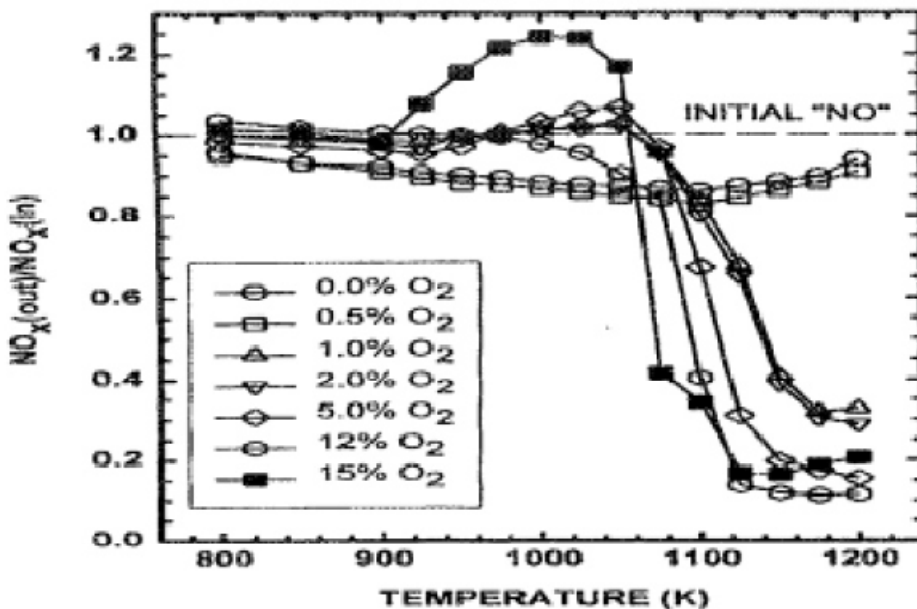
شکل ۱۲-۲: نمودار نتایج تجربی غلظت  $NO$  و  $N_2O$  بر حسب دما برای غلظت‌های متفاوت اکسیژن (دایره توپر، ۵ درصد اکسیژن، مثلث، ۱ درصد اکسیژن، لوزی، ۴ درصد اکسیژن و دایره توخالی ۱۰ درصد اکسیژن) [26]

سایوتسا<sup>۱</sup> و کاتون<sup>۲</sup> یک آزمایش کامل با غلظت‌های متفاوت اکسیژن انجام دادند. در این آزمایش، بیشترین کاهش  $NO_x$  در غلظت اکسیژن بین ۵ تا ۱۵ درصد با محدوده دمایی ۱۱۰۰ تا ۱۲۰۰ درجه کلوین بدست آمد [26].

شکل ۱۳-۲ نشان می‌دهد که در غلظت اکسیژن از ۰ تا ۵ درصد بیشترین کاهش  $NO_x$  بسیار کم شده است (۵ تا ۲۰ درصد). زمانی که اکسیژن اولیه افزایش یابد، محدوده دمایی کاهش  $NO_x$  به سمت دمای پایین‌تر میل می‌کند [26].

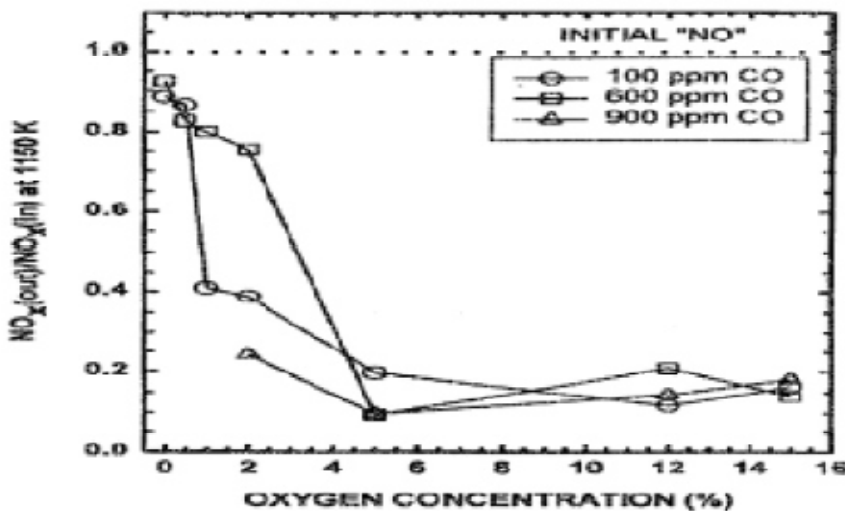
<sup>1</sup>. Srivatsa

<sup>2</sup>. Caton



شکل ۱۳-۲: نمودار NO حذف شده بر دمای واکنش برای ۷ مقدار متفاوت اکسیژن در 100 ppm کربن منواکسید و زمان اقامت 2.11 ثانیه [27]

نتنها افزایش غلظت اکسیژن بلکه افزایش محلول اوره نیز باعث افزایش کاهش NO می‌شود[6].

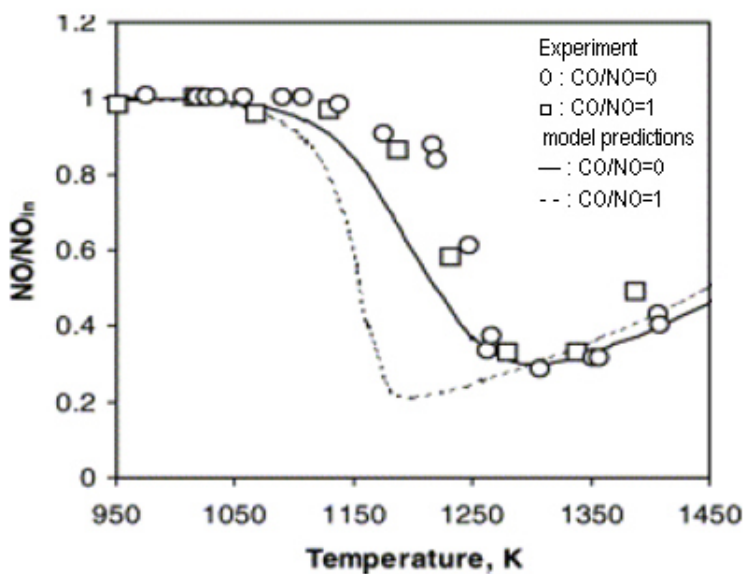


شکل ۱۴-۲: نمودار حذف NO<sub>x</sub> بر حسب غلظت اکسیژن با غلظت‌های متفاوت منواکسیدکربن [27]

### ۳-۴-۲ تأثیرات غلظت منوکسیدکربن (CO)

راجع به اثرات غلظت CO بر روی کاهش NO مطالعاتی انجام شده است [19][27][28]. حضور CO سبب افزایش نرخ تشکیل  $\text{NH}_2$  و نرخ اکسیداسیون  $\text{NH}_3$  به NO می‌شود [29]. حضور CO تحت شرایط کند مضر است ولی تحت شرایط سریع مفید است. زیرا میزان رادیکال‌ها را در دمای پایین افزایش می‌دهد [26]. شکل ۱۴-۲ نشان می‌دهد که اثرات CO واضح نیست و نمی‌توان از آن نتیجه‌های گرفت [29].

روتا<sup>۱</sup> و همکارانش اثر اضافه کردن مقداری CO، فقط در کاهش کم دمای محدوده حذف NO بیان کردند [30]. شکل ۱۵-۲ این موضوع را نشان می‌دهد.



شکل ۱۵-۲: اثر نسبت CO به NO<sub>x</sub> در حذف NO [30]

### ۴-۴-۲ تشکیل N<sub>2</sub>O و NO<sub>2</sub>

N<sub>2</sub>O محصول اساسی بستر احتراق است که منجر به تخریب لایه اوزون می‌شود. بنابراین این گاز جزء گازهای گلخانه‌ای بهشمار می‌آید. یک عامل نگران کننده و دغدغه امروزه بشر افزایش روز افزون N<sub>2</sub>O است.

<sup>1</sup>. Rota



حداکثر غلظت  $N_2O$  در نقاطی است که  $NO$  کمتری تشکیل شده باشد و بیشترین سطح  $N_2O$  در زمانی که غلظت اکسیژن کمترین باشد، به دست می‌آید [25].

مقدار  $N_2O$  تشکیل شده هنگامی که ماده احیا کننده اوره باشد در مقایسه با آمونیاک ۲ تا ۳ برابر بیشتر است [25]. مقدار  $N_2O$  بیشتر برای مواردی با تزریق اوره به دلیل وجود HNCO که از تجزیه اوره به وجود آمده، است. پری<sup>۱</sup> و همکارانش [5] چگونگی تشکیل  $N_2O$  از HNCO را مطابق واکنش‌های زیر پیشنهاد دادند:



ابتدا HNCO از تجزیه اوره تشکیل می‌شود، سپس  $NH^-$  و  $CO^-$  تجزیه شده و در آخر واکنش بین  $NH^-$  و  $CO^-$  منجر به تشکیل  $N_2O$  می‌شود.

گلاربورگ<sup>۲</sup> و همکارانش [31] بیان کردند که رادیکال NCO از HNCO المانی کلیدی برای کاهش NO مطابق واکنش‌های زیر می‌باشد و همچنین واکنش ۳۵-۲ تشكیل زیاد  $N_2O$  را از HNCO، ناشی از محلول اوره را نشان می‌دهد.



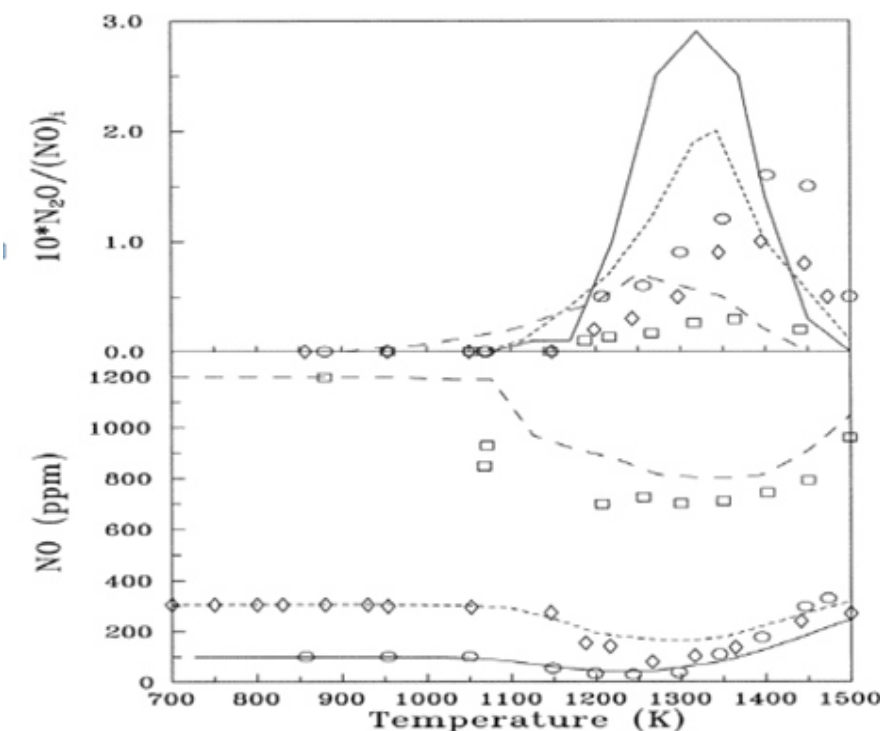
HNCO تشکیل شده از تجزیه اوره با رادیکال OH واکنش می‌دهد، بنابراین رادیکال NCO از واکنش ۳۱-۲ تشكیل و سپس رادیکال NCO با NO واکنش می‌دهد، NO به  $N_2$ ,  $N_2O$ ,  $CO$  و  $CO_2$  تبدیل می‌شود [25].

<sup>1</sup>. Perry

<sup>2</sup>. Glarborg



Symbols denote experimental results, and lines model calculations. solid lines:  
100 ppm NO, short-dashed lines: 300 ppm NO, long dashed lines: 1200 ppm NO  
(Inlet concentrations: 4% O<sub>2</sub>, 150 ppm urea, 4% H<sub>2</sub>O, N<sub>2</sub> to balance)



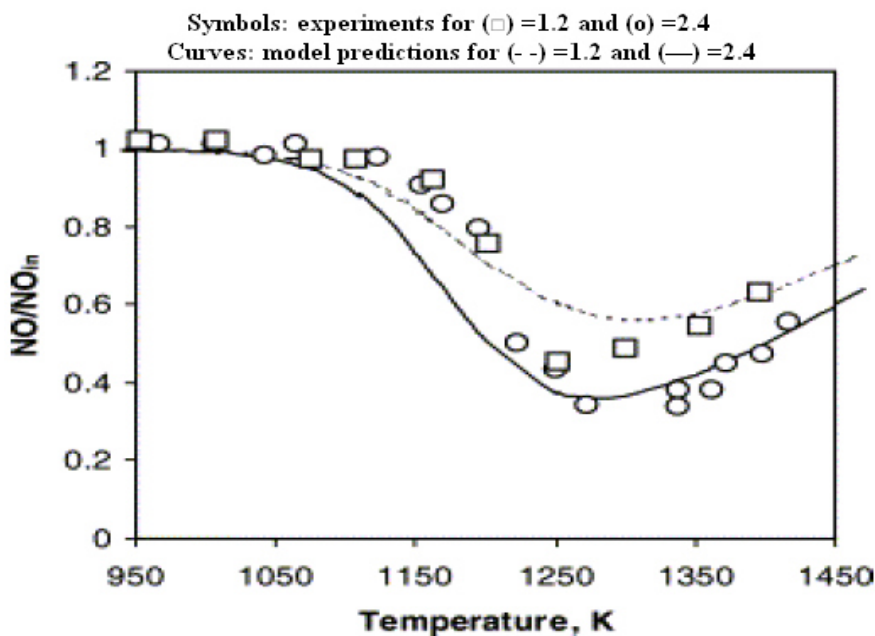
شکل ۱۶-۲: نتایج تجربی و نظری غلظت NO و N<sub>2</sub>O در نسبت اوره به NO اولیه متفاوت [26]

شکل ۱۶-۲ تفاوت نتایج تجربی با نظری را در محاسبه غلظت NO و N<sub>2</sub>O را در نسبت‌های NSR مختلف نشان می‌دهد [25].

## ۵-۲-۲ قاییر نسبت NSR

روتا<sup>۱</sup> و همکارانش برای دو مقدار NSR یک آزمایش تجربی انجام دادند. افزایش NSR منجر به کاهش بهتر NO می‌شود. که در شکل ۱۷-۲ نشان داده شده است [25].

<sup>۱</sup>. Rota



شکل ۱۷-۲: نتایج تجربی و نظری اثر NSR بر کاهش [26] NO

در آزمایش ایتا<sup>۱</sup>ا و همکارانش در محلول اوره ۴۰ درصد وزنی، کاهش NO تقریباً ۱۰۰ درصد در دمای بالای ۱۱۷۳ درجه کلوین بود. اما در ۱۰ درصد وزنی محلول اوره، NO فقط ۴۰ درصد، در دمای بالاتر از ۱۲۷۳ °K کاهش یافت[6].

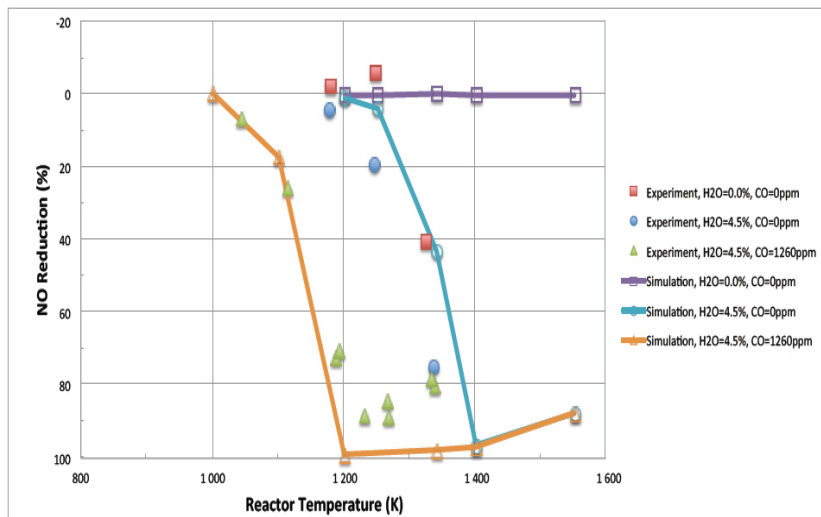
### ۳-۲ کاربرد روش‌های SNCR

در شرایطی که غلظت اکسیژن بسیار بالا و دما زیاد باشد استفاده از آمونیاک، نه تنها کاهش NO<sub>x</sub> را باعث نمی‌شود، بلکه منجر به تولید NO<sub>x</sub> هم می‌شود[32]. بورستروم<sup>۲</sup> و همکارانش مدل سینتیکی که شامل واکنش بود را برای شبیه‌سازی زباله‌سوز با تزریق سیانوریک اسید ارائه کردند[33].

نتایج این تحقیق نشان می‌دهد این مدل برای پیش‌بینی در شرایط اکسیژن زیاد و دمای بالاتر مناسب است. در همه‌ی شرایط نتایج تجربی بر شبیه‌سازی، غیر از حالتی که غلظت آب صفر است، منطبق است.

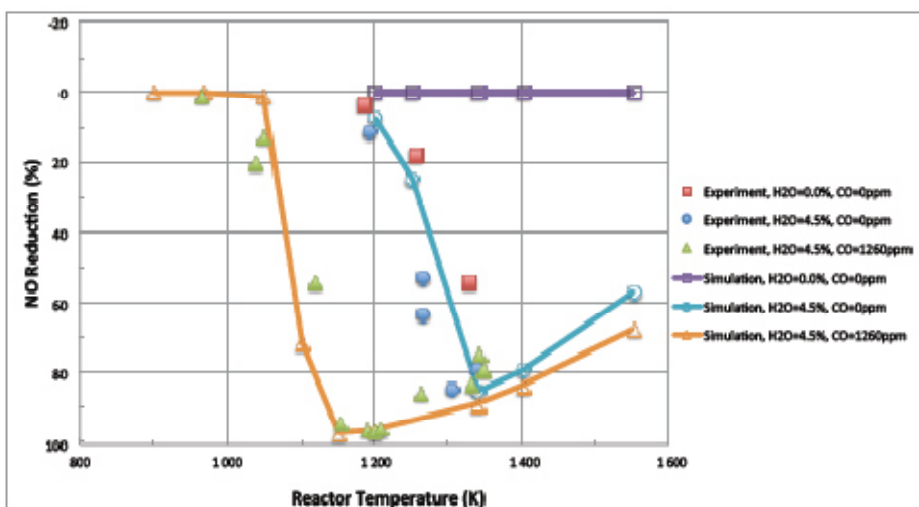
<sup>1</sup>. Itaya

<sup>2</sup>. Burstrom



شکل ۱۸-۲: نمودار حذف NO با استفاده از سیانوریک اسید بر حسب دمای واکنش برای غلظت اکسیژن ۱.۹ درصد و NO اولیه [23] 300 PPM

نتایج تجربی ارائه شده در شکل فوق، نتایج تجربی کاتون و سایبرز در سال ۱۹۸۹ است[23]. شکل ۱۸-۲ نتایج تفاوت بین نتایج تجربی و نتایج مدل شبیه‌سازی شده در غلظت‌ها متفاوت آب و CO نشان می‌دهد.



شکل ۱۹-۲: نمودار درصد حذف شده بر اثر تزریق اوره بر حسب دما (NO = 300 PPM) (Ghiasi et al., 2013)

## فصل دوم: مطالعات گذشتگان



دانشگاه صنعتی شهرورد

همانطور که در شکل ۱۹-۲ مشاهده می‌شود در ۱۲.۳ درصد  $O_2$  میزان خطا تقریباً صفر است [33]. در این مدل در دمای بالا اختلاف میزان HNCO که به صورت تجربی بدست آمده با مقدار شبیه‌سازی شده زیاد است [33]. سیانوریک اسید برای دمای بالاتر نسبت به اوره می‌تواند کاربردی‌تر باشد، ولی میزان کاهش  $NO_x$  آن نسبت به اوره کمتر است [34].

# **فصل سوم: معاذلات حاکم**



### ۱-۳ مقدمه

مدل سازی ریاضی عبارت است از کاربرد ریاضیات برای بیان رفتار سامانه های مختلف مهندسی بر اساس قوانین و اصول شناخته شده فیزیکی و شیمیایی. در چند دهه اخیر، با پیشرفت روش ها و فنون عددی و ظهور کامپیوترهای قوی به عنوان ابزار محاسباتی توانمند، حل مدل های ریاضی و شبیه سازی فرآیندهای مختلف به منظور شناخت رفتار سامانه ها توسعه قابل توجهی پیدا کرده است. بدیهی است از هیچ بررسی آزمایشگاهی نمی توان انتظار داشت تا چگونگی توزیع تمام متغیرها را روی تمام میدان اندازه بگیرد. شبیه سازی صحیح باعث کاهش تست های آزمایشگاهی شده و اجازه می دهد تا متغیرهای طراحی بیشتری مورد مطالعه قرار گیرد. این عامل کاهش هزینه را به دنبال خواهد داشت. علاوه بر این، در بسیاری از حالت ها مشکلات جدی اندازه گیری وجود داشته و وسایل اندازه گیری نیز عاری از خطای نمی باشند. بنابراین، حتی وقتی یک کار آزمایشگاهی انجام می شود، جهت تکمیل اطلاعات آزمایشگاهی بسیار با ارزش خواهد بود حل کامپیوتری همزمان با آن به دست آید [35].

نقشه شروع محاسبات در جریان های بدون احتراق حل معادلات ناویراستوکس می باشد. برای جریان های همراه با انتقال حرارت معادله انرژی اضافه می شود. تکمیل کننده این دسته از معادلات، معادلات بقاء، معادله حالت و مشخصات خواص سیال می باشند. برای گازهای ایدهآل و واقعی این معادلات به دینامیک سیال و ترمودینامیک جریان مرتبط هستند. با اضافه نمودن شرایط مرزی و اولیه به این معادلات، تحلیل یک جریان غیراحتراقی به طور کامل قابل بررسی می باشد. جریان های احتراقی شامل آزاد شدن انرژی حرارتی در اثر تبدیل گونه های شیمیایی به یکدیگر می باشند. این خصوصیات جریان های احتراقی نیاز به مدل سازی فرایند احتراق و اضافه نمودن آنها به معادلات ناویراستوکس را دارند. در این فصل معادلات حاکم بر فاز گاز و مایع و مدل سازی جریان دو فازی شرح داده می شوند و سپس مدل سازی اغتشاشات بررسی می شود و در آخر به بیان تئوری SNCR می پردازیم.

### ۲-۳ فرضیات حاکم

در ابتدا بایستی فرضیات حاکم بر مسئله بیان گردد.

فرضیات کلی مسئله عبارتند از:

## فصل سوم: معادلات حاکم



دانشگاه صنعتی شهرورد

۱. زباله‌های جامد در محفظه احتراق اولیه به طور کامل سوخته‌اند [36].
۲. در محفظه ثانویه زباله‌ها فقط به صورت گاز وجود دارد [36].
۳. در لحظه تزریق بلافاسله اوره به آمونیاک و ایزوسیانوریک اسید تجزیه می‌شود [37].
۴. صرفنظر کردن از اثرات تشعشع به دلیل اثر ناچیز آن بر پروفیل دما [36].

فرض سوم با توجه به تجزیه سریع اوره به آمونیاک و ایزوسیانیک اسید در ۴۰۶ درجه سانتی‌گراد [37] و دمای ۸۵۰ درجه محفظه احتراق، فرضی منطقی می‌باشد.

فرضیات اصلی حاکم بر معادلات فاز گاز (فاز پیوسته) عبارتند از:

۱. جریان پایدار است.
۲. از نوسانات چگالی صرف نظر شده است.

و فرضیات حاکم بر قطره مایع (فاز گسسته) عبارتند از:

۱. قطرات سوخت کروی فرض می‌شوند.
۲. اندازه قطر ذرات یکسان می‌باشد [36].

به دلیل کوچک بودن قطر ذرات سوخت در هر لحظه دمای آن در تمامی نقاطش یکسان فرض می‌شود.

فرآیند تبخیر فقط بعد از رسیدن دمای ذرات به دمای جوش صورت می‌پذیرد.

### ۳-۳ معادلات حاکم بر فاز گاز

معادلات حاکم بر فاز پیوسته عبارتند از معادلات بقاء جرم، اندازه حرکت، انرژی، گونه‌های شیمیایی، انرژی جنبشی اغتشاش و اتلاف آن می‌باشند. این معادلات در بخش‌های بعدی تشریح می‌شوند.

#### ۱-۳-۳ معادله پیوستگی

معادله پیوستگی برای جریان لحظه‌ای و قابل تراکم به شرح زیر است [38]:

$$\frac{\partial \hat{\rho}}{\partial t} + \frac{\partial}{\partial x_j} (\rho \hat{u}_j) = \hat{m}_v$$

۱-۳



که در آن  $\hat{m}_v$ ,  $\hat{u}_j$  و  $\hat{\rho}$  به ترتیب بیانگر مقادیر لحظه‌ای متغیرهای  $v$ ,  $u_j$  و  $\rho$  است. این قانون بیانگر این است که تفاضل شارهای ورودی و خروجی به حجم معینی از سیال، با مجموع نرخ تغییر چگالی سیال و نرخ جرم اضافه شده از تبخیر قطرات تزریق شده ( $\hat{m}_v$ ), در آن حجم، برابر می‌باشد.

### ۲-۳-۳ معادله اندازه حرکت

$$\frac{\partial(\hat{\rho}\hat{u}_j)}{\partial t} + \frac{\partial}{\partial x_j}(\rho\hat{u}_i\hat{u}_j) = \hat{S}_{ui} + \frac{\partial\hat{\sigma}_{ij}}{\partial x_j} \quad ۲-۳$$

که در آن

$$\begin{aligned} \hat{\sigma}_{ij} &= \hat{p} S_{ij} - \mu \left[ \frac{\partial \hat{u}_i}{\partial x_j} + \frac{\partial \hat{u}_j}{\partial x_i} \right] + \frac{2}{3} \mu \frac{\partial \hat{u}_i}{\partial x_j} S_{ij} \\ S_{ij} &= \begin{cases} 0, & i \neq j \\ 1, & i = j \end{cases} \end{aligned} \quad ۲-۳$$

و جمله  $\hat{S}_{ui}$  شامل نیروی جرمی و مولفه‌های مقاومت در امتداد  $i$  می‌باشد. در رابطه ۲-۳ فشار گاز از قانون گاز ایده‌آل به صورت زیر محاسبه می‌گردد [38].

$$p = \sum_{K=1}^N \rho y_K R_K T \quad ۴-۳$$

در رابطه فوق  $N$  تعداد جزء در مخلوط فاز پیوسته می‌باشد.

### ۳-۳-۳ معادله دیفرانسیلی کلی بقاء

با مروری بر شکل معادلات پیوستگی، اندازه حرکت و سایر معادلات بقاء، می‌توان کلیه آن‌ها را به صورت زیر ارائه نمود [35].

$$\frac{\partial}{\partial t}(\hat{\rho}\hat{\phi}) + \frac{\partial}{\partial x_j}(\hat{\rho}\hat{u}_j\hat{\phi}) = \frac{\partial}{\partial x_j} \left[ -\Gamma_\phi \frac{\partial \hat{\phi}}{\partial x_j} \right] + \hat{S}_\phi \quad ۵-۳$$

## فصل سوم: معادلات حاکم



دانشگاه صنعتی شهرورد

در معادلات فوق نماد  $(^{\wedge})$  مشخص کننده لحظه‌ای بدون متغیر است،  $\phi$  متغیر وابسته است و  $(\hat{\phi})$

بیانگر نرخ تغییرات زمانی،  $(\hat{\phi}_j \hat{u})$  بیانگر گرادیان شار جابجایی،  $\frac{\partial}{\partial x_j} \left[ -\Gamma_{\phi} \frac{\partial \phi}{\partial x_j} \right]$  بیانگر گرادیان

شار پخش و  $\hat{\Gamma}_{\phi}$  بیانگر تولید یا مصرف جمله چشمی یا چاه می‌باشد. همچنین  $\Gamma_{\phi}$  ضریب انتشار بوده که به صورت زیر تعریف می‌شود [35].

$$\Gamma_{\phi} = \frac{\mu_e}{\sigma_{\phi}} \quad 6-3$$

که در آن  $\mu_e$  لزجت مؤثر جریان مغذو شو و  $\sigma_{\phi}$  نسبت عدد پرانتل به عدد اشمیت برای هر یک از متغیرها می‌باشد.

### ۴-۳-۳ معادلات متوسط زمانی

معادلات بیان شده معادلات دقیق لحظه‌ای (وابسته به زمان) می‌باشند که در هر دو جریان آرام و متلاطم قابل استفاده می‌باشند. اگر امکان حل مستقیم این معادلات وجود داشت، تمام جزئیات حرکت متلاطم جریان به دست می‌آمد. اما غیرخطی بودن، مرتبط بودن و وجود جملاتی با مشتق مرتبه دوم در معادلات ناویراستوکس وابسته به زمان، حل تحلیلی آن‌ها را غیر ممکن می‌کند. از طرفی بکارگیری روش‌های عددی نیز مستلزم استفاده از شبکه بسیار ریز و تکرار حل معادلات در زمان‌های خیلی کم می‌باشد که ناشی از تغییرات کوچک در مقدار  $\phi$  است. اما از آنجا که در بخش عمده‌ای از مسائل مهندسی، نوسانات ریز متغیرها مدنظر نبوده و مقادیر متوسط متغیرهای میدان کافی و مناسب است، بنابراین می‌توان توجه را به متوسط زمانی متغیرها معطوف نمود. با این انتخاب، دیگر به تکرار حل معادلات در زمان‌های بسیار نزدیک و متوالی، نیازی نبوده و بکارگیری شبکه بسیار ریز، ضروری نمی‌باشد. بنابر آنچه که به تجزیه رینولدز معروف است، کمیتهای لحظه‌ای مانند سرعت‌ها، جرم مخصوص و فشار می‌توانند به مقادیر میانگین و نوسانی خود تجزیه شوند:

$$\hat{\phi} = \phi + \phi' \quad 7-3$$

## فصل سوم: معادلات حاکم



دانشگاه صنعتی شهرورد

با محاسبه متوسط زمانی کمیت ها و با درنظر گرفتن لازمه پایا بودن حرکت میانی، یعنی  $\frac{\partial}{\partial t} = \circ$ ، در نهایت معادلات ۱-۳، ۲-۳ و ۵-۳ به صورت زیر تبدیل خواهند شد.

• معادله پیوستگی

$$\frac{\partial}{\partial x_j} (\rho u_j + \overline{\rho' u'_j}) = \circ \quad 8-3$$

• معادله اندازه حرکت

$$(\rho u_j + \overline{\rho' u'_j}) \frac{\partial u_i}{\partial x_j} + \frac{\partial}{\partial x_j} (\rho \overline{u'_i u'_j} + u_j \overline{\rho' u'_i} + \overline{\rho' u'_i u'_j}) = \frac{\partial \bar{\sigma}_{ij}}{\partial x_j} + S_{ui} \quad 9-3$$

که در آن:

$$\bar{\sigma}_{ij} = -p S_{ij} + \mu \left[ \frac{\partial u_i}{\partial x_j} + \frac{\partial u_j}{\partial x_i} \right] - \frac{2}{3} \mu \frac{\partial u_i}{\partial x_j} S_{ij} - \frac{2}{3} \mu' \frac{\partial u'_i}{\partial x_j} S_{ij} + \mu' \left[ \frac{\partial u'_i}{\partial x_j} + \frac{\partial u'_j}{\partial x_i} \right] \quad 10-3$$

• معادله دیفرانسیلی کلی بقاء

$$(\rho u_j + \overline{\rho' u'_j}) \frac{\partial \phi}{\partial x_j} + \frac{\partial}{\partial x_j} (\rho \overline{u'_j \phi'} + \overline{\rho' u'_j \phi'} + u_j \overline{\rho' \phi'}) = \frac{\partial J_{\phi,j}}{\partial x_j} + S_\phi \quad 11-3$$

در روابط فوق نماد (-) نشان‌دهنده میانگین زمانی می‌باشد. میانگین زمانی یک کمیت لحظه‌ای  $\hat{u}$  به صورت زیر تعریف می‌شود.

$$\bar{u} = \frac{1}{T} \int_0^T \hat{u} dT \quad 12-3$$

به سادگی ثابت می‌شود که میانگین زمانی یک کمیت نوسانی مانند  $u'$  مساوی صفر است.

$$\bar{u}' = \frac{1}{T} \int_0^T u' dt = \circ \quad 13-3$$



## فصل سوم: معادلات حاکم

در معادله ۱۱-۳،  $J_{\phi,j}$  شار پخشی  $\phi$  در امتداد  $i$  است و می‌تواند به وسیله قانون فیک به صورت زیر بیان شود.

$$J_{\phi,j} = -\Gamma_{\phi,l} \frac{\partial \phi}{\partial x_j} \quad ۱۴-۳$$

معادلات ۸-۳ تا ۱۱-۳ متوسط زمانی همبستگی نوسانات متغیرها که با علامت (-) در بالای جملات آنها نشان داده شده، نیاز به مدل‌سازی ریاضی دارد. اغلب، برای سادگی از نوسانات جرم مخصوص در معادلات بقاء صرفنظر شده و معادلات ۸-۳، ۹-۳ و ۱۱-۳ به صورت زیر نوشته می‌شوند.

$$\frac{\partial}{\partial x_j} (\rho u_j) = 0 \quad ۱۵-۳$$

$$\frac{\partial}{\partial x_j} (\rho u_i u_j) = -\frac{\partial p}{\partial x_j} S_{ij} + \frac{\partial}{\partial x_j} \mu \left[ \frac{\partial u_i}{\partial x_j} + \frac{\partial u_j}{\partial x_i} \right] + \frac{\partial}{\partial x_j} (-\rho \bar{u'_i} \bar{u'_j}) \quad ۱۶-۳$$

$$\frac{\partial}{\partial x_j} (\rho u_j \phi) = \frac{\partial}{\partial x_j} \left[ \Gamma_\phi \frac{\partial \phi}{\partial x_j} \right] + \frac{\partial}{\partial x_j} (-\rho \bar{u'_j} \bar{\phi'}) \quad ۱۷-۳$$

در معادله ۱۶-۳ جملات  $\bar{u'_i} \bar{u'_j}$  نشان‌دهنده تراپری اندازه حرکت به وسیله حرکت‌های متلاطم جریان است و جملات  $\rho \bar{u'_i} \bar{u'_j}$  - به عنوان «تنش‌های متلاطم» یا «تنش‌های رینولدز» شناخته می‌شوند. در حالی که جملات  $\rho \bar{u'_j} \bar{\phi'}$  - در معادله ۱۷-۳ که تراپری اسکالر  $\phi$  را به وسیله حرکت اغتشاشی نشان می‌دهند، «شارهای متلاطم» نامیده می‌شوند.

معادلات ۱۵-۳ و ۱۶-۳ که از معادله پیوستگی و سه معادله اندازه حرکت تشکیل شده‌اند شامل چهار مجهول  $w$  و  $v$  و  $u$  و  $p$  می‌باشند. از طرفی معادله ۱۶-۳ حاوی ۶ مؤلفه تنش رینولدز  $\bar{u'_i} \bar{u'_j}$  است که مجهول هستند. بنابراین، معادلات ۱۵-۳ و ۱۶-۳ که در واقع معادلات حاکم بر میدان جریان می‌باشند را نمی‌توان حل کرد چرا که تعداد مجهولات بیش از تعداد معادلات است. لذا، لازم است تنش‌های رینولدز بر حسب کمیت‌هایی که معلوم و یا قابل محاسبه می‌باشند، مدل سازی شوند تا امکان حل معادلات میدان جریان فراهم شود. این وظیفه بر عهده مدل‌های توربولانس است. مدل‌های توربولانس مختلفی با میزان پیچیدگی



و توانایی متفاوتی ارائه شده است. در بخش ۳-۴-۳ این فصل، به یکی از این مدل‌ها که در این پایان‌نامه استفاده شده، اشاره خواهیم کرد. همچنین شاره‌ای متلاطم را می‌توان به صورت زیر مدل کرد [35].

$$-\rho \overline{u'_j \phi'} = \Gamma_{\phi,t} \frac{\partial \phi}{\partial x_j} \quad 18-3$$

که در این رابطه،  $\Gamma_{\phi,t}$  ضریب تبادل مغشوش است.

### ۴-۳ معادلات حاکم بر فاز مایع

در بسیاری از فرایندهای احتراق عملی سوخت حالت جامد یا مایع دارد که در جریان احتراق ابتدا به حالت فاز گاز تبدیل شده و سپس می‌سوزد. مثال‌های احتراق سوخت مایع شامل آنچه در موتورهای جت هواپیما، موتورهای دیزل و کوره‌های سوخت مایع وجود دارد، می‌باشد. مثال‌های احتراق سوخت جامد شامل احتراق زغال سنگ، چوب، پلاستیک‌ها و زباله می‌باشد. طبیعتاً توجه اضافی به تغییر فاز و مرز فاز، منتهی به این نوع فرایندهای احتراق می‌شود که از آنها نسبت به فرایندهای احتراق در فاز گاز شناخت کمتری موجود است.

احتراق سوختهای مایع معمولاً به وسیله تزریق سوخت مایع از یک روزنه به داخل محیط احتراق فاز گاز انجام می‌شود. با انتقال گرما به قطره فشار بخار آن افزایش می‌یابد و بنابراین تبخیر مایع تزریق شده به داخل گاز را افزایش می‌دهد، تا افروزش فاز گاز شروع شود مهم است توجه شود که سرانجام بخار و نه خود مایع، می‌سوزد.

تعیین مسیر قطره مایع تزریق شده و سرعت آن از اهمیت خاصی برخوردار است. رفتار قطرات مایع از طریق دما، جرم، موقعیت، سرعت اولیه و بالانس نیروهای خارجی مانند نیروهایی که از طرف سیال وارد می‌شود قابل ارزیابی است. مسیر حرکت قطره مایع در محفظه احتراق به وسیله حل کردن روابط حرکت قطره قابل حصول می‌باشد. برای تحلیل ریاضی رفتار قطره مایع (فاز گسسته) دو روش اویلر و لاگرانژ وجود دارد.

در روش اویلری، معادلات برای کل شبکه حل می‌شود. (در تمام گره‌ها محاسبات انجام می‌شود). به عنوان مثال در روش اویلری برای سادگی در حل، یک غلظت تعیین می‌گردد و برای تمام گره‌ها این غلظت محاسبه می‌شود. اما در روش لاگرانژی یک حجم کنترل (که ذرات هستند) دنبال می‌شود. در روش لاگرانژی ذرات سیال به طور انفرادی تحلیل می‌شوند. در این روش یک ذره تعقیب می‌شود و تغییرات

## فصل سوم: معادلات حاکم



دانشگاه صنعتی شهرورد

سرعت، چگالی و سایر ویژگی‌های آن ذره نسبت به زمان مطالعه می‌شود. روش لاغرانژی در مقایسه با روش اویلری، به دلیل سادگی فرموله کردن معادلات فاز پراکنده و نیاز به حافظه و تلاش محاسباتی کمتر، ارجحیت دارد. در این تحقیق برای فاز گاز (فاز پیوسته)، از روش اویلری و برای قطره مایع (فاز گسسته) از سیستم لاغرانژی استفاده شده است.

### ۱-۴-۳ معادلات اندازه حرکت قطره مایع (فاز گسسته)

با توجه به تاثیر گذار بودن فاز پیوسته (فاز گاز) بر مسیر حرکت قطرات مایع (فاز ناپیوسته)، کوپل شدن فاز پیوسته با فاز گسسته بسیار مهم می‌باشد. محاسبه خط مسیر فاز گسسته با استفاده از فرمولبندی لاغرانژی که شامل نیروهای اینرسی، درگ و ثقلی می‌باشد، میسر است.

معادلات اندازه حرکت، از موازنی نیروهای خارجی واردہ بر قطره، یعنی نیروی وزن، نیروی درگ و نیروی گریز از مرکز به صورت زیر بیان می‌شود [39].

$$\frac{du_{p_i}}{dt} = -F_D(u_{p,i} - u_{f,i}) + \frac{g_{xi}(\rho_p - \rho_f)}{\rho_p} + F_{xi} \quad 19-3$$

که در آن  $u_f$  سرعت متوسط محوری گاز،  $u_p$  سرعت متوسط محوری قطره سوخت و  $F_{xi}$  نیروهای دیگر می‌باشند. عبارت  $(F_D(u_p - u_f))$  نیروی درگ بر واحد جرم است که  $F_D$  از رابطه زیر تعیین می‌شود.

$$F_D = \left( \frac{18\mu}{\rho_p d_p^2} \right) \left( \frac{C_D \text{Re}}{24} \right) \quad 20-3$$

در رابطه ۲۰-۳،  $\mu$  لزجت گاز،  $\rho_p$  چگالی قطره و  $d_p$  قطر قطره می‌باشند.  $C_D$  و  $\text{Re}$  نیز به ترتیب ضریب درگ و عدد رینولدز محلی می‌باشند که به ترتیب از روابط ۲۱-۳ و ۲۲-۳ بدست می‌آیند.

$$C_D = 27 \text{Re}^{-0.84} \quad 21-3$$

$$\text{Re} = \rho_p d_p \frac{|u_p - u_f|}{\mu} \quad 22-3$$



### ۲-۴-۳ معادله بقای انرژی حاکم بر قطره مایع

فرض شده است فاز دوم به صورت ذرات کروی (قطرات) در فاز گاز پراکنده شده است. در سیستم لاغرانژی، معادلات تغییر مکان و تغییر سرعت هر گروه  $i$  از قطرات به صورت زیر می‌باشد [40].

$$\frac{d\vec{X}_{di}}{dt} = \vec{U}_{di} \quad ۲۳-۳$$

$$m \frac{d\vec{X}_{di}}{dt} = \frac{\pi}{8} D_d^2 \rho_d C_d (\vec{U}_d - \vec{U}_F) \left| \vec{U}_d - \vec{U}_F \right| + m_i \vec{g} \frac{(\rho_d - \rho)}{\rho_d} + \vec{F} \quad ۲۴-۳$$

که در آن  $m$  جرم قطره،  $U_F$  سرعت گاز،  $U_d$  سرعت قطره،  $D_d$  قطر قطره،  $\rho$  چگالی سوخت،  $g$  شتاب ثقل،  $F$  نیروی گریز از مرکز حاصل از حرکت چرخشی قطره و  $C_d$  ضریب درگ است.

دماهی قطره ( $T_d$ ) که با ورود به محفظه احتراق در اثر انتقال حرارت جابجایی و تابشی گرم می‌شود، از رابطه زیر به دست می‌آید.

$$m_d C_p \frac{dT_d}{dt} = h A_d (T_\infty - T_d) + E_d A_d \sigma (T_R^4 - T_d^4) \quad ۲۵-۳$$

که در آن  $m_d$  جرم قطره ( $kg$ )،  $C_p$  گرمای ویژه قطره ( $J/Kg.K$ )،  $A_d$  مساحت سطح قطره،  $T_\infty$  دماهی محلی گاز ( $K$ )،  $h$  ضریب جابجایی انتقال حرارت ( $W/m^2K$ )،  $E_d$  ضریب انتشار قطره (بی‌بعد)،  $\sigma$  ثابت بولتزمن و  $T_R$  دماهی تابش است.

با توجه به فرضیات از پارامتر تابش در رابطه  $E_d A_d \sigma (T_R^4 - T_d^4)$  صرفنظر می‌شود. در نتیجه داریم:

$$m_d C_p \frac{dT_d}{dt} = h A_d (T_\infty - T_d) \quad ۲۶-۳$$

مقدار  $h$  با توجه به کار رانز و مارشال [32] از رابطه زیر محاسبه می‌شود

$$Nu = \frac{h D_d}{K_\infty} = 2 + 0.6 Re^{1/2} Pr^{1/3} \quad ۲۷-۳$$

که در آن  $D_d$  قطر قطره ( $m$ )،  $K_\infty$  ضریب هدایت گاز ( $W/m.K$ )،  $Re$  عدد رینولدز و  $Pr$  عدد پرانتل فاز گاز است. تبادل جرم بین دو فاز پس از آنکه دماهی قطره به دماهی تبخیر رسید انجام می‌شود. نرخ تبخیر



## فصل سوم: معادلات حاکم

سوخت تابعی از غلظت بخار در سطح قطره و همچنین غلظت بخار سوخت در فاز گاز اطراف قطره می باشد [41].

$$N_{fu} = K_c \left( \frac{P_{sat}}{RT_d} - X_{fu} \cdot \frac{P_{op}}{RT_\infty} \right) \quad 28-3$$

که در آن  $N_{fu}$  شار مولی بخار ( $mol/m^2.s$ ),  $K_c$  ضریب تبادل جرم ( $m/s$ ),  $P_{sat}$  فشار بخار اشباع سوخت در دمای قطره ( $T_d$ ),  $R$  ثابت گازها,  $X_{fu}$  کسر مولی سوخت در گازهای اطراف قطره,  $P_{op}$  و  $T_\infty$  به ترتیب فشار و دمای گازها می باشند. ضریب تبادل جرم از رابطه زیر بدست می آید [41].

$$K_c = \frac{\Gamma_{fu}}{D_u} (0.2 + 0.6 \text{Re}^{1/2} S_C^{1/3}) \quad 29-3$$

که در آن  $\Gamma_{fu}$  ضریب پخش بخار سوخت در فاز گاز ( $m^2/S$ ),  $S_C$  عدد اشمیت است. شار بخار به دست آمده از معادله ۲۹-۳ به عنوان بخشی از جمله چشممه معادله انتقال گونه سوخت استفاده می شود و جرم قطره از رابطه زیر محاسبه می شود.

$$m_d(t + \Delta t) = m_d(t) - N_{fu} A_d M_{fu} \Delta t \quad 30-3$$

که در آن  $M_{fu}$  وزن مولکولی سوخت است. در این حالت دمای قطره از رابطه زیر محاسبه می شود.

$$m_d c_p \frac{dT_d}{dt} = h A_d (T_\infty - T_d) + \frac{dm_d}{dt} h_{fg} \quad 31-3$$

که در آن  $h_{fg}$  گرمای نهان سوخت ( $J/kg$ ) است.

در صورتیکه تمام جرم قطره قبل از رسیدن به دمای جوش تبخیر نشود و جرم باقیمانده آن به دمای جوش سوخت ( $T_{db}$ ) برسد، با فرض ثابت بودن دمای قطره، نرخ جوش برای آن، به صورت زیر بیان می شود.

$$-\frac{dm_d}{dt} h_{fg} = h A_d (T_\infty - T_d) \quad 32-3$$

انرژی لازم برای تبخیر قطره با علامت منفی در جمله چشممه معادله انرژی برای فاز گاز وارد می گردد.



### ۳-۴-۳ مدل‌سازی تلاطم

اغلب جریان‌هایی که در طبیعت و صنعت رخ می‌دهد از نوع جریان‌های متلاطم بوده و محاسبه و پیشگویی رفتار این جریان‌ها نیاز به مدل‌سازی ریاضی دارد. حرکت متلاطم جریان در بسیاری از فرایندهای فیزیکی و شیمیایی و از جمله آهنگ انتقال اندازه حرکت، آهنگ انتقال گرما، سرعت واکنش‌های شیمیایی، آهنگ تبخیر قطرات و تشکیل آلاینده‌ها تأثیر قابل توجهی دارد. جریان متلاطم طیف وسیعی از اندازه‌های مختلف گردابها که به شدت تابع زمان می‌باشند، شامل می‌شود. وجود حرکت‌های گردابهای در داخل جریان‌های متلاطم موجب شده است که این جریان‌ها بسیار مصرف کننده (تلف‌کننده) انرژی بوده و بر بیان مدل ریاضی آنها مؤثر باشد. همچنین حرکت نوسانی و بسیار وابسته به زمان گردابهای رینولدز نامیده می‌شوند. برای محاسبه های کوچک زمانی و مکانی رخ می‌دهد، موجب شده است که حل عددی این نوع جریان با مشکل نیاز به شبکه‌های ظریف محاسبات و نیز گامهای زمانی بسیار کوچک مواجه باشد. معادلات حاکم بر جریان مغذوش، شامل مجھولات جدیدی به شکل  $\overline{u_i} \overline{u_j}$  بوده که تنش‌های رینولدز نامیده می‌شوند. برای محاسبه این تنشها از مدل‌سازی اغتشاشات استفاده می‌شود. در حقیقت، یک مدل اغتشاش، مدلی است که به تعداد مجھولات ناشی از اغتشاش جریان ( $\overline{u'_i u'_j}$ ), به معادلات حاکم، اضافه می‌کند تا دستگاه معادلات حاکم بر جریان، قابل حل شود. به طورکلی، مدل‌های اغتشاش را می‌توان به دو گروه مدل‌هایی که از مفهوم لزجت گردابهای استفاده می‌کنند و مدل‌هایی که تنش‌های رینولدز را مستقیماً به دست می‌آورند، تقسیم‌بندی کرد [35].

مفهوم لزجت گردابهای یا تلاطمی بیش از یکصد سال پیش به وسیله بوسینسک<sup>1</sup> برای نخستین بار بیان شد. این مفهوم فرض می‌کند که تنش‌های رینولدز مانند تنش‌های ناشی از لزجت در جریان آرام رفتار می‌کند. بوسینسک تنش‌های رینولدز را از طریق یک لزجت متلاطم ( $\mu$ ) به میانگین زمانی سرعت‌ها ارتباط داد [35].

$$-\rho \overline{u'_i u'_j} = \mu_t \left[ \frac{\partial u_i}{\partial x_j} + \frac{\partial u_j}{\partial x_i} \right]$$

۲۳-۳

<sup>1</sup> Joseph Boussinesq

## فصل سوم: معادلات حاکم



اما چون رابطه فوق برای جریان سیال غیرقابل تراکم نتیجه غیرقابل قبول  $\overline{u'_i u'_j} = 0$  را می‌دهد، رابطه بین تنش‌های تلاطم و گرادیان‌های سرعت‌های میانگین به صورت زیر باید نوشته شود.

$$-\rho \overline{u'_i u'_j} = \mu_t \left[ \frac{\partial u_i}{\partial x_j} + \frac{\partial u_j}{\partial x_i} \right] - \frac{2}{3} \rho k S_{ij} \quad ۳۴-۳$$

که در رابطه فوق  $k$  انرژی جنبشی تلاطم بر واحد جرم است و با استفاده از رابطه زیر تعریف می‌شود.

$$k = \frac{1}{2} \overline{u'_i u'_j} = \frac{1}{2} (u_1'^2 + u_2'^2 + u_3'^2) \quad ۳۵-۳$$

$S_{ij}$  دلتا کرونکر است.

معرفی  $\mu$  و نحوه بیان آن بر حسب کمیت‌های معلوم یا قابل محاسبه، مدل‌های تلاطم زیادی را به وجود آورده. طبقه‌بندی مناسب این نوع مدل‌های تلاطم بر پایه تعداد معادلات دیفرانسیلی است که برای هر مدل باید حل شوند تا لزجت تلاطمی به دست آید. ساده‌ترین مدل‌های تلاطم، رابطه‌ای جبری برای تعیین  $\mu$  به کار می‌برند (بدون حل هیچ معادله دیفرانسیلی). این دسته از مدل‌های تلاطم را مدل‌های صفر معادله‌ای می‌نامند.

موفق‌ترین این مدل‌ها، مدل سال ۱۹۲۵ پرانتل می‌باشد که به فرضیه طول آمیختگی معروف است. مدل‌های تلاطمی که در آنها تعیین  $\mu$  به وسیله حل یک معادله دیفرانسیلی انجام می‌شود، مدل‌های یک معادله‌ای نامیده می‌شوند. با این استدلال که انرژی جنبشی تلاطم ( $k$ ) معیاری مستقیم برای شدت نوسان‌های تلاطمی در سه جهت می‌باشد، و همچنین چون لزجت گردابه‌ای یک خاصیت از حرکت متلاطم جریان است، از نظر فیزیکی مناسب به نظر می‌رسد که جذر  $k$  به عنوان مقیاس سرعت مورد استفاده قرار گیرد.

گرچه مدل‌های یک معادله‌ای نتایج بهتری به ویژه در پیشگویی جریان با تقارن محوری در لوله‌ها و نیز جریان بین دو لوله هم محور در مقایسه با مدل‌های صفر معادله‌ای می‌دهند، اما این دو مدل اثرات ترابری تلاطم را روی طول آمیختگی در محاسبات وارد نمی‌کنند. به علاوه، با توجه به این که مشخص کردن مقیاس طول به طریق تجربی در جریان‌های پیچیده مشکل است، کاربرد این مدل‌ها اساساً محدود به جریان‌های برشی ساده می‌شود [35].

## فصل سوم: معادلات حاکم



دانشگاه صنعتی شهرورد

مدل اغتشاش به کار رفته در این پژوهش، مدل  $\epsilon - k$ -استاندارد یک مدل نیمه تجربی دو معادله‌ای است که برپایه معادلات مدل شده برای انرژی جنبشی تلاطم  $k$  و اتلاف آن  $\epsilon$  بیان شده است. معادله مدل شده برای  $\epsilon$  برپایه استدلال تجربی بیان شده است. اما معادله مدل شده برای  $k$ ، یک معادله تحلیلی است. مدل  $\epsilon - k$ -استاندارد برای جریان کاملاً مغشوش بسیار مناسب است.

در مدل دو معادله‌ای  $\epsilon - k$ ،  $k$  از معادله دیفرانسیل زیر به دست می‌آید.

$$\frac{\partial}{\partial t}(\rho k) + \operatorname{div}(\rho u k) = \operatorname{div}(\Gamma_k \operatorname{grad} k) + G - \rho \epsilon \quad ۳۶-۳$$

که در آن  $\Gamma_k$  نمایانگر ضریب پخش برای  $k$ ،  $G$  نشان دهنده میزان تولید انرژی تلاطم و  $\epsilon$  نمایان گر میزان هدر رفتن انرژی جنبشی تلاطم است که متناسب با طول آمیختگی و انرژی تلاطم است و به صورت زیر ارائه می‌شود.

$$l = C_\mu \frac{k^{3/2}}{\epsilon} \quad ۳۷-۳$$

که در آن  $C_\mu$  یک ثابت است و مقدار آن به روش آزمایشگاهی به دست می‌آید (ممولاً برای  $C_\mu$  مقدار ۰.۰۹ استفاده می‌شود). در رابطه فوق  $\epsilon$  از یک معادله تراابری به شکل زیر محاسبه می‌شود.

$$\frac{\partial(\rho \epsilon)}{\partial t} + \operatorname{div}(\rho \vec{u} \epsilon) = \operatorname{div} \left[ \frac{\mu_t}{\sigma_\epsilon} \operatorname{grade} \epsilon \right] + C_1 \frac{\epsilon}{k} G - C_2 \rho \frac{\epsilon^2}{k} \quad ۳۸-۳$$

که در آن  $G$  نشان دهنده میزان تولید انرژی تلاطم  $k$  از جریان میانی به وسیله تنش‌های برشی تلاطمی است،  $C_1$ ،  $C_2$  و  $\sigma_\epsilon$  ثابت‌های مدل تلاطم می‌باشد و برای مدل  $\epsilon - k$ -استاندارد به ترتیب دارای مقادیر ۱.۴۴ و ۱.۹۲ می‌باشد. با جایگذاری معادله ۳۷-۳ در رابطه کلموگرف-پرانتل ( $\rho k^{1/2} l = \mu_t$ )، لزجت متلاطم از رابطه زیر بدست می‌آید.

$$\mu_t = \rho C_\mu \frac{k^2}{\epsilon} \quad ۳۹-۳$$

این مدل دو معادله‌ای به نام مدل تلاطم استاندارد  $\epsilon - k$ -شناخته می‌شود. این مدل استفاده وسیعی در محاسبه جریان‌های متلاطم ساده که در آنها امکان مشخص کردن مقیاس طول به طریق تجربی نبوده است، داشته است. همچنین، دقت این مدل نسبتاً ساده مورد تأیید بسیاری از پژوهشگران قرار گرفته است [35].



### ۳-۵ مدل‌سازی احتراق

احتراق و جریان‌های واکنشی در بسیاری از وسایل مهندسی مانند کوره‌ها، موتورهای احتراق داخلی، توربین‌های گاز، موشک‌ها و وسایل خانگی مورد استفاده قرار می‌گیرد. امروزه، طراحی وسایل با «احتراق تمیز» و بدون آلاینده و همچنین بازده بالا از اهداف پژوهشگران و طراحان سیستم‌های احتراقی می‌باشد. استفاده از روش‌های پیشرفته محاسباتی و مدل‌سازی دقیق رفتار جریان‌های احتراقی می‌تواند به عنوان یک ابزار مهم مورد استفاده طراحان قرار گیرد.

در شبیه‌سازی دقیق جریان‌های احتراقی، مدل احتراق نقش اساسی دارد. زیرا، علاوه بر تعیین مقدار گونه‌ها و محصولات احتراق، آهنگ آزاد شدن انرژی حاصل از ترکیب سوخت و اکسیدکننده را نیز تعیین می‌کند. آهنگ آزاد شدن انرژی در اثر پیشرفت واکنش‌های احتراقی بر مقدار و توزیع دما در نقاط مختلف مؤثر است و دمای هر نقطه بر رفتار جریان از جمله مؤلفه‌های سرعت، فشار و مشخصات سیال در آن نقطه مؤثر است. سرعت پیشرفت واکنش‌های شیمیایی و آزاد شدن گرما به سرعت ترکیب واکنش دهنده‌ها بستگی دارد و آهنگ واکنش تابع عوامل مختلف از جمله چگونگی اختلاط سوخت و هوا، غلظت واکنش‌دهنده‌ها، دمای محفوظه احتراق و غیره می‌باشد. یک مدل احتراق مناسب لازم است تا اثر تمام این عوامل را منظور نماید. به طور کلی دو وظیفه مهم مدل‌های احتراق را می‌توان به صورت زیر بیان کرد [35]:

۱- تعیین تغییرات شیمیایی در مواد شرکت کننده در احتراق

۲- تعیین سرعت رخدادن تغییرات شیمیایی مذکور و آزاد شدن انرژی.

همچنین مدل‌های احتراق را با توجه به سرعت پیشرفت واکنش‌ها می‌توان به دو طبقه کلی تقسیم کرد که هر طبقه خود به دو گروه تقسیم می‌شود.

الف: مدل‌ها با سرعت محدود

۱- مدل آرنیوس

۲- مدل مگنسن



ب: مدل‌های با شیمی سریع

۱- مدل یک مرحله‌ای «آمیخته می‌شود، می‌سوزد»

۲- مدل کسر آمیزش

### ۱-۵-۳ مدل‌های احتراق با سرعت محدود

مدل‌های احتراق با سرعت محدود که برای پیشرفت واکنش‌های شیمیایی احتراق، سرعت محدودی به کار می‌برند، بر اساس این نظریه ساخته شده‌اند که گرچه سرعت واکنش‌های شیمیایی سریع است، اما عواملی مانند اثر آمیختگی، مانع انجام سریع واکنش می‌شوند [35].

این مدل‌ها برای سرعت و واکنش‌های احتراق رابطه ریاضی مشخص ارائه می‌کنند. دو نوع مهم از مدل‌های با سرعت محدود در زیر بیان می‌شوند.

### ۱-۱-۵-۳ مدل آرنیوس

برای واکنشی شامل دو واکنش دهنده که معمولاً در احتراق رخ می‌دهد، به عنوان مثال می‌توان نوشت.



که در آن  $B, A$  واکنش‌دهنده‌ها،  $D, C$  محصولات،  $m, n$  و  $p, q$  ضرایب استوکیومتری می‌باشند. مدل آرنیوس سرعت واکنش را به صورت زیر بیان می‌کند [42].

$$RR = -\frac{1}{m} \frac{d[A]}{dt} = -\frac{1}{n} \frac{d[B]}{dt} = k[A]^m[B]^n = \frac{1}{p} \frac{d[C]}{dt} = \frac{1}{q} \frac{d[D]}{dt} \quad 41-3$$

که کروشه‌ها غلظت گونه‌ها و  $k$  ثابت سرعت واکنش است. مقدار  $k$  بستگی به دما، چگونگی برخورد مولکول‌های سوخت و اکسیدکننده و انرژی فعال‌سازی واکنش‌دهنده‌ها دارد. می‌توان رابطه سرعت آرنیوس را به شکل زیر نوشت.

$$RR = [A]^m[B]^n \text{const} T^\beta \exp(-E/RT) \quad 42-3$$

با توجه به رابطه ۴۲-۳ ثابت سرعت واکنش به صورت زیر محاسبه می‌گردد.

$$K = AT^\beta \exp(-E/RT) \quad 43-3$$



در رابطه فوق A ضریب ثابت(m-gmol-sec) E انرژی فعالسازی (j/gmol) و  $\beta$  توان دما<sup>۱</sup> می باشد. در روابط آرنیوس کمیت‌های جریان متلاطم مانند  $k$  و  $\epsilon$  نقش موثری ندارند.

### ۲-۱-۵-۳ مدل مگنسن (Eddy dissipation)

مدل از بین رفتن یا شکست گردابه‌ها ابتدا به وسیله اسپالدینگ [43] مطرح شد و سپس به وسیله مگنسن و هرتاگر [44] توسعه پیدا کرد. این مدل نرخ احتراق (نرخ مصرف سوخت و آزاد شدن انرژی) را به نرخ آزاد شدن گردابه‌ها ارتباط می دهد. بدیهی است نرخ از بین رفتن ادی‌ها در جریان توربولانسی رابطه مستقیم با  $\epsilon$  و رابطه معکوس با  $k$  دارد. در این مدل فرض می‌شود سوخت و اکسیدکننده در جریان متلاطم در گردابه‌های مجزا قرار می‌گیرند و ترکیب آنها وقتی انجام می‌شود که گردابه‌های بزرگتر به گردابه‌های کوچک‌تر تبدیل و گردابه‌های کوچک در اثر نیروی لزجتی از بین بروند، به طوری که امکان آمیخته شدن سوخت و اکسیدکننده فراهم شود. به عبارت دیگر این مدل احتراق سرعت واکنش‌های احتراق و در نتیجه سرعت مصرف سوخت را به سرعت اتلاف متلاطم که همان سرعت از بین رفتن گردابه‌ها است ارتباط می‌دهد و رابطه زیر را برای سرعت مصرف سوخت پیشنهاد می‌کند.

$$R_f = A \cdot \bar{m}_f \cdot \left( \frac{\epsilon}{k} \right) \quad ۴۴-۳$$

که در رابطه فوق A یک ثابت است که به ساختمان شعله و نوع سوخت بستگی دارد و به طور آزمایشگاهی به دست می‌آید.  $\bar{m}_f$  کسر جرمی سوخت،  $k$  انرژی جنبشی اغتشاش و  $\epsilon$  اتلاف آن است. در مناطقی از شعله که کسر جرمی سوخت بالا و کسر جرمی اکسیژن پایین است، سرعت مصرف سوخت به از بین رفتن گردابه‌های اکسیژن ارتباط پیدا می‌کند. به بیان دیگر این اکسیژن است که سرعت مصرف سوخت را تعیین می‌کند.

$$R_f = A \cdot (\bar{m}_{O_2} / S) \cdot \left( \frac{\epsilon}{k} \right) \quad ۴۵-۳$$

که در رابطه بالا  $\bar{m}_{O_2}$  کسر جرمی اکسیژن و S مقدار اکسیژن لازم برای احتراق یک کیلوگرم سوخت به حالت استوکیومتریک است. مقدار  $R_f$  از دو رابطه ۴۵-۳، ۴۴-۳ محاسبه شده و کوچکترین آنها در

<sup>۱</sup> Temperature exponent



محاسبات وارد می‌شود. مدل شکست گردابه هم برای شعله‌های پیش آمیخته و هم برای شعله‌های پخشی نتایج رضایت‌بخشی داده است [35].

### ۲-۵-۳ مدل‌های احتراق با شیمی سریع

مدل‌های احتراق با شیمی سریع بر این فرض استوار است که واکنش‌ها بسیار سریع انجام می‌شوند. یعنی به محض آمیخته شدن سوخت و هوا واکنش انجام شده و سریع به یک محصول نهایی برگشت ناپذیر یا به تعادل شیمیایی می‌رسد. در هر دو حالت یک مخلوط حاصل می‌شود که چنانچه کسر جرمی عناصر شرکت کننده در واکنش، فشار محفظه و دما (آنالپی) مواد واکنش دهنده معلوم باشد، حالت ترمو شیمیایی مخلوط مشخص خواهد بود. با معلوم بودن حالت ترموشیمیایی مخلوط گازی، می‌توان وضعیت گونه‌ها، دما و جرم مخصوص مخلوط گازها را تعیین نمود [45]. در این مدل‌ها چون فرض می‌شود سرعت واکنش‌ها بالا است، به سرعت واکنش و نیز ثابت سرعت نیاز نمی‌باشد. این مدل‌ها به دو گروه زیر تقسیم می‌شوند:

#### ۱-۲-۵-۳ مدل یک مرحله‌ای (آمیخته شد، می‌سوزد)

این مدل ساده ترین مدل‌های واکنش سریع است و فرض می‌کند احتراق از طریق یک مدل یک مرحله‌ای بازگشت ناپذیر انجام می‌شود. عیب این مدل در محدود بودن آن به واکنش‌های یک مرحله‌ای است و نمی‌تواند تشکیل گونه‌های میانی و یا اثرات تجزیه را پیش گویی نماید.

#### ۲-۲-۵-۳ مدل تعادل شیمیایی

در این مدل فرض می‌شود به محض ورود سوخت و هوا به محفظه احتراق، یک مخلوط تعادلی از سوخت، اکسید کننده و محصولات به وجود می‌آید. به بیان دیگر فرض می‌شود واکنش‌های شیمیایی به اندازه کافی سریع هستند که یک مخلوط در حال تعادل شیمیایی به دست آید. با این فرض، اولاً نیاز به تعیین سرعت واکنش‌ها نمی‌باشد و ثانیاً برای مخلوط در حال تعادل، مواد تشکیل دهنده آن، دما و جرم مخصوص مخلوط از کمینه کردن انرژی آزاد بدست می‌آید [35]. در محاسبات با معلوم بودن کسر جرمی، فشار و آنتالپی واکنش‌دهنده‌ها در ورود به محفظه احتراق، حالت ترموشیمیایی مخلوط مشخص و از آن می‌توان وضعیت گونه‌ها، دما و جرم مخصوص را تعیین کرد. از مزایای مهم این مدل احتراقی، امکان تعیین مقدار تعداد زیادی از گونه‌های میانی و محصولات احتراق می‌باشد. کسر اختلاط به صورت زیر تعریف می‌شود:

## فصل سوم: معادلات حاکم



دانشگاه صنعتی شهرورد

$$f = \frac{m_k - m_O}{m_{k,F} - m_{k,O}} \quad ۴۶-۳$$

که در آن  $m_k$ ،  $m_O$  و  $m_F$  دلالت بر کسر جرمی محصول  $k$ ، سوخت و اکسیژن، در ورود به محفظه احتراق می‌کنند. کسر اختلاط  $y$  یک کمیت پایدار (دارای بقاء) است و مقدار آن در هر نقطه در داخل حوزه محاسبه، از معادله بقاء زیر بدست می‌آید:

$$\frac{\partial}{\partial t} \left( \rho y \bar{y} \right) + \frac{\partial}{\partial x_j} \left( \rho u_j \bar{y} \right) = \frac{\partial}{\partial x_j} \left[ \frac{\mu_t}{\sigma_t} \frac{\partial \bar{y}}{\partial x_j} \right] \quad ۴۷-۳$$

یک الگوریتم بر پایه کمینه کردن انرژی آزاد گیبس استفاده می‌شود تا کسر مولی گونه‌ها، دما و جرم مخصوص را از  $f$  محاسبه نماید.

با توجه به اینکه در این پژوهش از مدل احتراق با سرعت محدود و رابطه آرنیوس [36] استفاده شده است از توضیح بیشتر در مورد روش‌های دیگر صرفنظر کرده و در ادامه به تئوری فرایند SNCR می‌پردازیم.

در این شبیه‌سازی ابتدا محلول اوره مایع به حالت گازی تبدیل شده و سپس احتراق صورت می‌گیرد

### ۳-۶-۶ تئوری SNCR

RaperNOX با استفاده از تزریق اوره در واقع ترکیبی از روش‌های ThermalNOX و SNCR فرایند باشد. زیرا اوره بلا فاصله به HNCO و آمونیاک تبدیل می‌شود.

### ۱-۶-۳ معادله انتقال ذرات

برای جریانات چند جزئی<sup>۱</sup> مانند این مسئله، معادلات اسکالار مختلف باقیتی برای جرم، مومنتم و انرژی و دیگر خواص حل گردد.

با حل معادله بقا برای هر جزء (معادله ۴۸-۳) کسر جرمی هر جزء در هر سلول محاسبه می‌گردد [33].

<sup>۱</sup> Multicomponent Flow

## فصل سوم: معادلات حاکم



دانشگاه صنعتی شهرورد

$$\frac{\partial \rho Y_i}{\partial t} + \frac{\partial \rho u_j Y_i}{\partial x_j} = - \frac{\partial}{\partial x_j} \left( \vec{J}_i \right) + R_i + S_i \quad 48-3$$

در زابطه ۴۸-۳ اولین ترم از سمت چپ، ترم گذرا است که برای محاسبه نرخ تغییر کسر جرمی محلی گونه ها، در داخل حجم کنترل است. ترم دوم، ترم جابجایی است، که نرخ خالص جزیان گونه خارج شده از مرز به علت سرعت را می‌دهد. سومین ترم، تغییرات کسر جرمی به علت نفوذ می‌باشد. ترم چهارم نرخ تغییرات کسر جرمی گونه ها به دلیل واکنش می‌باشد. ترم پنجم بیانگر نرخ تغییرات کسر جرمی گونه ها به دلیل موارد دیگر غیر از واکنش مانند نرخ تبخیر قطرات مایع می‌باشد. در رابطه ۴۸-۳  $\vec{J}_i$  فلاکس نفوذ ذره است که برای جریان متلاطم از رابطه زیر محاسبه می‌گردد.

$$\vec{J}_i = -(\rho D_i + \frac{\mu_i}{Sc_t}) \nabla Y_i \quad 49-3$$

در رابطه فوق  $D_i$  ضریب نفوذ،  $Sc_t$  عدد اشمیت توربولانس می‌باشد که در آن  $\mu$  ویسکوزیته توربولانس می‌باشد. با توجه به تعریف عدد اشمیت  $(\frac{\mu_i}{\rho D_i})$  و جاگذاری آن در رابطه فوق می‌توان  $\vec{J}_i$  را بصورت زیر تعریف نمود.

$$\vec{J}_i = -(\rho D_i) \nabla Y_i \quad 50-3$$

$D_i$  ضریب نفوذ توربولانس می‌باشد.

### ۲-۶-۳ EDC<sup>۱</sup> تئوری

جهت محاسبه مقدار  $R_i$  در رابطه ۴۸-۳ باستی از مدل آرنیوس استفاده کرد اما با توجه به اینکه این مدل در بررسی اثر توربولانسی بر سرعت واکنش ناتوان است، آقای مگنسن<sup>۲</sup> و هرتاگر<sup>۳</sup> مدل جدیدی که توسعه یافته مدل مگنسن بود را در سال ۱۹۷۶ به عنوان EDC را ارائه کردند[۴۶]. این مدل جزئیات سینتیک واکنش را در جریان توربولانس را در بر می‌گیرد. به عبارتی ترکیبی از دو مدل آرنیوس و مگنسن است. این

<sup>1</sup> Eddy Dissipation Concept

<sup>2</sup> Magnussen

<sup>3</sup> Hjertager



مدل فرض می‌کند واکنش در یک ساختار توربولانسی کوچک اتفاق می‌افتد که به آن Fine Scale می‌گویند. طول این ساختار از رابطه زیر محاسبه می‌گردد.

$$\xi^* = C_\xi \left( \frac{V\epsilon}{k^2} \right)^{1/4} \quad 51-3$$

در رابطه ۵۱-۳،  $C_\xi$  ویسکوزیته سینماتیکی و  $\xi^*$  ثابت کسر حجمی است که مقدار آن برابر ۲.۱۳۷۷ است.[36]

در این مدل همچنین فرض شده که واکنش ذرات در Fine scale در مدت زمان  $\tau^*$  انجام شده است.

$$\tau^* = C_\tau \left( \frac{V}{\epsilon} \right)^{1/2} \quad 52-3$$

$C_\tau$  ثابت مقیاس زمانی است که مقدار آن برابر ۴۰.۸۲ می‌باشد[36]. سومین فرض در این تئوری این است که واکنش در فشار ثابت Fine scale صورت می‌گیرد. با توجه به توضیحات فوق حال می‌توان مقدار  $R_i$  را از رابطه زیر محاسبه کرد.

$$R_i = \frac{\rho(\epsilon^*)^2}{\tau^* (1 - \xi^{*3})} (y_i^* - y_i) \quad 53-3$$

در رابطه فوق  $y_i^*$ ، کسر جرمی ذره  $i$  در Fine scale پس از زمان  $\tau^*$  می‌باشد که از رابطه آرنیوس محاسبه می‌گردد.

$$\tau^* = C_\tau \left( \frac{V}{\epsilon} \right)^{1/2} \quad 54-3$$

### ۳-۶-۳ SNCR شیمی

مدل شیمی به کار برده شده در این شبیه‌سازی توسط آقای براور و همکارانش پیشنهاد شده است[29]. این مدل شامل هفت مرحله واکنش جهت کاهش  $NO_X$  می‌باشد. در مکانیزم پیشنهادی آقای براور و همکارانش (HNCO) فرض بر این است که یک مول اوره بلافصله به یک مول آمونیاک و یک مول ایزوسیانوریک اسید (HNCO) تبدیل می‌شود. واکنش‌های مکانیزم کاهش  $NO_X$  با تزریق اوره، همراه با ضرایب ثابت آرنیوس آن در جدول ۳ آورده شده است[36].

جدول ۳-۱: واکنش‌های مکانیزم کاهش  $\text{NO}_X$  مدل براور [36]

ردیف	واکنش	ضریب ثابت ( $A_i$ )	توان دما ( $b_i$ )	انرژی فعال‌سازی ( $E_i$ )
۱	$NH_3 + NO \rightarrow N_2 + H_2O + H$	$2.13 \times 10^1$	5.3	<b><math>2.43 \times 10^8</math></b>
۲	$NH_3 + O_2 \rightarrow NO + H_2O + H$	$8.83 \times 10^3$	7.65	<b><math>5.86 \times 10^8</math></b>
۳	$HNCO + M \rightarrow H + NCO + M$	$1.39 \times 10^{13}$	.85	<b><math>3.45 \times 10^8</math></b>
۴	$NCO + NO \rightarrow N_2O + CO$	$2.26 \times 10^{15}$	0	<b><math>-2.6 \times 10^7</math></b>
۵	$NCO + OH \rightarrow N_2 + O_2 + H$	$3.68 \times 10^9$	0	<b>0</b>
۶	$N_2O + OH \rightarrow N_2 + O_2 + H$	$8.6 \times 10^4$	0	<b><math>8.37 \times 10^7</math></b>
۷	$N_2O + M \rightarrow N_2 + O + M$	$8.5 \times 10^7$	0	<b><math>3.39 \times 10^8</math></b>

### ۷-۳ راندمان زباله سوز

با توجه به اینکه هدف اصلی در این فرایند کاهش  $\text{NO}_X$  خروجی می‌باشد، می‌توان راندمان زباله‌سوز را به صورت نسبت میزان کاهش  $\text{NO}_X$  به  $\text{NO}_X$  ورودی تعریف کرد.

$$\eta = \frac{NO_{X_{in}} - NO_{X_{out}}}{NO_{X_{in}}} \times 100 \quad ۵۵-۳$$

با توجه به رابطه فوق می‌توان راندمان را به صورت درصد کاهش  $\text{NO}_X$  نیز بیان کرد.

# فصل چهارم: مدل سازی



### ۱-۴ مقدمه

با توجه به هزینه های زیاد مالی و زمانی، اغلب مطالعات تجربی در صورتی که بتوان مدل تئوریک مناسبی برای مسئله‌ی مورد نظر یافت که تا حد قابل قبولی با نتایج تجربی همخوانی داشته باشد به جای تغییر در مدلسازی تجربی برای موردهای مشابه می‌توان به نتایج حاصل از روش‌های عددی و تحلیلی استناد کرد و هزینه‌های حل مسئله را به مراتب کاهش داد. دینامیک سیالات محاسباتی به عنوان ابزاری ارزشمند برای حل میدان جریان و دمای اغلب مسائل جابجایی به کار می‌رود.

در این پایان‌نامه در ابتدا هدف بررسی عملکرد زباله‌سوز واحد بازیافت گوگرد پالایشگاه گاز خانگیران سرخس بود که علی‌رغم ۶ ماه پیگیری‌های متعدد و ارسال پروپوزال، مسئول آموزش پالایشگاه به دلیل اینکه این موضوع یک طرح پژوهشی می‌باشد و در قالب یک پایان نامه، پالایشگاه نمی‌تواند حمایت کند، عدم حمایت خود را از این پایان نامه اعلام کردند. بنابراین عملاً امکان دسترسی به اطلاعات فنی زباله سوز مورد نظر جهت بررسی و شبیه‌سازی نبود، بنابراین در این تحقیق، راندمان یک زباله‌سوز شهری، مجهز به فرآیند SNCR مورد بررسی قرار گرفت. بدین منظور مدلی سه بعدی از محفظه احتراق ثانویه یک زباله‌سوز شهری که مجهز به سه نازل تزریق اوره می‌باشد در ANSYS FLUENT شبیه‌سازی شده است.

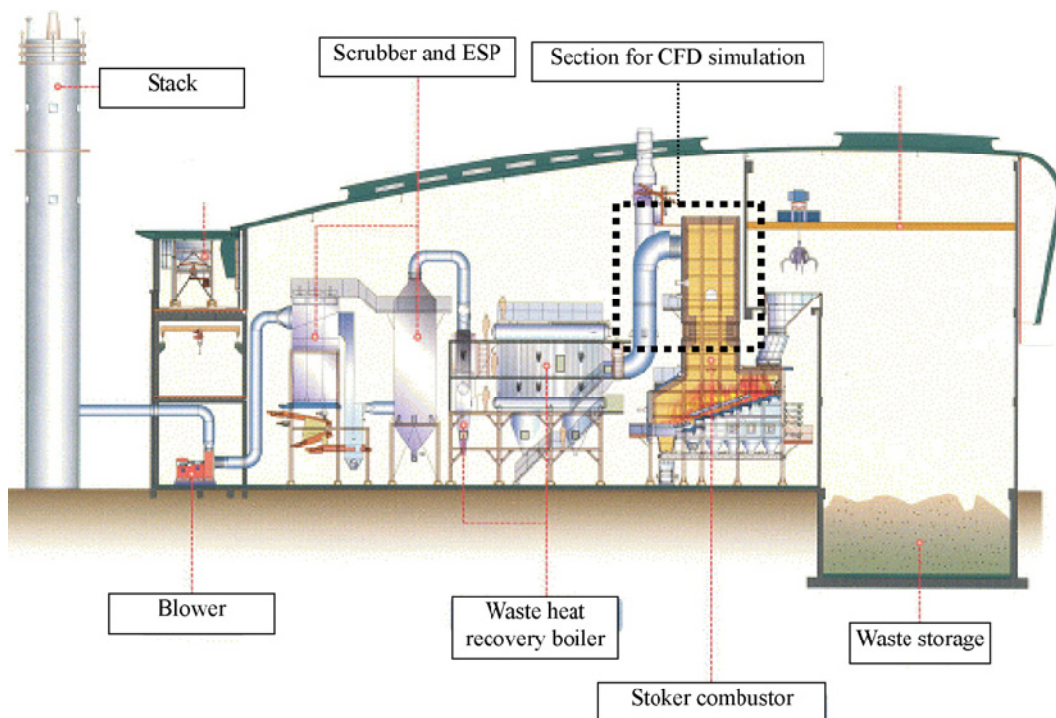
### ۲-۴ تعریف مسئله

شکل ۱-۴ شماتیکی از واحد زباله سوز مورد نظر را نشان می‌دهد که قسمت مورد مطالعه با خط چین مشخص شده است. همانطور که در شکل نشان داده شده است این واحد شامل انبار زباله می‌باشد که زباله‌ها در آن ذخیره شده و به وسیله چنگکی به داخل محفظه احتراق جهت سوزاندن ریخته می‌شود. محفظه احتراق شامل دو قسمت محفوظه احتراق اولیه و ثانویه می‌باشد. زباله‌های جامد شهری در حین حرکت در نرده‌های آتشین محفوظه احتراق اولیه می‌سوزد. گازهای حاصله از سوختن زباله‌های جامد در محفظه احتراق اولیه وارد محفظه احتراق ثانویه که مجهز به سیستم تزریق اوره جهت کاهش  $\text{NO}_x$  می‌باشد، می‌شود. گازهای حاصله قبل از ورود به اتمسفر از طریق دودکش زباله سوز، توسط دستگاه‌های کنترل کننده آلودگی مانند اسکرابر و ته نشین الکترواستاتیکی تصفیه می‌شود. خاکستر زباله‌های جامد نیز از انتهای

محفظه احتراق اولیه خارج می شود. با توجه به اینکه هدف از این تحقیق بررسی فرآیند SNCR می باشد، محفظه احتراق ثانویه فقط مورد بررسی و شبیه‌سازی قرار گرفته است.

ظرفیت این واحد زباله سوز  $50 \text{ ton/day}$  می باشد. داده‌های بکار برده شده در این مطالعه از مقدار

متوسط اندازه‌گیری شده در مدت ۲۰ دقیقه در شرایط پایدار زباله سوز بدست آمده است که در جدول ۱-۴ نشان داده شده است بدست آمده است.



شکل ۱-۴: شماتیکی از واحد زباله سوز شهری [36]

اطلاعاتی نظیر دما ، دبی جرمی و غلظت گونه ها مانند  $SO_x$  ،  $NO_x$  و .... با استفاده از TMS در خروجی زباله سوز بدست آمده است. دما فقط در ورودی بخش duct ، خروجی duct و دودکش اندازه گیری می شود. متوسط دمای اندازه گیری شده در این سه مکان به ترتیب  $1000$  ،  $930$  و  $1300$  درجه سانتی گراد بود. غلظت گونه ها نظیر  $SO_x$  و  $NO_x$  .... و سرعت جریان در خروجی دودکش اندازه گیری شده است.



مقدار  $SO_x$  کمتر از ppm ۱۰ و خاک کمتر از ppm HCL کمتر از ۳ ppm CO کمتر از ppm TMS<sup>۱</sup> ۴ توسط مشاهده شده است. متوسط غلظت اکسیژن ۱۲.۱ درصد حجمی در خروجی دودکش اندازه گیری شده است.[36]

جدول ۱-۴: غلظت گونه ها در زباله های جامد ورودی به زباله سوز [36]

Proximate analysis (%)	High quality	Medium quality	Low quality
Moisture	24.72	38.59	51.39
Combustibles	58.74	47.86	38.22
Ash	16.54	13.55	10.39
Total	100.00	100.00	100.00
Ultimate analysis (dry basis, %)			
Carbon (C)	32.60	25.89	20.67
Hydrogen (H)	4.48	3.62	2.89
Oxygen (O)	20.30	17.18	13.71
Nitrogen (N)	0.60	0.53	0.45
Sulfur (S)	0.16	0.15	0.12
Chlorine (Cl)	0.60	0.49	0.38
Others	41.26	52.14	61.78
Total	100.00	100.00	100.00

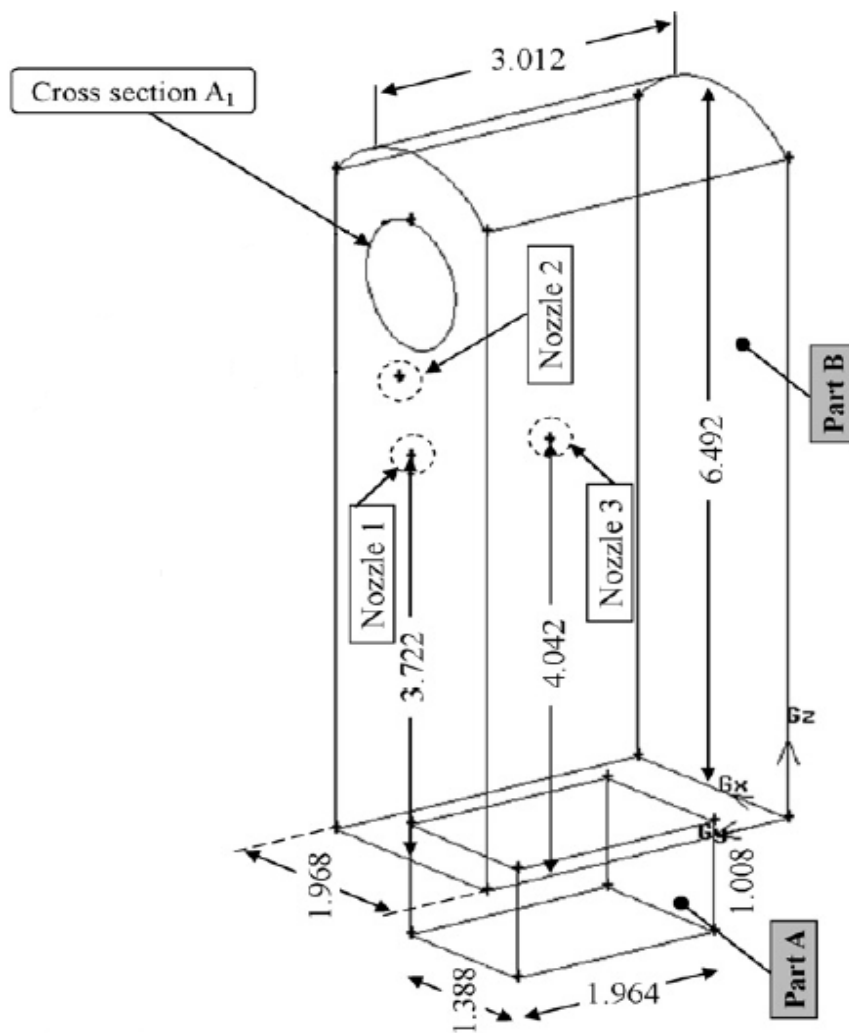
### ۳-۴ هندسه و ساختار مش

برای مدلسازی عددی نیاز به یک شبکه‌ی محاسباتی داریم. تولید شبکه یکی از مهمترین بخش‌های حل عددی محسوب می‌شود که در دقت حل عددی بسیار تاثیرگذار است، بیش از ۵۰ درصد زمان استفاده شده برای حل عددی مسئله صرف تعریف هندسه محدوده و تولید شبکه می‌شود. با ایجاد یک شبکه بنده مناسب می‌توان حل یک سیستم معادلات دیفرانسیل را تا حد زیادی ساده نمود و بالعکس انتخاب نامناسب محل نقاط شبکه می‌تواند باعث ناپایداری یا عدم همگرایی در محاسبات گردد. دقت مربوط به یک حل

<sup>۱</sup> Telemetry Monitoring System



عددی از تعداد سلول های موجود در شبکه پیروی می کند و در حالت کلی ، تعداد سلول های زیاد دارای دقیق حل بهتری خواهد بود. شبکه های مطلوب اغلب غیر یکنواخت می باشد، در جائیکه تغییرات از نقطه ای به نقطه ای دیگر زیاد است شبکه ریزتر و در نواحی با تغییرات نسبتا کم، درشت تر است. در این شبکه سازی شبکه بنده محفظه احتراق ثانویه زباله سوز به همراه نازل های تزریق تعییه شده در آن با استفاده از نرم افزار گمبیت انجام شده است. شکل ۲-۴ هندسه زباله سوز را نشان می دهد.



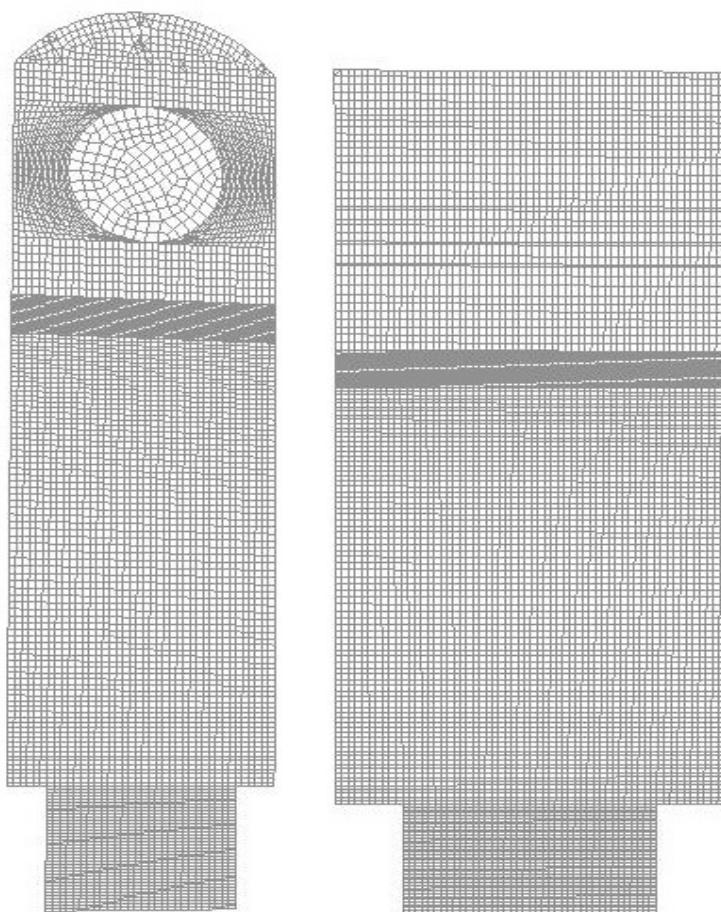
شکل ۲-۴: هندسه محفظه احتراق ثانویه زباله سوز



## فصل چهارم: مدل سازی

همانطور که در شکل ۲-۴ نشان داده شده است این محفظه احتراق به دو بخش A و B تقسیم شده است. سه نازل تزریق با قطر داخلی ۵ میلیمتر در این محفظه احتراق تعییه شده است، که دو نازل در مقابل هم قرار دارند [36].

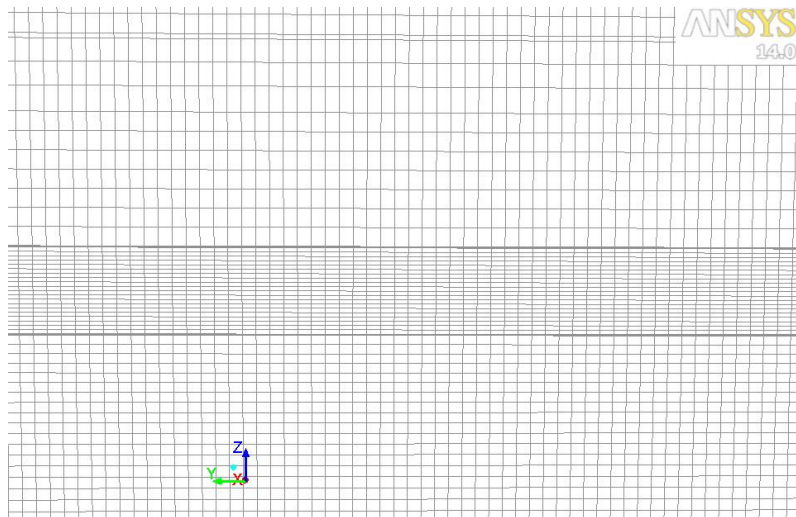
شبکه مورد استفاده برای این میدان محاسباتی از نوع سازمان یافته با المان چهاروجهی است. همچنین تراکم مش از ورودی محفظه احتراق به سمت خروجی زیادتر شده است. شکل ۳-۴ نحوه مشبندی و تراکم مش را در صفحه X-Z و Y-Z نشان می‌دهد.



شکل ۳-۴: تراکم مش در زباله سوز (به ترتیب از چپ به راست صفحات X-Z و Y-Z)



در محل تزریق اوره به دلیل وجود سه ورودی و شروع واکنش‌ها مش بندی ریز‌تر شده است.



شکل ۴-۴: تراکم مش در اطراف نازل ها

#### ۴-۴ معتبرسازی نتایج حل عددی

برای اینکه از اعتبار محاسبات عددی اطمینان حاصل شود و بتوان از این نتایج استفاده کرد باید نتایج حل عددی با نتایج عملی و آزمایشگاهی مطابقت داده شود و اگر خطا در حد قابل قبولی باشد می‌توان از این نتایج استفاده کرد. در صورتی که نتایج تجربی و آزمایشگاهی برای مقایسه موجود نباشد باید منظور مسئله ساده‌تری که دارای حل تحلیلی می‌باشد را با استفاده از روش‌های عددی حل کرد در صورتی که نتایج حاصله با حل تحلیلی آن با هم مطابقت داشته باشد تا حدودی می‌توان از صحت محاسبات مسئله‌ی اصلی اطمینان حاصل کرد. در این پایان‌نامه نتایج با کارهای تجربی و عددی آقایان یانگ ایل ایم و همکارانش [36] و بورستروم و همکارانش [32] مقایسه شده است.

#### ۴-۵ شرایط مرزی

گاز حاصله از زباله‌های جامد در محفظه احتراق ثانویه با هوای اضافی قبل از ورود به محفظه احتراق ثانویه مخلوط شده است. بنابراین احتراق به صورت کامل انجام می‌شود. در این شبیه‌سازی فرض شده است که احتراق در محفظه احتراق اولیه به طور کامل صورت گرفته است. بنابراین جریان گاز ورودی به محفظه ثانویه ترکیبی از  $NO$  و  $CO_2$  و  $O_2$  و  $H_2O$  و  $N_2$  می‌باشد. برای زباله‌هایی با کیفیت متوسط (جدول

## فصل چهارم: مدل سازی



دانشگاه صنعتی شهرورد

۱-۴) شرایط جریان اصلی گاز ورودی به محفظه ثانویه و محلول اوره و هوا در جدول ۲-۴ گزارش شده است. دبی حجمی جریان گاز ورودی در شرایط استاندارد  $13000 \text{ nm}^3/h$  می باشد. غلظت  $O_2$  و  $NO$  در ورود به ترتیب  $150 \text{ ppm}$  و  $12\%$  حجمی می باشد . محلول اوره و آب با  $4$  درصد وزنی در محفظه ثانویه به وسیله  $3$  نازل با دبی حجمی  $115 \text{ nm}^3/h$  که معادل  $NSR=1.8$  در فشار  $2$  اتمسفری می باشد تزریق می شود. با توجه به اینکه اوره فرض شده بلافصله با آمونیاک و  $HNCO$  در دمای بالای  $810$  تجزیه می شود نسبت مولی  $HNCO$  و آمونیاک بجای اوره در شرط مرزی وارد می شود. محلول اوره با هوای فشرده  $87 \text{ nm}^3/h$  در دمای  $100$  و  $25 \text{ atm}$  اتمایز می شود. سرعت اولیه تزریق در دما و فشار بدست آمده  $87$  متر بر ثانیه اندازه گیری شده است.

جدول ۲-۴: شرایط مرزی گونه ها در ورودی

Species	Volume flowrate ( $\text{Nm}^3/\text{h}$ )	Mole flowrate ( $\text{kmol}/\text{h}$ )	Mass flowrate ( $\text{kg}/\text{s}$ )	Velocity (m/s)	Temperature (°C)	Pressure (atm)
Combustor inlet	NO	1.91265	0.085386	0.000712	6	1000
	$CO_2$	790.562	35.293	0.4314		1
	$O_2$	1,530.120	68.309	0.6072		
	$N_2$	10,428.405	465.554	3.6210		
	Total	12,751	569.241	4.6602		
Urea solution (4 wt%)	Urea solution	0.115		87	100	2
	Urea		0.077			
	$H_2O$		6.148	0.031		
	$NH_3$		0.077	0.00036		
	$HNCO$		0.077	0.00092		
Atomizing air	Total	0.115	6.301	0.032		
	$O_2$	10.50	0.469	0.0042	87	100
	$N_2$	39.50	1.763	0.0137		25
	Total	50.0	2.232	0.0179		

دمای دیوارهای بخش A و B در شکل ۲-۴ بخاطر اتلاف گرما با محیط کاهش می یابد. کاهش دمای دیوارهای مرزی می تواند توسط روابط زیر تخمین زده شود [36].

$$T_{WA}(Z_A) = 830 - 29.8Z_A \quad 1-4$$

$$T_{WB}(Z_B) = 800 - 15.4Z_B \quad 2-4$$



که در رابطه فوق  $T_{WA}$  و  $T_{WB}$  دمای دیواره به ترتیب در بخش‌های A و B می‌باشد و Z ارتفاع هر بخش بر حسب متر می‌باشد.

با توجه به آنکه اتلاف حرارت در بخش A به علت سرعت بیشتر جریان گاز بیشتر است، بنابراین دمای دیواره با نرخ  $\frac{30}{m}^{\circ}\text{C}$  سرد می‌شود که دو برابر نرخ سرد شدن دمای دیواره در بخش B ( $\frac{15}{m}^{\circ}\text{C}$ ) می‌باشد.

نوشته شده جهت اعمال شرط مرزی دیواره‌ها در نرم‌افزار فلوئنت در پیوست الف آورده شده است..

## ۶-۴ مدل توربولانس

مدل توربولانسی استفاده شده در این شبیه‌سازی  $\epsilon - k$  استاندارد می‌باشد. جهت استفاده از این مدل در شبیه‌سازی لازم است پارامترهای شدت تلاطم<sup>۱</sup> و قطر هیدرولیکی که توسط روابط زیر محاسبه می‌شود را برای مرزهای ورودی و خروجی محاسبه نماییم. شدت تلاطم به صورت نسبت جذر مربع نوسانات سرعت بر سرعت متوسط محاسبه می‌شود.

$$I = \frac{\sqrt{(u')^2}}{\sqrt{u_{avg}^2}} = .16(\text{Re})^{-\frac{1}{8}} \quad ۴-۴$$

$$D_H = \frac{4A}{P} \quad ۴-۴$$

در روابط فوق I شدت تلاطم،  $u'$  نوسانات سرعت،  $u_{avg}^2$  مربع سرعت متوسط،  $\text{Re}$  عدد رینولدز، A و P نیز به ترتیب مساحت مقطع و محیط می‌باشد. مقادیر شدت تلاطم و قطر هیدرولیکی در جدول ۳-۴ آمده است.

جدول ۴-۳: پارامترهای ثابت مدل  $\epsilon - k$  استاندارد

شدت تلاطم (%)	قطر هیدرولیکی (m)	ورودی محفظه احتراق	ورودی نازل‌ها	خروجی محفوظه احتراق	مدل $\epsilon - k$ استاندارد
۱.۶۲۷	۸				
۰.۰۰۵	۱۰				
۱.۱۶	۱۰				

۱.Turbulent intencity



### ۷-۴ مدل احتراق

مدل احتراق استفاده شده در این پایان نامه مدل احتراقی EDC می باشد که در فصل قبل به طور کامل در مورد آن بحث شد . جهت استفاده از این مدل دو پارامتر ثابت کسر حجمی و ثابت مقیاس زمان لازم است که این مقادیر به ترتیب  $2.1377$  و  $2.4083$  [36] در نظر گرفته شده است.

### ۸-۴ مدل تزریق

جهت شبیه سازی تزریق محلول اوره به کمک ۳ نازل تعییه شده در محفظه ثانویه از مدل Droplet استفاده شده است . در این مدل ذرات به صورت قطرات کروی با قطر ثابت  $45$  میکرومتر در نظر گرفته شده است. لازم به ذکر می باشد با توجه بر فرض تجزیه اوره به آمونیاک و HNCO، در تزریق بجای اوره، آمونیاک و HNCO همراه با آب تزریق شده است.

### ۹-۴ شبکه حل معادلات

در این پژوهش به منظور گسسته سازی عبارت های جابجایی معادلات حاکم از طرح بالادستی مرتبه اول و برای تصحیح میدان فشار از الگوریتم سیمپل استفاده شده است. روش حل عددی بر پایه حجم محدود و شرایط دائمی است. مدل های مورد استفاده برای مدل سازی مسئله حاضر در نرم افزار ANSYS FLUENT نشان داده شده است.

جدول ۴-۴: مدل های مورد استفاده برای مدل سازی عددی

<b>Pressure based</b>	روش فرمول بندی حل
<b>Implicit</b>	روش خطی سازی معادلات
<b>Simple</b>	الگوریتم اصلاح فشار
<b>Standard <math>k-\varepsilon</math></b>	روش مدل سازی آشفتگی
<b>Eddy Dissipation Concept ( EDC)</b>	روش مدل سازی احتراق
<b>Multi Component</b>	روش تزریق

# فصل پنجم: بررسی نتایج



### ۱-۵ مقدمه

در این فصل، نتایج حاصل از شبیه‌سازی محفظه احتراق ثانویه زباله‌سوز ارائه شده است. همانطور که در فصل قبل به آن اشاره شد، شبیه‌سازی محفظه احتراق یک زباله‌سوز در گذشته انجام گرفته است ولی تاکنون مدل احتراقی استفاده شده در این تحقیقات، بیشتر از نوع سرعت محدود و از مدل آرنیوس بوده است و از مدل احتراقی EDC تاکنون استفاده نگردیده است. در این تحقیق با توجه به ناتوانی مدل آرنیوس در پیش‌بینی اثر توربولانسی، از مدل احتراقی EDC که قبلاً در مورد آن به طور مفصل توضیح داده شده است، بهره گرفته شده است. این مدل هم اثر توربولانسی و هم اثر سینتیک واکنش را در سرعت انجام واکنش مد نظر قرار می‌دهد.

در این فصل ابتدا جهت معتبرسازی، نتایج شبیه‌سازی را با نتایج ارائه شده توسط آقای یانگ ایل ایم و همکارانش مقایسه می‌کنیم. برای این منظور دما و  $\text{NO}_x$  خروجی را مدنظر قرار می‌دهیم. در ادامه به بررسی نتایج حاصله از تغییرات پارامترهای تزریق همچون سرعت اولیه، زاویه مخروطی نازل، قطر ذرات، دمای تزریق می‌پردازیم.

### ۲-۵ بررسی نتایج شبیه‌سازی عددی با داده‌های تجربی

در این بخش بمنظور اطمینان از صحت نتایج شبیه‌سازی، نتایج با نتایج آقای یانگ ایل ایم و همکارانش [36] مقایسه شده است. در این مقاله دما و  $\text{NO}_x$  خروجی از محفظه احتراق ثانویه اندازه‌گیری شده است. جدول ۱-۵ نتایج عددی بدست آمده و نتایج ارائه شده توسط یانگ را نشان می‌دهد. با توجه به این جدول مشاهده می‌شود درصد خطای  $\text{NO}_x$  خروجی ۸ درصد می‌باشد، که این مقدار با توجه به آنکه مقدار گزارش شده توسط آقای یانگ، مربوط به خروجی از دودکش زباله‌سوز می‌باشد، در حالی که مقدار گزارش شده در این تحقیق، در خروجی محفظه احتراق ثانویه می‌باشد، قابل قبول می‌باشد. درصد خطای دمای خروجی با توجه به جدول زیر ۷ درصد می‌باشد. خطای کم دمای اندازه‌گیری شده نشان از پیش‌بینی مناسب پروفیل دما در شرایط مرزی دیواره‌ها می‌باشد.

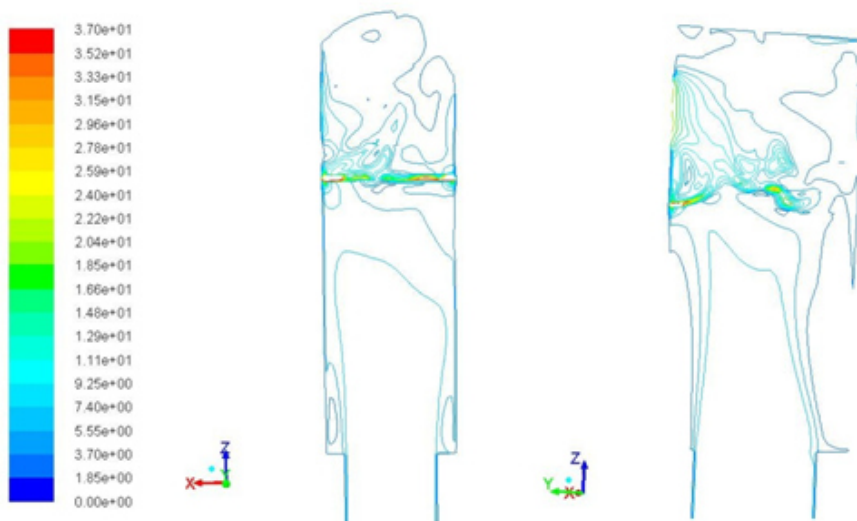


جدول ۱-۵: مقایسه نتایج مقاله یانگ با نتایج عددی بدست آمده

نتایج عددی	نتایج یانگ	
۱۱۷۸	۱۲۷۳	دماخ خروجی محفظه احتراق ثانویه ( $^{\circ}K$ )
۶۳	۵۸	NO <sub>x</sub> خروجی محفظه احتراق ثانویه (PPM)

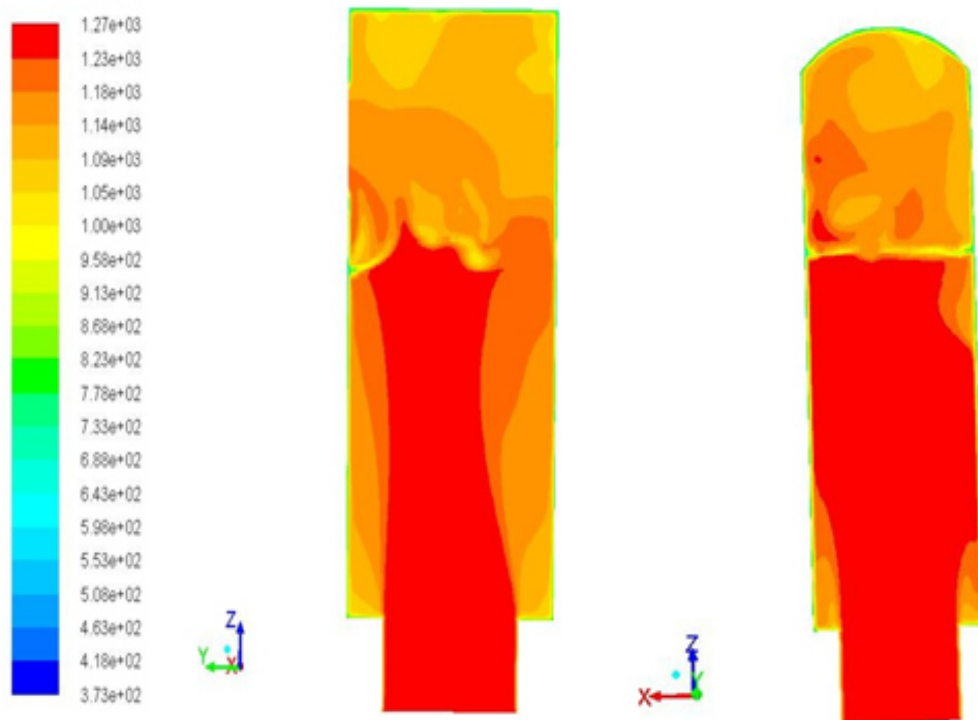
### ۳-۵ کانتور سرعت و دما

کانتور سرعت در محفظه احتراق ثانویه در نمای Y-Z در شکل ۱-۵ نشان داده شده است. گردابهای کوچکی در کناره‌های محفظه احتراق مشاهده می‌شود که این گردابهای باعث افزایش زمان اقامت می‌شود. کانتور سرعت در نمای X-Z، پروفیل سرعت در اطراف نازل‌های ۲ و ۳ را بخوبی نشان می‌دهد.



شکل ۱-۵: کانتور سرعت در صفحه Y-Z و X-Z

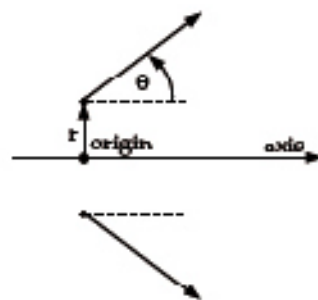
شکل ۲-۵ کانتور دما را نشان می‌دهد. دمای جریان گاز ورودی به محفظه احتراق ثانویه ۱۰۰۰ درجه سانتی‌گراد می‌باشد. همانطور که در شکل ۲-۵ نشان داده شده است با افزایش ارتفاع، شاهد افت کم دمای جریان اصلی گاز به علت انتقال حرارت با دیواره می‌باشیم. همچنین افت دما در اطراف نازل‌ها که به علت دمای پایین اوره تزریق شده می‌باشد، نیز در شکل قابل توجه می‌باشد.



شکل ۲-۵: کانتور دما در صفحه Y-Z و X-Z

#### ۴-۵ بررسی اثر زاویه مخروطی<sup>۱</sup> نازل

همانطور که در شکل ۳-۵ نشان داده شده است منظور از زاویه مخروطی نازل، نصف زاویه دهانه خروجی نازل می‌باشد.

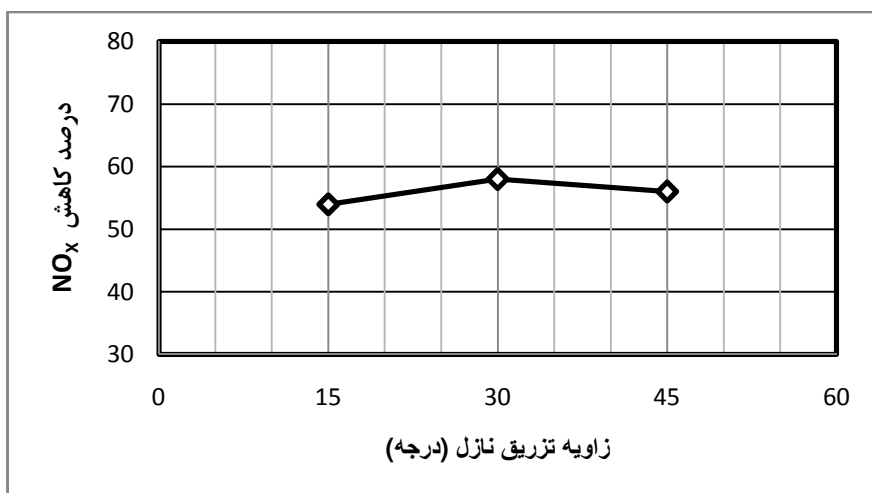


۳-۵: شماتیکی از زاویه مخروطی نازل

<sup>1</sup> Cone angle

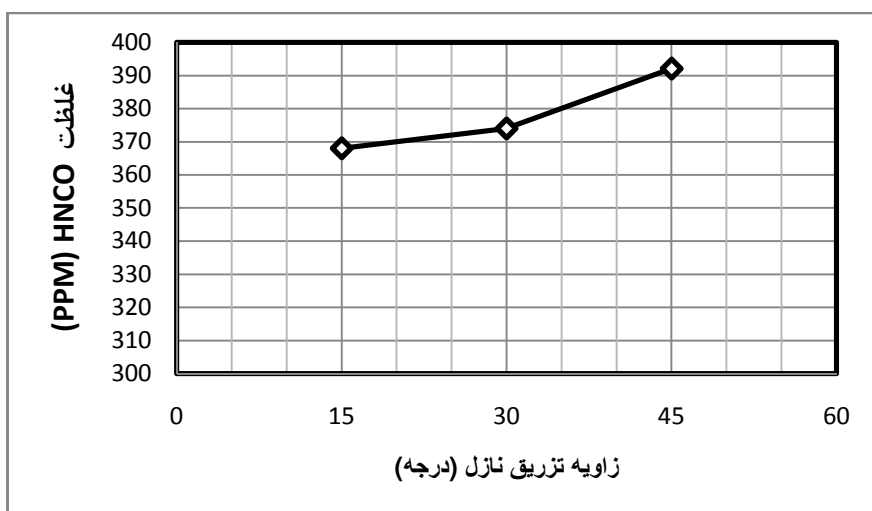
## فصل پنجم: بررسی نتایج

در بررسی های انجام شده بر روی داده های بدست آمده از شبیه سازی در زوایای مخروطی ۱۵، ۳۰ و ۴۵ درجه (شکل ۴-۵) مشاهده شد، که زاویه دهانه نازل تاثیر آنچنانی بر درصد کاهش  $\text{NO}_x$  ندارد.



شکل ۴-۵: نمودار درصد کاهش  $\text{NO}_x$  در زوایای تزریق متفاوت

همانطور که در نمودار های شکل ۵-۵ و شکل ۶-۵ مشاهده می شود، در زوایای تزریق متفاوت، غلظت  $\text{N}_2\text{O}$  و  $\text{HNCO}$  به دلیل اینکه هر چه زاویه تزریق کمتر گردد، نفوذ ذرات به داخل زباله سوز بیشتر شده و در نتیجه زمان اقامت افزایش می یابد، کمتر شده است.

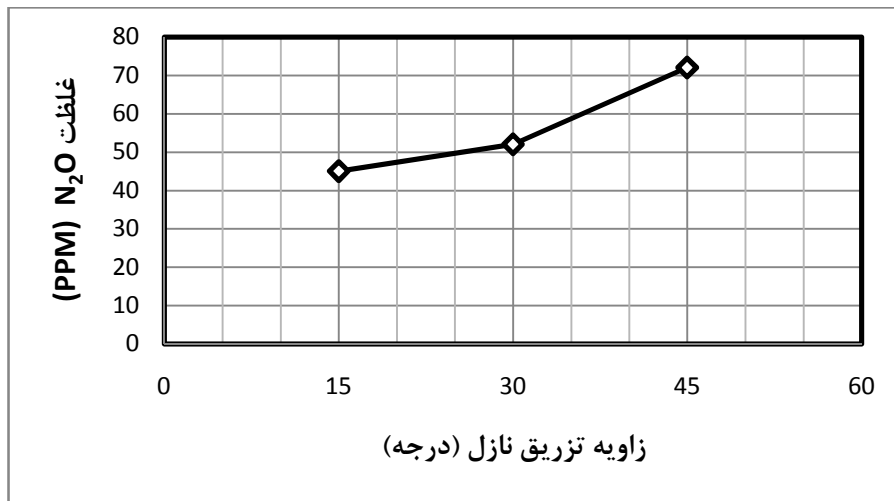


شکل ۵-۵: نمودار غلظت  $\text{HNCO}$  خروجی در زوایای تزریق متفاوت

## فصل پنجم: بررسی نتایج



دانشگاه صنعتی شهرورد



شکل ۵-۶: نمودار غلظت  $N_2O$  در خروجی در زوایای تزریق مختلف

جدول ۲-۵ خلاصه‌ای از نتایج شبیه‌سازی در زوایای مختلف تزریق را نشان می‌دهد.

جدول ۲-۵: جدول نتایج برای زاویه مخروطی متفاوت نازل

$N_2O$ (ppm)	HNCO (ppm)	$NH_3$ (ppm)	NO (ppm)	زاویه مخروطی تزریق	زاویه مخروطی متفاوت نازل‌ها
۴۵	۳۶۸	۱۱۶	۶۹	۱۵	سرعت تزریق: ۸۷ m/s قطر ذرات: ۴۵ $\mu m$ دماهی تزریق: ۱۰۰ °C
۵۲	۳۷۴	۱۱۳	۶۳	۳۰	
۷۲	۳۹۲	۱۱۸	۶۶	۴۵	

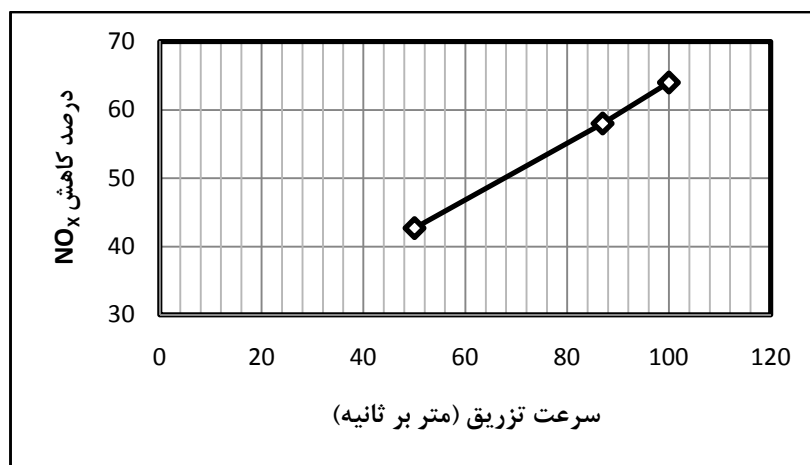
با توجه به نتایج فوق مشاهده می‌کنیم که تغییر زاویه نازل‌ها بر راندمان زباله‌سوز یا درصد کاهش  $NO_x$  تاثیر بسزایی ندارد ولی می‌تواند منجر به کاهش  $N_2O$  و HNCO شود.

### ۵-۵ بررسی اثر سرعت تزریق

جهت بررسی اثر سرعت تزریق، شبیه‌سازی را در سه سرعت متفاوت ۵۰، ۸۷ و ۱۰۰ انجام دادیم. همانطور که در نمودار شکل ۷-۵ مشاهده می‌شود، با افزایش ۲ برابری سرعت درصد کاهش  $NO_x$  از ۴۲ درصد تا ۶۴ درصد افزایش پیدا می‌کند.



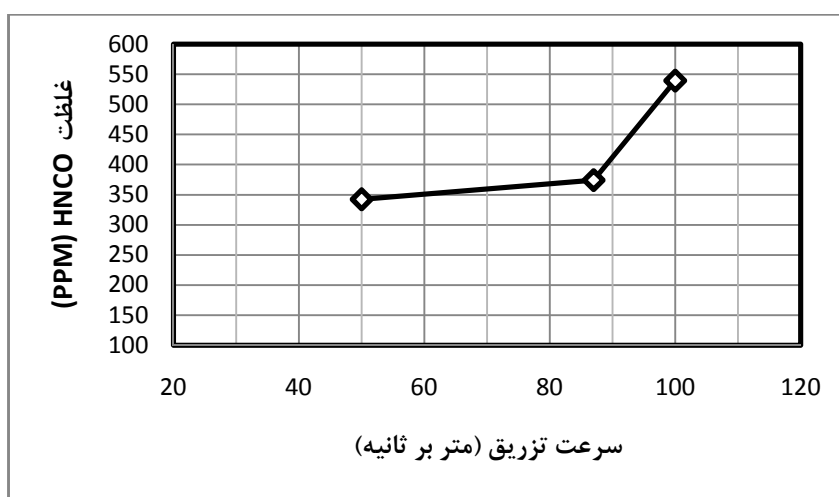
## فصل پنجم: بررسی نتایج



شکل ۷-۵: نمودار درصد کاهش  $\text{NO}_x$  در خروجی زباله سوز در سرعت های تزریق متفاوت

در سرعت های پایین مومنتم ذرات برای نفوذ به محفظه احتراق کم خواهد بود. اما با افزایش سرعت، مومنتم ذرات بیشتر شده و در نتیجه نفوذ بیشتری خواهد داشت. این افزایش نفوذ منجر به اختلاط بهتر می شود، در نتیجه میزان  $\text{NO}_x$  کاهش یافته، با افزایش سرعت بیشتر می شود.

افزایش سرعت تزریق، منجر به کاهش زمان اقامت می شود، که در افزایش غلظت  $\text{N}_2\text{O}$  و  $\text{HNCO}$  در خروجی تاثیر گذار می باشد. نمودارهای شکل ۸-۵ و شکل ۹-۵، افزایش غلظت  $\text{HNCO}$  و  $\text{N}_2\text{O}$  در خروجی را به عنوان افزایش سرعت تزریق نشان می دهند.



شکل ۸-۵: نمودار غلظت  $\text{HNCO}$  خروجی در سرعت تزریق متفاوت

## فصل پنجم: بررسی نتایج



دانشگاه صنعتی شهرورد



شکل ۹-۵: نمودار غلظت HNCO خروجی در زوایای تزریق متفاوت

جدول ۳-۵ خلاصه‌ای از نتایج شبیه‌سازی در سرعت‌های مختلف تزریق را نشان می‌دهد.

جدول ۳-۵: جدول نتایج برای سرعت متفاوت تزریق

$N_2O$ (ppm)	HNCO (ppm)	$NH_3$ (ppm)	NO (ppm)	سرعت تزریق	سرعت متفاوت تزریق
۴۴	۳۴۲	۱۱۹	۸۶	۵۰	زاویه مخروطی تزریق: $30^\circ$ قطر ذرات: $45 \mu m$
۵۲	۳۷۴	۱۱۳	۶۳	۸۷	دماهی تزریق: $100^\circ C$
۹۰	۵۳۹	۱۶۴	۵۴	۱۰۰	

با توجه به نتایج فوق می‌توان به این نتیجه رسید که، شاید با افزایش سرعت بتوان  $NO_x$  بیشتری را کاهش داد، ولی افزایش سرعت بیش از حد، منجر به افزایش آلاینده‌های HNCO و  $N_2O$  می‌شود. بنابراین بهترین سرعت تزریق در این زباله‌سوز ۸۷ متر بر ثانیه می‌باشد، زیرا که از این سرعت بالاتر، غلظت HNCO و  $N_2O$  در خروج افزایش بسیار پیدا می‌کند.

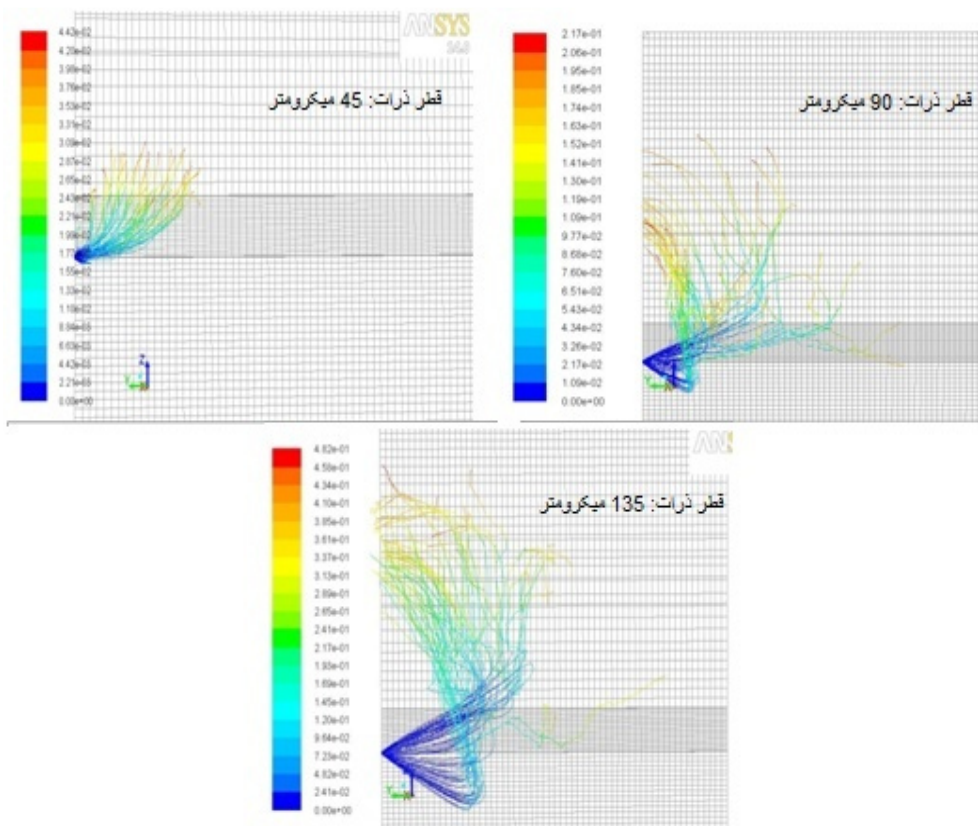
## ۶-۵ بررسی اثر قطر قطرات

اندازه قطر ذرات بر میزان نفوذ ذرات، دمای انجام واکنش و همچنین زمان انجام واکنش تاثیر گذار می‌باشد. ذرات با قطر بیشتر برای تبخیر شدن به حرارت بیشتری نیاز دارند در نتیجه باعث کاهش بیشتر دمای محفظه احتراق نسبت به ذرات ریزتر می‌شوند. از طرف دیگر قطرات بزرگتر، کمتر تحت تاثیر اثر سرعت فاز

## فصل پنجم: بررسی نتایج



پیوسته (جریان اصلی گاز) قرار می‌گیرند بنابراین نفوذ بیشتری در محفظه احتراق دارند که این خود باعث اختلاط بهتر و زمان اقامت بیشتر می‌شود. همچنین قطرات بزرگتر نسبت به قطرات کوچکتر به دلیل اینکه دیرتر تبخیر می‌شوند دیرتر نیز واکنش می‌دهند. شکل ۱۰-۵ مسیر حرکت ذرات در سه اندازه ۴۵، ۹۰ و ۱۳۵ میکرومتر را نشان می‌دهد. همانطور که مشاهده می‌شود ذرات بزرگتر نفوذ بیشتری در دامنه حل داشته و دیرتر تبخیر شده‌اند.



شکل ۱۰-۵: مسیر حرکت ذرات در اندازه‌های ۴۵، ۹۰ و ۱۳۵ میکرومتر

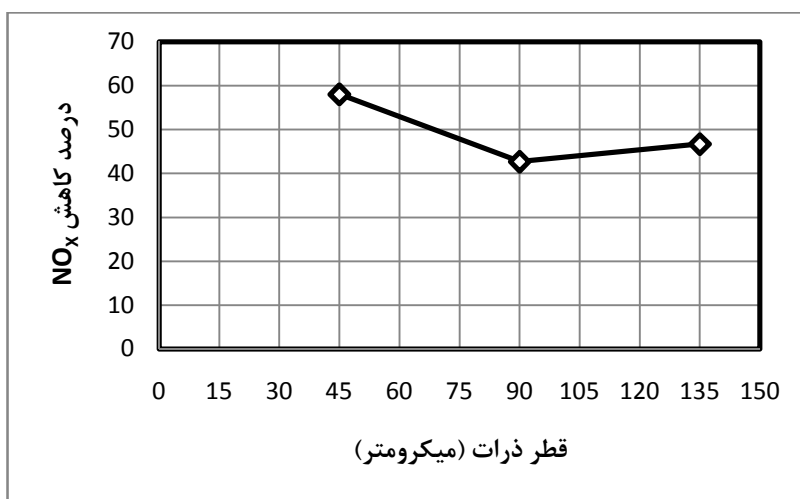
بنابراین هرچه اندازه قطرات تزریق شده کوچک باشد به علت سریعتر تبخیر شدن و زودتر واکنش دادن،  $\text{NO}_X$  بیشتری کاهش پیدا می‌کند ولی از طرفی به دلیل نفوذ و زمان اقامت کمتر امکان افزایش خروجی نیز می‌باشد.

## فصل پنجم: بررسی نتایج



دانشگاه صنعتی شهرورد

دز نمودار شکل ۱۱-۵، در قطر ذره ۴۵ میکرومتر کمترین میزان  $\text{NO}_X$  را در خروجی مشاهده می‌کنیم که این به دلیل تبخیر ۱۰۰ درصدی ذرات می‌باشد. اما در قطرهای ۹۰ و ۱۳۵ میکرومتر تفاوت ناچیزی در  $\text{NO}_X$  خروجی می‌بینیم. این موضوع به این علت است که ذرات با قطر ۹۰ میکرومتر درصد بیشتری تبخیر شده‌اند ولی از طرفی دیگر ذرات با قطر ۱۳۵ میکرومتر، نفوذ و زمان اقامت بیشتری داشته‌اند.



شکل ۱۱-۵: درصد کاهش  $\text{NO}_X$  در خروجی با قطر ذرات متفاوت

جدول ۴-۵ خلاصه‌ای از نتایج شبیه‌سازی در سرعت‌های مختلف تزریق را نشان می‌دهد.

جدول ۴-۵: جدول نتایج برای قطر متفاوت قطرات

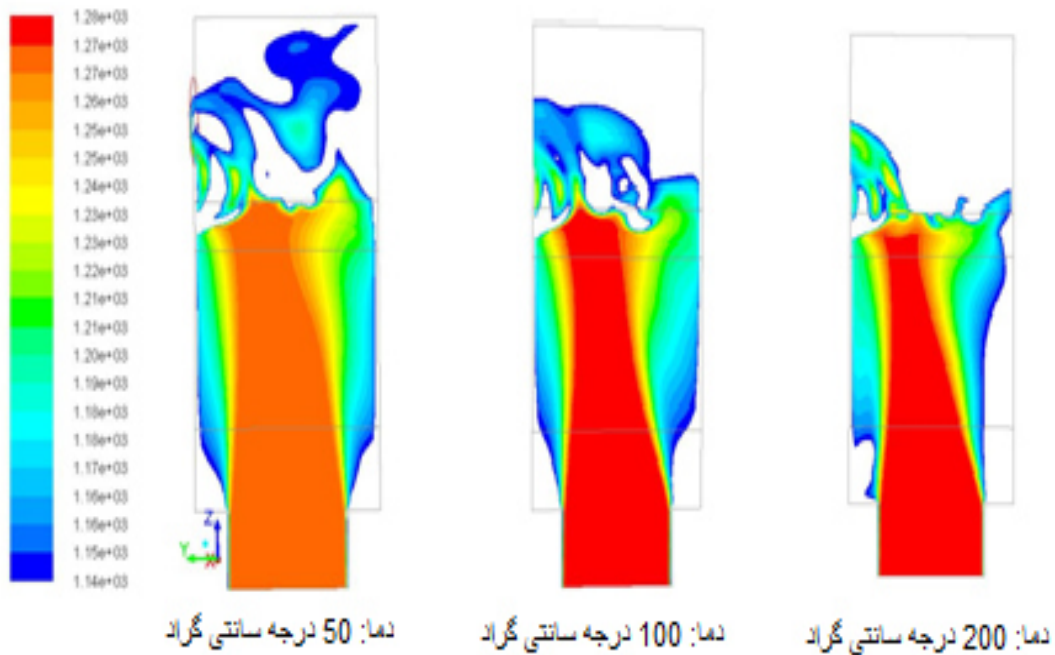
قطر متفاوت قطرات	زاویه مخروطی: تزریق:	سرعت تزریق: m/s	دماهی تزریق: °C	قطر ذرات تبخیر شده	HNCO (ppm)	$\text{NH}_3$ (ppm)	NO (ppm)	قطر قطرات
۳۰°	۴۵	۸۷	۱۰۰	۱۰۰	۲۷۴	۱۱۳	۶۳	۴۵
۳۰°	۹۰	۸۷	۱۰۰	۸۶	۴۵۰	۱۴۸	۸۶	۹۰
۳۰°	۱۳۵	۸۷	۱۰۰	۷۰	۳۶۱	۱۱۹	۸۰	۱۳۵

با توجه به جدول فوق می‌توان به این نتیجه رسید که بهترین قطر تزریق ۴۵ میکرومتر می‌باشد زیرا هم درصد کاهش  $\text{NO}_X$  بیشتر است و هم غلظت HNCO در خروجی کمتر است.



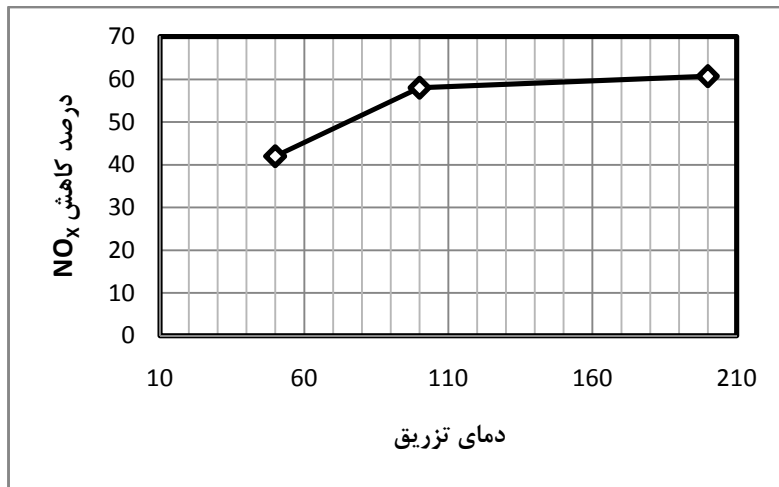
## ۷-۵ بررسی اثر دمای تزریق

جهت بررسی اثر دمای تزریق بر کاهش  $\text{NO}_X$ ، شبیه‌سازی را برای سه دمای متفاوت انجام شده است.. افزایش دمای تزریق باعث می‌شود، کاهش دما در اطراف نازل که قبل نشان داده شده است، کمتر شود و همچنین با توجه به اینکه محدوده دمایی کاهش  $\text{NO}_X$  از ۱۱۴۳.۱۵ درجه کلوین تا ۱۴۲۳.۱۵ درجه کلوین می‌باشد، با افزایش دمای تزریق این محدوده وسیعتر می‌شود. شکل ۱۲-۵ کانتور دمایی محدوده کاهش  $\text{NO}_X$  را در سه دمای تزریق متفاوت نشان می‌دهد.



شکل ۱۲-۵: کانتور محدوده دمایی کاهش  $\text{NO}_X$  (۱۱۴۳.۱۵ - ۱۴۲۳.۱۵ درجه کلوین)

همانطور که در شکل فوق مشاهده می‌شود افزایش دمای تزریق باعث افزایش دمای محدوده موثر در کاهش  $\text{NO}_X$  می‌باشد. بنابراین با افزایش دمای تزریق با توجه به اینکه دمای بیشینه کمتر از حد بالای محدوده دمایی کاهش  $\text{NO}_X$  (۱۴۲۳.۱۵) می‌باشد، می‌توان شاهد کاهش بیشتر  $\text{NO}_X$  در خروجی بود.

شکل ۱۳-۵: نمودار درصد کاهش NO<sub>x</sub> در دمای تزریق متفاوت

با افزایش دمای تزریق، متوسط دمای محفظه احتراق افزایش پیدا می‌کند. با توجه به اینکه سرعت واکنش آمونیاک با NO شدیداً به دما وابسته است (به جدول ۱-۳ مراجعه شود). در نتیجه NO<sub>x</sub> بیشتری کاهش پیدا می‌کند. نمودار شکل ۱۳-۵ این حقیقت را نشان می‌دهد.

افزایش دما همچنین منجر به افزایش سرعت تجزیه ایزوسیانوریک می‌شود. بنابراین شاهد غلظت کمتر ایزوسیانوریک اسید در خروجی خواهیم بود.



شکل ۱۴-۵: غلظت ایزوسیانوریک اسید در دمای تزریق متفاوت

## فصل پنجم: بررسی نتایج



دانشگاه صنعتی شهرورد

جدول ۵-۵ خلاصه‌ای از نتایج شبیه‌سازی در دماهای مختلف تزریق را نشان می‌دهد.

جدول ۵-۵: جدول نتایج برای دمای متفاوت تزریق

دماهای خروجی	HNCO (ppm)	NH <sub>3</sub> (ppm)	NO (ppm)	دماهای تزریق (°C)	زاویه مخروطی: تزریق: ۳۰°	دماهای متفاوت
۱۱۵۴	۳۹۲	۱۲۵	۸۷	۵۰	۸۷ m/s:	سرعت تزریق
۱۱۵۸	۲۷۴	۱۱۳	۶۳	۱۰۰	۴۵ μm	قطر ذرات:
۱۱۶۳	۲۳۸	۱۳۳	۵۹	۲۰۰		

همانطور مشاهده می‌شود با افزایش دما از ۵۰ تا ۲۰۰ درجه سانتی‌گراد راندمان زباله‌سوز ۲۰ درصد افزایش پیدا می‌کند.

# **فصل ششم: نتیجه گیری و**

## **پیشنهادات**



## فصل ششم: نتیجه‌گیری و پیشنهادات

### ۱-۶ خلاصه نتایج

نتایج حاصله نشان می‌دهد که زاویه نازل تاثیر چندانی بر کاهش اکسیدهای ازت خروجی ندارد و با افزایش زاویه نازل از ۱۵ درجه تا ۴۵ درجه  $\text{NO}_X$  کاهش یافته بین ۵۵ تا ۵۰ درصد می‌باشد.

با توجه به آنچه در فصل قبل اشاره شد، با افزایش سرعت از ۵۰ تا ۱۰۰ متر بر ثانیه در شرایط یکسان، مقدار  $\text{NO}_X$  کاهش یافته از ۴۲ درصد تا ۶۴ درصد افزایش می‌یابد ولی مقدار  $\text{HNCO}$  و  $\text{N}_2\text{O}$  در خروجی افزایش می‌یابد.

با افزایش دمای تزریق از ۵۰ درجه تا ۲۰۰ درجه سانتی‌گراد شاهد افزایش درصد کاهش  $\text{NO}_X$  در حدود ۲۰ درصد در خروجی زباله‌سوز می‌باشیم.

همانطور که در فصل قبل اشاره کردیم افزایش قطر ذرات بر عوامل زیادی همچون سرعت تبخیر، زمان اقامت، دمای واکنش و میزان نفوذ تاثیر گذار می‌باشد. بنابراین با توجه به شرایط امکان دارد باعث کاهش یا افزایش  $\text{NO}_X$  خروجی شود.

به طور کلی می‌توان به این نتیجه رسید که بهینه‌ترین شرایط تزریق زاویه تزریق ۱۵ درجه، سرعت ۸۷ متر بر ثانیه و دمای ۲۰۰ درجه سانتی‌گراد با قطر ذرات ۴۵ میکرومتر می‌باشد.

### ۲-۶ پیشنهادات عملی

آنچه از نتایج بدست آمده مشخص است افزایش سرعت تزریق می‌تواند باعث کاهش  $\text{NO}_X$  در خروجی زباله‌سوز شود اما با استناد قرارداد که افزایش بیش از حد سرعت امکان پذیر نمی‌باشد و حتی اگر بتوان به سرعت‌های بالا دست پیدا کرد، نیاز به هزینه بالایی می‌باشد و از طرفی منجر به افزایش  $\text{HNCO}$  می‌شود.

افزایش دمای تزریق نیز باعث کاهش  $\text{NO}_X$  می‌شود. با افزایش دمای تزریق از ۵۰ تا ۲۰۰ درجه سانتی‌گراد میزان  $\text{NO}_X$  کاهش یافته ۲۰ درصد بیشتر می‌شود. لازمه افزایش دمای تزریق، افزایش انرژی مصرفی می-



## فصل ششم: نتیجه‌گیری و پیشنهادات

باشد. بنابراین می‌توان جهت افزایش دما بدون افزایش انرژی که خود باعث افزایش هزینه می‌شود، از حرارت گاز خروجی از دودکش جهت بالا بردن دمای تزریق بهره برد.

### ۳-۶ پیشنهاد برای مطالعات آینده

می‌توان برای ادامه تحقیق در زمینه زباله‌سوزها و فرآیند SNCR موضوعات زیر را بررسی نمود:

۱. بررسی میزان کاهش انرژی و هزینه، در صورت افزایش دمای تزریق با استفاده از حرارت گاز خروجی از دودکش
۲. شبیه سازی احتراق زباله‌های جامد و بررسی اثر سرعت نرده آتشین بر راندمان زباله‌سوز
۳. بررسی اثر رطوبت زباله‌ها بر راندمان زباله‌سوزها
۴. بررسی اثر موقعیت مکانی نازل‌ها

# **منابع و مواخذ**

افشین تنگدست، اکبر باغ وند، نادره پور امینی، سعید گیوه چی، "بررسی خطرات و سهم آلودگی هوا" [1] "ناشی از زباله سوز جهت سوزاندن پسماندهای مختلف و روش های کنترل آلودگی ناشی از زباله سوز ها" اسفند ۱۳۸۴، همایش آلودگی هوا و اثرات آن بر سلامت.

[2] همایش ملی سوخت، انرژی و محیط زیست "فردوسی علی،" مروری بر انواع زباله سوزهای پرشکی

[3] Smith, "Experiments on the Selective Non-Catalytic Reduction of Nitric Oxide," no. Ph.D. Dissertation, Texas A&M University, College Station, 1995.

[4] F., Glarborg, P., Johnsson, J. J. and Kim, D. Kasuya, "The Thermal DeNOx Process: Influence of Partial Pressures and Temperature," no. Chemical Engineering Science, pp. 1455–1466., 1995.

[5] R.A. Perry, "System for NO Reduction Using Sublimation of Cyanuric Acid," 1989.

[6] Y., Deguchi, S., Takei, M., Yoshino, M., and Matsuda, H. Itaya, "NO Reduction Behavior by Urea Solution Injection in the Tubular Reactor," 1997.

[7] R. K., Lyon, "Method for the Reduction of the Concentration of NO in Combustion Effluents Using Ammonia," 1975.

[8] S., Hanson, R. K., Saliman, "A Kinetic Study of NO Removal from Combustion Gases by Injection of NH<sub>3</sub>-Containing Compounds," 1980.

[9] J. A., and Bowman, C. T., Miller, "Mechanism and Modeling of Nitrogen Chemistry in Combustion," 1989.

[10] J. A., Narney, II, J. K., Cariappa, C., and Laster, W. R., Caton, "The Selective Non-Catalytic Reduction of Nitric Oxide Using Ammonia at up to 15% Oxygen," 1995.

[11] K., Glarborg, P., Dam-Johansen, K., Kjaergaard, "Pressure Effects on the Thermal DeNOx Process," 1996.

- [12] P., Dam-Johansen, K., and Miller, J. A., Glarborg, "The Reaction of Ammonia with Nitrogen Dioxide in a Flow Reactor: Implications for the NH<sub>2</sub> + NO<sub>2</sub> Reaction," 1995.
- [13] R., Éverton, F. Dorota, Z., Morbidelli, A., and Carra, S., Rota, "Analysis of the Thermal DeNOx Process at High Partial Pressure of Reactants," 2000.
- [14] توحید نودل, "تکنولوژیهای کاهش انتشار آلاینده های هوا", اسفند ۱۳۸۷ [15] Bernd von der Heide, "SNCR Process-Best Available Technology for NO<sub>x</sub> Reduction in Waste To Energy Plants".
- [16] M.T., Irfan, N. and Gibbs, B.M. Javed, "Control of combustion-generated nitrogen oxides by selective non-catalytic reduction", *Journal of Environmental Management*, 2007.
- [17] V. J., Bian, J., and Tiggelen, P. J. Dooren, "Comparison of Experimental and Calculated Structures of an Ammonia-Nitric Oxide Flame: Importance of the NH<sub>2</sub> + NO Reaction," 1994.
- [18] M., Rjel, H., Kristensen, P., Glarborg, P. and Dam-Johansen, K. Alzueta, "Laboratory Study of the CO/NH<sub>3</sub>/NO/O<sub>2</sub> System: Implications for Hybrid Reburn/ SNCR Strategies," *Energy & Fuels*, 1997.
- [19] J. W., and Sowa, W. A. Dill, "Nitric Oxide Reduction Using Ammonia Injection: Numerical Modeling Comparisons," *Meeting of the Western States Section of the Combustion Institute*, 1992.
- [20] T. S., and Caton, J. A. Smith, "Reductions and Conversions of Nitrogen Compounds Using Ammonia in a Selective Non-Catalytic Process for Exhaust Streams at Pressures up to 515 kPa," *Proceedings of the 1995 Central States Section/ Combustion Inst.*
- [21] P. M., Colson, J., Higgins, S., Dietz, E., and Thielen, D. Schaber, "Study of the Urea Thermal Decomposition (pyrolysis) Reaction and Importance to Cyanuric Acid Production," Jan. 10, 2003.

- [22] H., and DaCosta, H. Fang, "Thermolysis Characterization of Urea–SCR," , San Diego, 2002.
- [23] J. A., and Siebers, D. L. Caton, "Comparison of Nitric Oxide Removal by Cyanuric Acid and by Ammonia," *Combustion Science and Technology*, 1989.
- [24] M., Nielsen, C., Hulgaard, T., and Dam-Johansen, K. Jodal, "Pilot-Scale Experiments with Ammonia and Urea as Reductants in Selective Non-Catalytic Reduction of Nitric Oxide," *The Twenty-Third Symposium (International) on Combustion*, 1990.
- [25] M. U., Bilbao, R., Millera, A., Oliva, M., and Ibanez, J. C. Alzueta, "Interactions Between Nitric Oxide and Urea Under Flow Reactor Conditions," *Energy and Fuels*, 1998.
- [26] S., and Caton, J. A. Srivatsa, "Selective Non-Catalytic Reduction of Nitric Oxides by Urea: Effects of Oxygen and Carbon Monoxide," *Combustion Institute Spring Technical Meeting*, 1998.
- [27] D. P., Muzio, L. J., and Montgomery, T. A. Teixeira, "Effect of Trace Combustion Species on SNCR Performance," , Honolulu, 1991.
- [28] S. L., Ho, L., Maly, P. M., Payne R. and Seeker, W. R. Chen, "Methods for controlling N<sub>2</sub>O emissions and for the reduction of NO<sub>x</sub> emissions in combustion systems while controlling N<sub>2</sub>O emissions," , 1993.
- [29] J., Heap, M. P., Pershing D. W., and Smith, P. J. Brouwer, "A Model for Prediction of Selective Non Catalytic Reduction of Nitrogen Oxides by Ammonia, Urea, and Cyanuric Acid with Mixing Limitations in the Presence of CO," 2003.
- [30] R, Antos, D., Éverton, F., and Morbidelli, M. Rota, "Experimental and Modeling Analysis of the NO<sub>x</sub>OUT Process," *Chemical Engineering Science*, 2002.
- [31] P., Kristensen, P. G., Jensen, S. H., and Dam-Johansen, K Glarborg, "A Flow Reactor Study of HNCO Oxidation Chemistry," *Combustion and Flame*,

1994.

- [32] P.E.C., Lundstrm, T.S., Marjavaara, B. D. and Toyra, S. Burstrom, "CFD modeling of Selective Non---Catalytic Reduction of NOx in grate-kiln plants," *Progress in Computational Fluid Dynamics*, 2010.
- [33] P. E. C., Antos, D., Lundström, T. S. and Marjavaara, B. D. Burstrom, "A VALIDATED MODEL FOR PREDICTION OF SELECTIVE NON-CATALYTIC REDUCTION OF NITRIC OXIDE BY CYANURIC ACID," 2012.
- [34] P. E. C., Antos, D., Lundström, T. S. and Marjavaara, B. D. Burstrom, "A CFD-based evaluation of Selective Non-Catalytic Reduction of Nitric Oxide in iron ore grate-kiln plants," 2012.
- [35] مشهد: دانشگاه فردوسی ، ۱۳۸۵ . محاسبات عددی کامپیوتربی انتقال حرارت و حرکت سیال، مقیمان
- [36] Tae-Ho Kanga, Young-Il Lima,Won-Hyeon Eom,Seong-Joon Kim, Kyung-Seun Yoo Thanh D.B. Nguyen, "Application of urea-based SNCR to a municipal incinerator:On-site test and CFD simulation," *Chemical Engineering Journal*, pp. 36-43, 18- March 2009.
- [37] Ulrich Meingasta, Peter Wassermann, Olaf Deutschmann Felix Birkhold, "Modeling and simulation of the injection of urea-water-solution for automotive SCR DeNOx-systems," 30 June 2006.
- [38] Pradeep K. Jha and Clinton P.T. Groth, *Tabulated chemistry approaches for laminar flames: Evaluation of flame-prolongation of ILDM and flamelet methods.* 4925 Dufferin Street, Toronto, Ontario,Canada: University of Toronto Institute for Aerospace Studies, 6 July 2011.
- [39] b, Anders Brink, Mikko Hupa Ravi Inder Singh a, *CFD modeling to study fluidized bed combustion and gasification.* India-Finland: Department of Mechanical Engineering, Guru Nanak Dev Engineering College, Gill Road,(India),Process Chemistry Center, Department of Chemical Engineering, Åbo Academy University(Finland), 2013.

[40] S.K. and Chitre, S. Aggawal, '*Computations of turbulent evaporating spray*.' Journal PROPULSION, Vol. 7, NO.2, 1991.

[41] مشهد: نشریه تولید و نشر آلاندنه ها در کوره های تونلی سوخت مایع: آزمایش و تئوری، مقیمان [۱۳۸۰] دانشکده مهندسی، دانشگاه فردوسی.

[42] G.G. De Soete, "Overall reaction rates of NO and formation from fuel nitrogen," 1975.

[43] D.B. Spalding, "'Mixing and Chemical Reaction in steady confined Turbulent Flames," 1971.

[44] B.F., Hiertager, B.H., Olsen, J.G. and Bhaduri, D. Magnusson, "'On the mathematical modeling of turbulent combustion with special emphasis on soot formation and combustion,'" 1978.

[45] مشهد: چاپ اول، انتشارات دانشگاه فردوسی مشهد، ۱۳۸۱ / حترق، مقیمان

[46] Dominik Christ Bjørn Lilleberg, "A comprehensive implementation of the Eddy Dissipation Concept for turbulent combustion simulation," , Norwegian university of science and technology.

## پیوست الف

```
#include "udf.h"

DEFINE_PROFILE(inlet_temprature, thread, position)
{
    real x[ND_ND];
    real z;
    face_t f;
    begin_f_loop(f, thread)
    {
        F_CENTROID(x,f,thread);
        z = x[2];
        if (z>=-1.008&&z<=0)

            F_PROFILE(f, thread, position) = 830+29.8*z;
        else
            F_PROFILE(f, thread, position) = 800-15.42*z;
        end_f_loop(f, thread)
    }
}
```

## Abstract

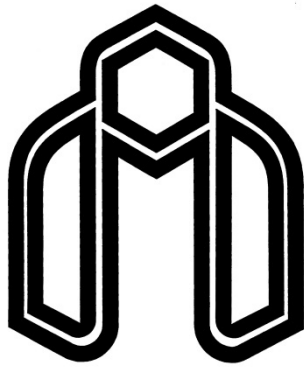
Reduction of nitrogen oxides can be by injection ammonia and using catalytic at the SCR method or just injection Ammonia or Urea at the SNCR method. Due to higher cost SCR method compared SCR method and transporting and storing Ammonia is more difficult than Urea, SNCR with urea injection method is more practical. Due to above reasons, to evaluate this method(SNCR With urea injection) and ways to increase its efficiency, which is defined as ratio of percent of  $\text{NO}_x$  reduction to initial  $\text{NO}_x$ , discussed. In this thesis, Nitrogen oxides control from output of an incinerator by one methods of  $\text{NO}_x$  reduction which called SNCR processed with using urea injection by simulation in the Ansys Fluent have been done.

This thesis has been validated with the result of Mr. Young-II Lim which published 2009. Mr. Young compared error rates obtained from simulation of uniform and non-uniform diameter of injected droplets, with other experimental results.

In this paper a three-dimensional model of secondary chamber combustion in an incinerator has been studied. In all previous studies, used combustion theory is Arrhenius model. This model is not able to investigate the effects of turbulence on the reaction rate. Combustion model used in this study is EDC (Eddy Dissipation Concept). This model is able to predict the effects of turbulence and reactions kinetic on the rate of reaction.

The aim of this study was to investigate the effect of urea injection parameters such as temperature, droplets diameter, injected velocity and cone angle on nitrogen oxide emission at the normalized stoichiometric ratio (NSR) = 1.8. result of evaluation of the parameters mentioned, Shows that changes in cone angle nozzle has no significant effect on the reduction of  $\text{NO}_x$ . Increasing the inlet temperature injection is increased to reduce  $\text{NO}_x$ . With increasing velocity of urea injection,  $\text{NO}_x$  reduction increases but because reducing residence time concentration of isocyanic acid and  $\text{N}_2\text{O}$  increased. Increasing particle diameter, depending on the condition of the combustion chamber, it is possible to reduce or increase the  $\text{NO}_x$  emission. Particle diameter, the particle penetration, reaction temperature and reaction time is affected.

**Keywords:** Incinerator, pollutant, Urea, Isocyanic acid, Residence time, Combustion.



**Shahrood University of Technology  
Faculty of Mechanical Engineering**

# **Study of efficiency increase in incinerators' burners**

Thesis  
Submitted in Partial Fulfillment of the Requirements for the Degree of Master of  
Science (M.Sc)

**Reza Edalatkhanī**

Supervisors  
**Dr. M. Farzaneh gord**  
**Dr. A. Jabbari moghadam**

**Date: September 2013**